



Institutionen för vattenbyggnad
Chalmers Tekniska Högskola

Department of Hydraulics
Chalmers University of Technology

Datorprogram som hjälpmittel

vid hamnprojektering

av

Lars Nylander

Examensarbete

Nr. 1992:3

Göteborg 1992

Sammanfattning

Årligen förmedlas genom TV och tidningar bilder av förödelse åstadkommen av vind och vågor. Man får då en bild av den stora mängd energi som transporteras av vågor. Även under normala förhållanden är det av stor vikt att kontrollera och förebygga verkningarna av vågornas rörelse.

Vid exempelvis projektering av hamnanläggningar bör man beräkna vågrörelserna för att kunna göra en optimal utformning av anläggningen både ekonomiskt och tekniskt.

Beräkningar av vågrörelser är tidskrävande, kan dessa beräkningar utföras med datorstöd underlättas projekteringen avsevärt.

Föreliggande rapport är en utvärdering av två av de datorprogram för vågberäkning som finns tillgängliga på Institutionen för Vattenbyggnad vid CTH.

Rapporten innehåller ett avsnitt där teorierna för vågberäkningar behandlas samt ett avsnitt där de aktuella programmen beskrivs inkluderande även en manual för dessa. Slutligen redovisas jämförelser mellan de numeriska resultaten från programmen och analytiska resultat framtagna från Shore Protection Manual.

Utvärderingen ger vid handen att datorresultaten väl stämmer överens med motsvarande analytiska resultat.

En nackdel med nuvarande version av programmen är den bristfälliga komunikationen med in- och utdatafiler.

Förord

Föreliggande examensarbete är en uppföljning av tidigare utförda examensarbete nr 1984:1 och 1986:1 vilka behandlar datorstöd vid beräkningar av vattenvågor.

Examensarbetet utfördes på initiativ från institutionen för vattenbyggnad vid Chalmers tekniska högskola, där man önskade en jämförelse mellan de datorprogram som finns tillgängliga på institutionen.

Ett stort tack riktas till min handledare Mickey Johansson.

MALMÖ 920601
Lars Nylander

Innehållsförteckning.

Sammanfattning

Förord

1.0 Inledning.	1
2.1 Verklighet-datormodell.	2
2.2 Vågornas uppkomst och rörelse.	2
2.3 Olika teorier.	3
2.4 Airys teori- Linjär teori.	4
2.5 Teori av högre ordningen.	4
2.6 Beskrivning av vågor.	6
2.7 Energi i vågor.	8
3.0 Vågfenomen.	11
3.1 Diffraktion.	12
3.2 Diffraktionsteori.	14
3.3 Lösning av diffraktionsproblem.	18
3.4 Lösning av diffraktionsproblem med hjälp av diffraktionsdiagram.	18
3.5 Reflektion.	19
3.6 Refraktion.	21
3.7 Refraktionens inverkan på våghöjden.	22
3.8 Refraktion vid olika djupförhållanden.	23
3.9 Refraktion på grund av andra orsaker.	23
4.1 Allmänt om programmen.	26
4.2 Redsea.	26
4.3 Refrac.	26
4.4 Manual och beskrivning av Redsea.	27
4.5 Hantering av indata.	27
4.6 Beräkningar.	29
4.7 Resultatpresentation.	30
4.8 Refrac.	31
4.9 Indata i Refrac.	31
4.10 Beskrivning av indatafilen till Refrac.	33
4.11 Beräkningar i Refrac.	34
4.12 Resultatpresentation i Refrac.	34
5.1 Datorprogram som hjälpmittel vid diffraktionsberäkningar.	35
5.2 Framtagande av K_d ur diagram.	35
5.3 Framtagande av K_d ur tabell.	36
5.4 Jämförelse mellan tabell och diagram.	37
5.5 Utvärdering.	38
5.6 Testexempel.	38
5.7 Utvärdering av resultat från datorkörningar.	39
5.8 Resultatanalys.	41

6.1 Datorprogram som hjälpmittel vid refraktionsberäkningar.	42
6.2 Refraktionskoefficienten K_r .	42
6.3 Lösning av refraktionsproblem.	44
6.4 Utvärdering av datorlösning vid refraktionsproblem.	48
Referenser.	52

Bilaga 1 Diffraktionsdiagram enligt Shore protection manual.

Bilaga 2 Tabell C1.

Bilaga 3 Tabell för lösning av diffraction enligt Silvester.

Bilaga 4 Resultatanalys vid diffraktionsberäkningar.

1.0 Inledning.

Årligen förmedlas genom TV och tidningar bilder av förödelse åstadkommen av vind och vågor, man får då en bild av den otroliga mängd energi som vågorna innehåller.

Även under normala förhållande är det av stor vikt att kontrollera och förebygga verkningarna av vågrörelser.

Vid projektering av hamnanläggningar beräknar man vågrörelser för att kunna göra en optimal utformning av anläggningen, både med hänsyn till direkt inverkan av vågorna som den indirekta i form av erosion.

De undersökningar som erfordras kräver ett omfattande arbete både beräkningsmässigt samt arbete med andra hjälpmittel som tabeller och diagram.

Datorstöd vid projekteringen är då ett mycket tidsbesparande hjälpmittel.

2.1 Verklighet-datormodell.

För att kunna använda datorer som hjälpmedel vid vågberäkningar krävs att vågen kan beskrivas med hjälp av någon matematisk modell. Oftast är dock vågornas utseende komplext och om man undersöker vågmönstret vid olika tillfällen kommer man att finna att samma mönster ej återkommer. Om man däremot ser till vågornas medelvärde beträffande våghöjd, hastighet, period, och dess statistiska fördelning kommer detta att återkomma vid flera tillfällen. I detta arbete förutsättes att de komplexa sjötilståndet kan idealiseras som så kallade regelbundna vågor vilka kan beskrivas av våghöjd, hastighet och period. Regelbundna vågor används i alla datorsimuleringar i föreliggande rapport.

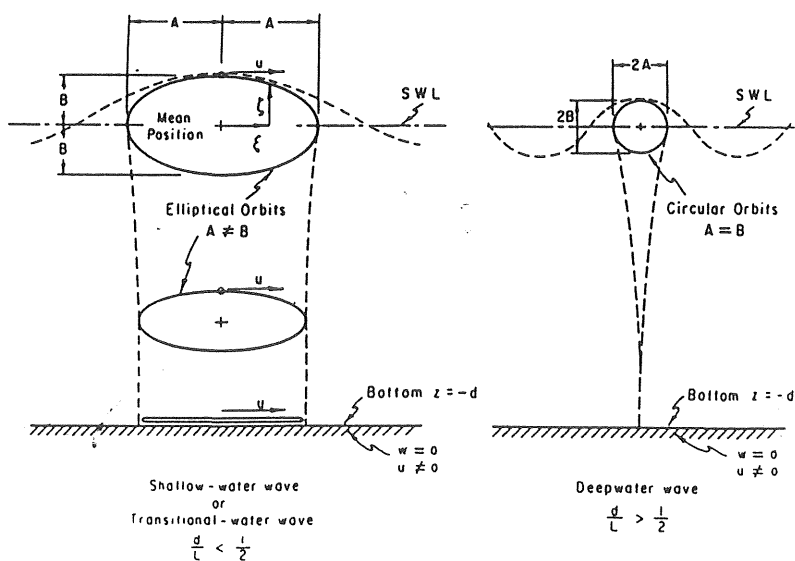
2.2 Vågornas uppkommst och rörelse.

Vågor kan uppkomma på flera olika sätt, till exempel genom vindgenerering, jordbävningar eller tidvattenrörelser.

Genom att studera vattenpartiklarnas rörelse kan man dela in vågor i transporterande eller svängande vågor.

Transporterande vågor förflyttar vattenpartiklarna i vågens utbredningsriktning medan däremot ingen sådan transport sker i svängande vågor.

Svängande vågor kan i sin tur delas in i stående och fortskridande vågor. Vid stående vågor som till exempel uppträder vid fullständig reflektion mot en plan vägg, rör sig bara vågorna upp och ner medan de i en fortskridande våg förflyttar sig i utbredningsriktningen. I gruppen fortskridande vågor kan man finna vindgenererade vågor, vilka är av stort intresse då dessa är en vanlig typ av våg. I en fortskridande våg rör sig partiklarna i cirkelformade eller elliptiska banor utan att förflytta sig i utbredningsriktningen, se figur 1.



Figur 1 Partikelbanor vid olika vattendjup för fortskridande vågor.

Detta förhållande erhålls enligt linjär teori, i verkligheten sker dock en viss transport i vågens rörelseriktning vilket man tar hänsyn till vid teorier av högre ordning.

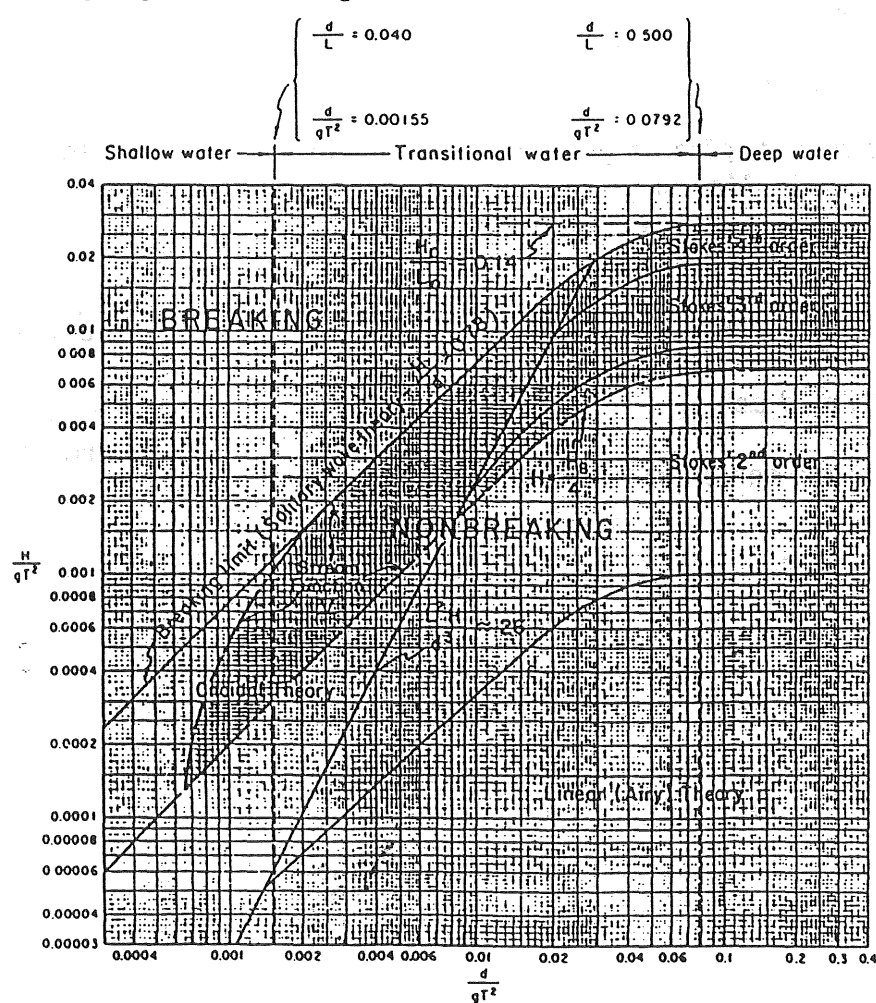
2.3 Olika teorier.

Eftersom varje verkligt vågklimat är unikt, måste man förenkla verkligheten för att kunna beräkna vågornas uppträdande. De antagande man då kan göra är följande

- Vågen är sinusformad och svänger runt medelvattenytan.
- Vågen har en lång vågkamm och utbreder sig längst en rak linje.
- Vattendjupet är konstant eller ändras obetydligt.
- Friktionen mellan vattenpartiklarna försummas.

Då dessa förenklingar är gjorda kan man med oftast acceptabel noggrannhet beskriva vågor med hjälp av serier. I de flesta fall räcker det med att ta hänsyn till första termen i serien det vill säga så kallad linjär teori.

Flera olika teorier har under årens lopp utarbetats för att kunna beskriva en våg och dess rörelse. På grund av vågmönstrets komplexa natur äger varje teori giltighet under begränsade förhållanden.



Figur 2 Giltigheten hos olika teorier, efter Le Mehaute, 1969.

Vågor och vågmönster är alltså svåra att beskriva på grund av att de egentligen är olinjära, tredimensionella samt att randvillkoren varierar. Under 1800-talet utarbetades två teorier dels av Airy och dels av Stoke. Trots sin ålder används dessa teorier ofta än i dag, nyare teorier har utvecklats främst användbara för grunt vatten.

2.4 Airys teori - linjär teori.

Airys teori är den mest elementära teorin, den benämns även liten amplitud teori eller linjär teori. Airys teori är viktig inte bara för att den är enkel utan även för att den stämmer väl överens på många vågförhållanden. Matematiskt är Airys teori den första termen i en serie som beskriver en våg, se Stokes teori nedan.

Under förutsättning att vågen är sinusformad med liten vågamplitud, antar man att det existerar en funktion $\phi(x,z,t)$ denna funktion benämns hastighetspotential, funktionen definierar de vertikala och horisontella partikelhastigheterna. Genom att använda hastighetspotentialen i kontinuitetsekvationen för en inkompressibel vätska erhålls Laplaces differentialekvation. Ur denna kan ϕ lösas med utnyttjande av erforderliga randvillkor vid botten och vattenytan. De så kallade liten amplitud formlerna kan därefter härledas.

2.5 Teorier av högre ordning.

Det är inte alltid korrekt att göra de generella antaganden om sinusform som görs vid den linjära teorin. Man är då tvungen att använda teorier som ger en bättre överensstämmelse mellan teori och verklighet.

En serieansats för vågprofilen kan tecknas som

$$\eta = a \cos(\theta) + a^2 B_2(L, d) \cos(2\theta) + \dots + a^n B_n(L, d) \cos(n\theta)$$

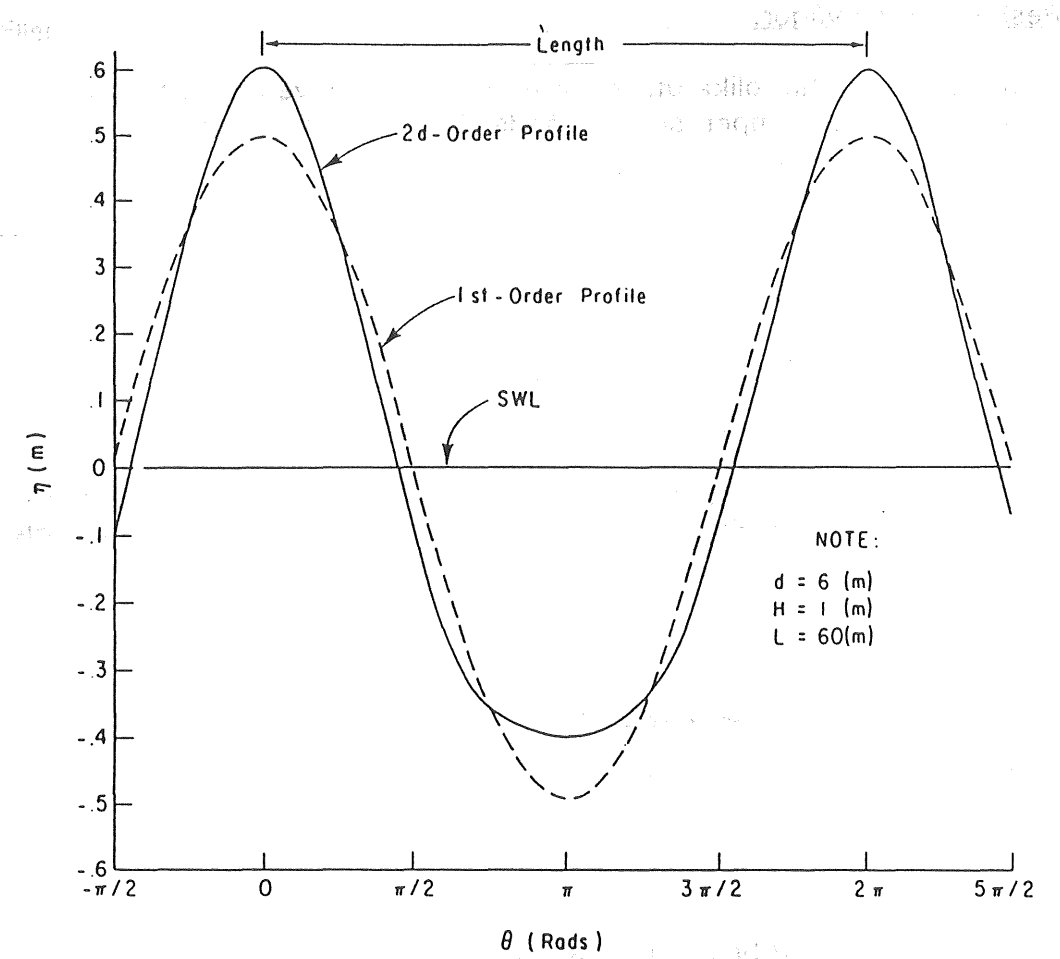
Formel 2.1

där B är en funktion av d och L .

$$a = \frac{H}{2} \quad \text{för första och andra ordningens teorier medan}$$

$$a < \frac{H}{2} \quad \text{för teorier av högre ordningen}$$

Den som utvecklade detta till sin nuvarande form var Stoke. Stokes teori av första ordningen överensstämmer med Airys teori.



Figur 3 Vågprofilen vid linjär respektive Stokes teori av andra ordningen.

I figur 3 visas skillnaden i vågprofil mellan linjär teori och Stokes teori av andra ordningen.

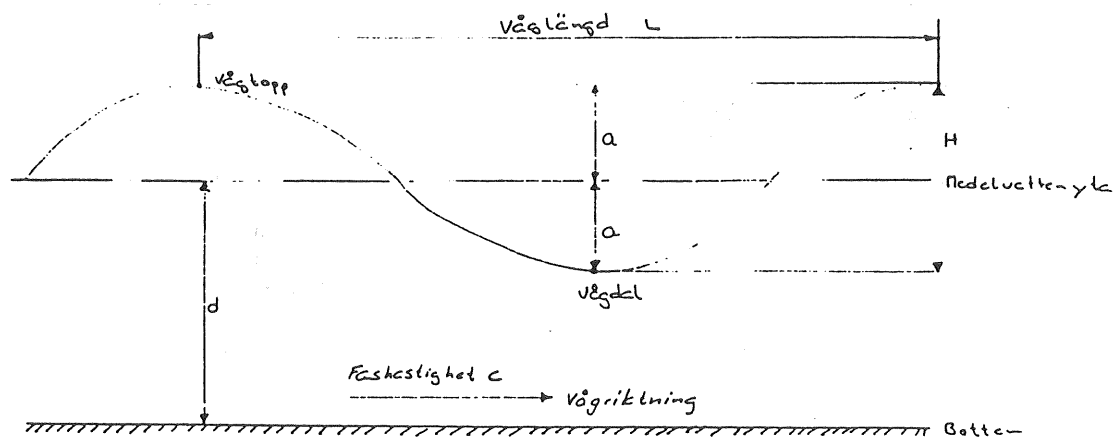
När vattendjupet underskrider ungefär $d/L = 0,1$ är inte Stokes teori giltig utan då stämmer Cnodial vågteori bättre. Enligt denna teori beskrivs vågprofilen bäst med hjälp av Jacobis elliptiska cosinusfunktion betecknad cn.

Ivagaki har utvecklat och förenklat den cnodala teorin, förenklingen kallas hyperboliskeori.

Ett specialfall av den cnodala teorin får man då man har en vågform som helt ligger ovanför lugnvattenytan samt utbreder sig med konstant hastighet, den teori som då används benämns Solitär vågteori.

2.6 Beskrivning av vågor

Även om vågformen har olika utseende eller om man använder sig av olika teorier är några av begreppen som används för att beskriva en våg gemensamma se figur 4.



Figur 4 Beteckningar vid beskrivning av vågor.

- Den hastighet med vilken en våg utbreder sig kallas fashastighet C.
- Den tid det tar för två succesiva vågtoppar att passera en given punkt kallas period. Tiden för en period betecknas med T.
- Avståndet mellan motsvarande punkter på två succesiva vågor kallas våglängd L.
- Avståndet mellan en vågtopp och föregående vågdal kallas våghöjd H.

$$\text{Fashastigheten} = \text{Våglängden} / \text{Perioden} \text{ alltså } C = L/T$$

Man kan även teckna C som en funktion av våglängden och vattendjupet, för linjär vågteori gäller formel 2.2

$$C = \sqrt{\frac{gL}{2\pi}} \tanh \frac{2\pi d}{L}$$

Formel 2.2

som också kan skrivas som

$$C = \frac{gT}{2\pi} \tanh \frac{2\pi d}{L}$$

Formel 2.3

Eller som formel 2.4

$$L = \frac{gT^2}{2\pi} \tanh \frac{2\pi d}{L}$$

Formel 2.4

Uttrycken

$$k = \frac{2\pi}{L}$$

$$\omega = \frac{2\pi}{T}$$

benämns vågtal respektive vinkelfrekvens.

Lösningen av formel 2.4 ger upphov till problem då den okända variabeln L finns på båda sidor i ekvationen, en approximativ lösning till ekvationen är

$$L \approx \frac{gT^2}{2\pi} \sqrt{\tanh \frac{4\pi^2 d}{gT^2}}$$

Formel 2.5

Denna lösning ger upphov till maximalt 5 % fel, felet har sitt maximum vid

$$\frac{2\pi d}{L} \approx 1$$

Ett alternativ istället för att beräkna L är att använda sig av Tabell C1 i bilaga 2.

Om man närmare studerar uttrycket

$$\tanh \frac{2\pi d}{L}$$

finner man att för

$$\frac{d}{L} > 0,5 \quad \text{är} \quad \tanh \frac{2\pi d}{L} \approx 1$$

$$\frac{d}{L} < 0,04 \quad \text{är} \quad \tanh \frac{2\pi d}{L} \approx \frac{2\pi d}{L}$$

Man kan med avseende på detta göra följande indelning

Djupt vatten $\frac{d}{L} > 0,5$

Övergångsområde $0,04 < \frac{d}{L} < 0,5$

Grunt vatten $\frac{d}{L} < 0,04$

Vid djupt vatten kommer således vattendjupet inte att ha någon inverkan på vågens hastighet eller dess våglängd

2.7 Energi i vågor.

Energin i en våg kan delas upp i kinetisk E_k och potentiell energi E_p . Den kinetiska energin är ett resultat av vattenpartiklarnas rörelse som uppträder i en våg. Den potentiella energin fås till följd av vattenytans läge i förhållande till lugnvattenytan.

Under förutsättning att E_p relateras till lugnvattenytan och att alla vågor fortpplanter sig i samma riktning gäller enligt linjär vågteori att den potentiella och kinetiska energin är lika.

$$E_k = E_p$$

Integration av energin över en våglängd ger att

$$E_k = \frac{\rho g H^2 L}{16} \quad \text{Formel 2.6}$$

$$E_p = \frac{\rho g H^2 L}{16} \quad \text{Formel 2.7}$$

den totala energin blir då

$$E = E_k + E_p = 2 \times \frac{\rho g H^2 L}{16} \quad \text{Formel 2.8}$$

Energins medelvärde per ytenhet även benämnd specifik energi eller energidensitet blir då

$$\bar{E} = \frac{E}{L} = \frac{\rho g H^2}{8} \quad \text{Formel 2.9}$$

Energin som transporteras i vågriktningen erhålls genom integration av produkten *tryck · hastighet · yta* över hela vattendjupet i ett plan vinkelrätt mot vågriktningen. Medelvärdet av energitransporten under en vågperiod (medleffekten) P blir då

$$P = \bar{E}nC = \bar{E}Cg$$

Formel 2.10

där

$$n = \frac{1}{2} \left[1 + \frac{\frac{4\pi d}{L}}{\sinh\left(\frac{4\pi d}{L}\right)} \right]$$

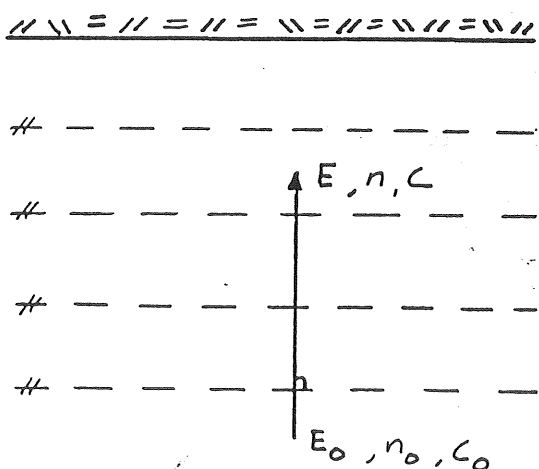
Formel 2.11

och

$$nC = C_g$$

Formel 2.12

C_g är den hastighet med vilken fronten hos en grupp vågor forplantar sig och kallas därför grupp hastighet. Ekvationen 2.10 visar att energin inte transportereras med fashastigheten C utan med grupp hastigheten. Ekvationen visar också att på djupt vatten transportereras energin med halva fashastigheten. Om man tänker sig en våg som rullar in över ett område med sluttande botten vars nivålinjer är parallella och vinkelräta mot vågens utbredningsriktning samt att man försummar vattnets inre friktion och bottenfriktionen blir den av vågen forplantade effekten oförändrad under vågens rörelse från djupt till grunt vatten.



Figur 5 Beteckningar vilka används i matematiska beskrivningar av vågornas energiinnehåll.

Formel 2.13

$$\bar{E}_0 C_{g0} = \bar{E} C_g$$

$$\bar{E}_0 C_{g0} n_0 = \bar{E} C_g n$$

Formel 2.14

I avsnitt 2.7 beskrivs sambanden mellan hastighet, vattendjup och våglängd. Med hjälp av formel 2.3 och 2.4 kan man ställa upp följande samband.

$$\frac{L}{L_0} = \tanh \frac{2\pi d}{L}$$

Formel 2.15

$$\frac{C}{C_0} = \tanh \frac{2\pi d}{L}$$

Formel 2.16

Enligt formel 2.15 och 2.16 gäller att

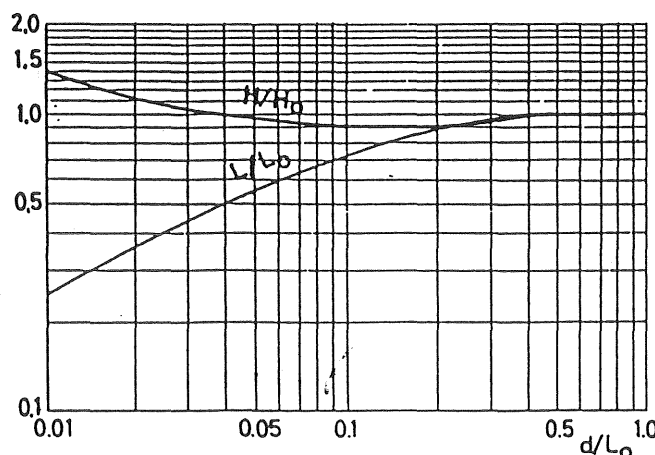
$$\frac{C}{C_0} = \frac{L}{L_0} = \tanh \frac{2\pi d}{L}$$

Formel 2.17

Vidare gäller att man genom att utnyttja ovanstående samband erhåller kvoten mellan H och H_0 .

$$\frac{H}{H_0} = \sqrt{\frac{n_0 C_0}{n C}} = \sqrt{\frac{n_0 L_0}{n L}} = \frac{\sqrt{2} \cosh(\frac{2\pi d}{L})}{\sinh(\frac{2\pi d}{L} + \frac{4\pi d}{L})}$$

Formel 2.18



Figur 6 H/H_0 och L/L_0 som funktion av relativ vattendjupet d/L_0 .

3.0 Vågfenomen.

I föregående avsnitt redovisades vågornas energiinnehåll. För att kunna utforma hamnkonstruktioner så att man bäst reducerar de oönskade effekterna av vågornas energi är det av stor vikt att man studerar vågrörelserna. Som exempel kan nämnas att en felaktig konstruktion kan leda till att hamnbassängen sedimenteras igen och blir oanvändbar.

Vid studier av vågor och vågrörelser är det framförallt av intresse att beräkna följande fyra fenomen.

-Diffraktion

Diffraktion är den vågförändring som sker då en våg passerar någon form av hinder till exempel en vågbrytare eller en ö.

-Reflektion

Reflektion kan uppstå vid till exempel en vågbrytare eller kaj.

-Refraktion

Refraktion uppkommer då en våg fortplantas in mot grunt vatten med en sned infallsvinkel.

-Vågbrott

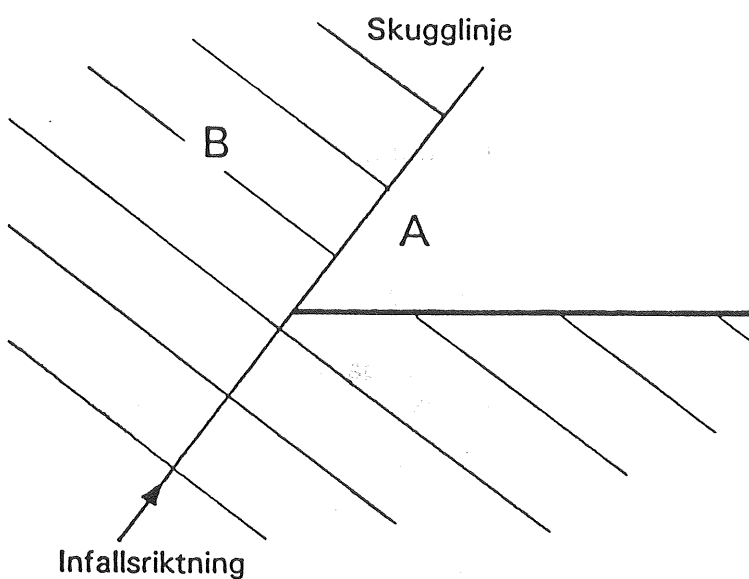
Vågbrott uppstår då en våg transporteras mot allt grundare vatten.

Dessa fenomen leder till våghöjdsförändringar eller ändringar av vågornas utbredningsriktningar. I följande avsnitt beskrivs de olika fenomenen närmare.

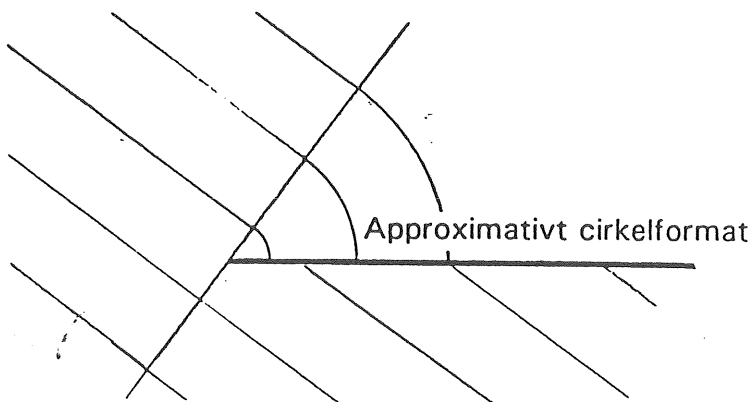
3.1 Diffraktion.

Då en våg stöter på någon form av hinder, till exempel en ö, en vågbrytare eller liknande, kommer en del av vågen som infaller mot hindret antingen att reflekteras, att absorberas eller en kombination av dessa. Enligt figur 7 kommer då område A att ligga i skuggan bakom hindret medan vågorna i område B passerar i de närmaste helt opåverkade. Gränslinjen mellan områdena A och B kallas skugglinjen.

Energin i de vågor som passerar vågbrytaren kommer efter passagen att fördelas in i område A, vilket kommer att ge upphov till ett approximativt cirkelformat mönster bakom vågbrytaren enligt figur 8. Omfördelningen av energin från område B mot område A kommer även att resultera i en förändring av våghöjden i område B på grund av minskat energinnehåll. Våghöjden varierar längst vågkammen på så sätt att den är lägst vid vågbrytaren.

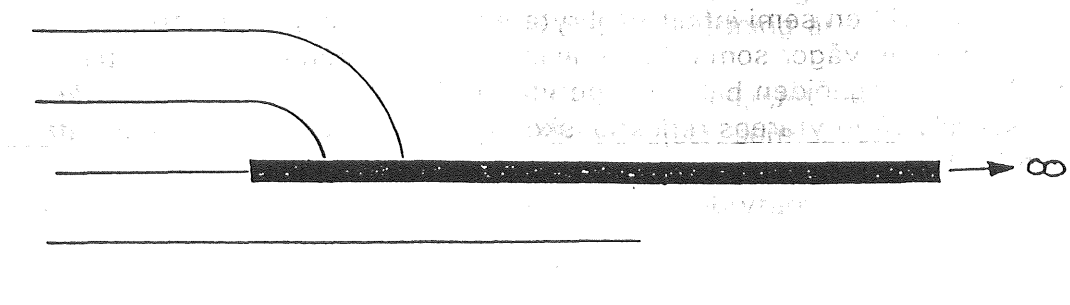


Figur 7 Teoretiskt utseende på vågmönstret utan hänsyn till diffraktion.

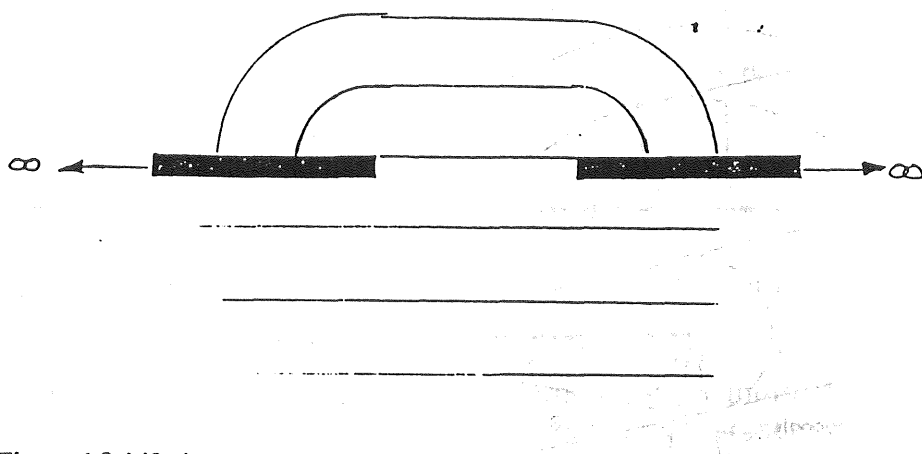


Figur 8 Energiutbredningen ger upphov till ett cirkelformat mönster.

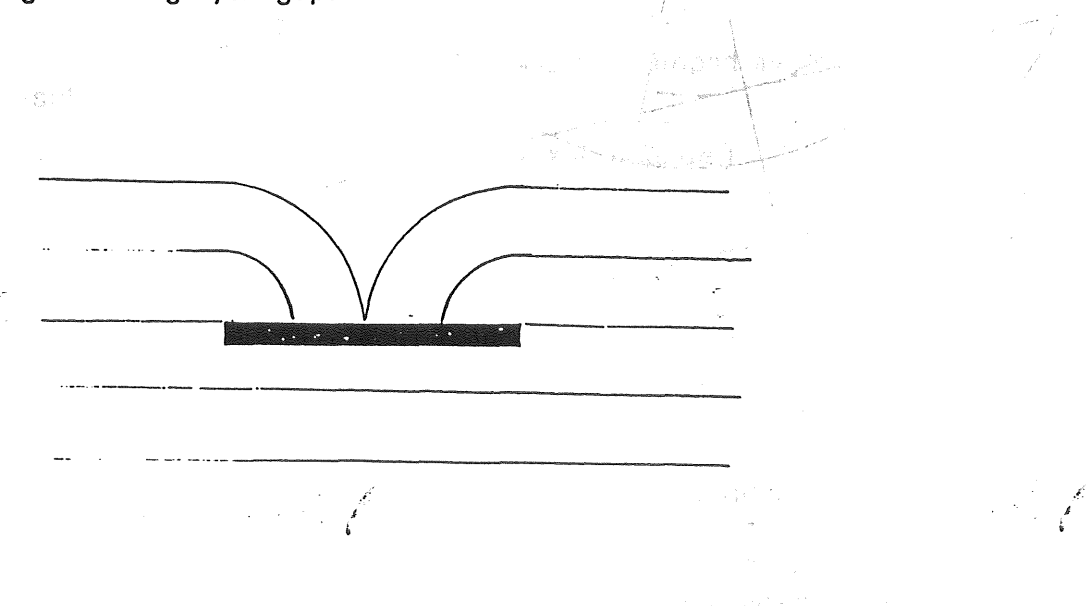
Teoretiskt och även praktiskt talar man om tre typer av vågbrytare figur 9-11



Figur 9 Semi-infinite vågbrytare.



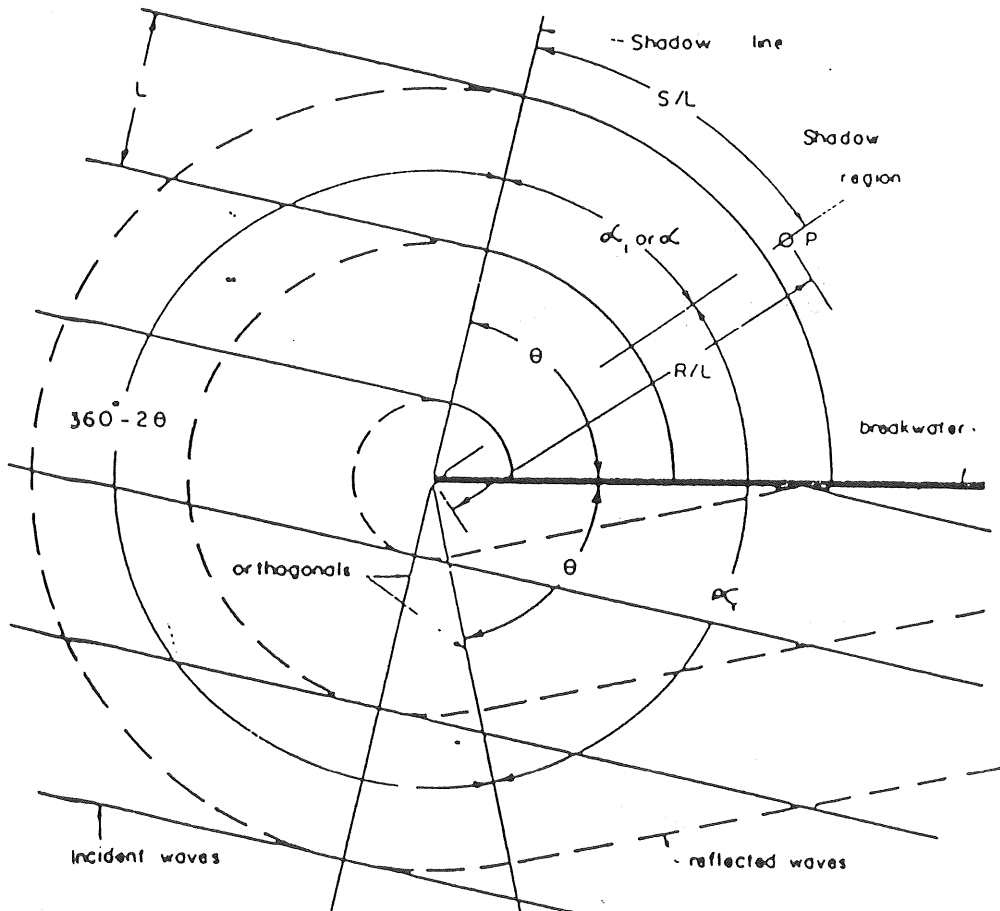
Figur 10 Vågbrytar gap.



Figur 11 Offshore vågbrytare.

3.2 Diffraktionsteori.

Principen för diffraktion vid en semi-infinit vågbrytare visas i figur 12. Ur figuren kan man utläsa att även de vågor som reflekteras mot vågbrytaren ger upphov till diffraktion som påverkar våghöjden bakom vågbrytaren. Detta får till följd att det är av intresse att fastställa vågbrytarens reflektionskoefficient vilket vidare kommer att behandlas i kapitel 3.5.

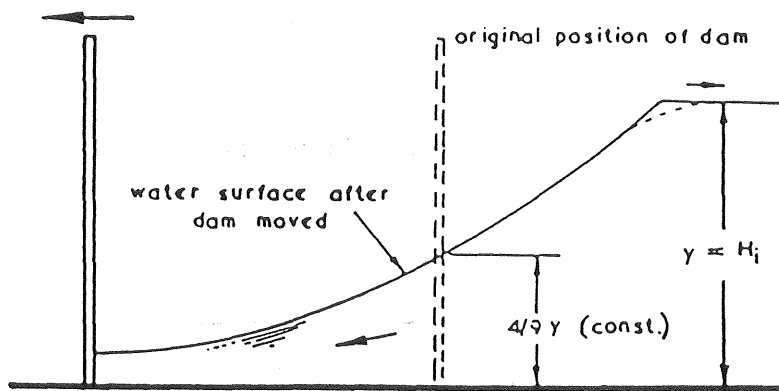


Figur 12 Begrepp vid en semi-infinit vågbrytare

I figur 12 beskrivs vågmönstret i område A som cirkelformat, detta är dock ej sant utan mönstret påverkas bland annat av våghöjd och våghastighet. Dessa orsaker kan man dock bortse ifrån då dess påverkan på mönstret är små. En tredje orsak kan härledas till den lilla fasdifferans som finns mellan inkommande och den våg som passerar vågbrytaren och utvecklar diffraktion, fasdifferansen uppkommer på grund av det sätt med vilken energin sprids längst vågkammen.

Man har funnit att teorin som används vid optisk diffraction utvecklad av Sommerfeld är användbar även vid vågdiffraction. Det är dock svårt att åskådliggöra den mekanism som styr våghöjdsförändringen längst våkamnen. Det som närmast kan jämföras med denna energiutbredning är det som sker med vattenmassorna i en damm då denna kollapsar.

Figur 13 visar att vid dammens placering är vattendjupet $4/9 \gamma$ av det ursprungliga djupet, vilket nästan motsvarar den $1/2$ våghöjden som uppstår vid skugglinjen. Det är då naturligt att antaga att vattnet strömmar in i skuggzonen men detta stämmer bara för den första $1/5$ av våglängden bakom vågbrytarens spets i övrigt kan man ej upptäcka någon vattentransport.



Figur 13 Vattenströmningen vid en kollapsande damm.

En fjärde anledning till att mönstret avviker från cirkelformen är att om vågbrytarens bredd är försumbar i förhållande till våglängden kommer den reflekterade vågen som också utvecklar diffraction att vara i fas med vågen som passerar vågbrytaren enligt figur 12.

Sommerfelds lösning på optisk diffraction tillämpad av Penny och Price (1952) resulterar i följande ekvation.

$$F(R_1, \alpha) = f(u_1) * \exp(-iKR \cos \alpha_i) + f(u_2) * \exp(-iKR \cos \alpha_r) \quad \text{Formel 3.1}$$

α_i och α_r enligt figur 12.

$$u_1 = -\sqrt{8 \frac{R}{L} * \sin\left(\frac{\alpha_i}{2}\right)}$$

$$u_2 = -\sqrt{8 \frac{R}{L} * \sin\left(\frac{\alpha_r}{2}\right)}$$

Diffraktionskoefficienten K har det numeriska värdet

$$K = |F(R, \alpha)|$$

Den andra termen i högerledet i ekvation 3.1 kan skrivas.

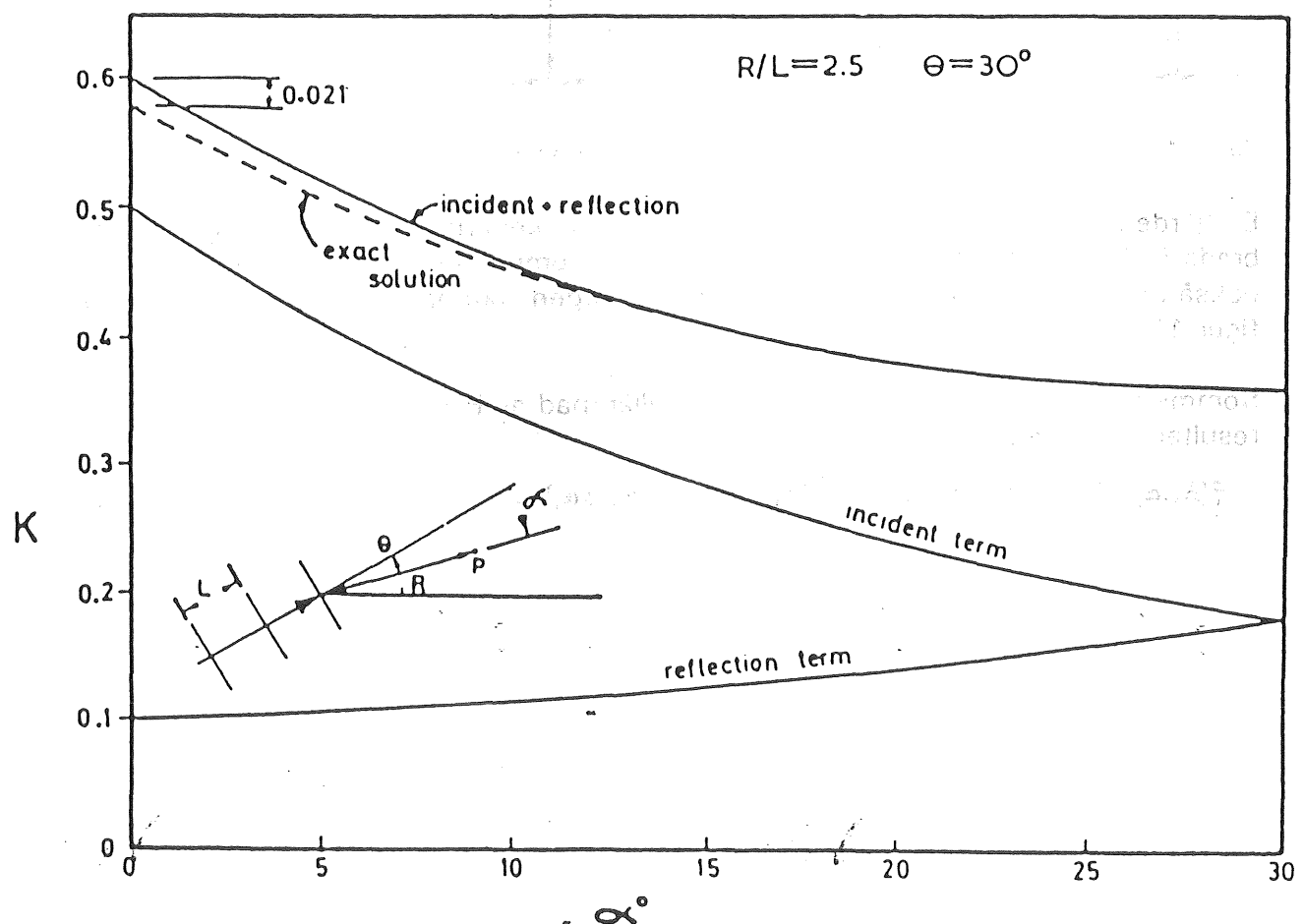
$$f(u_2) * \exp(-KR \cos(360^\circ - \alpha_r))$$

och representerar det tillskott till diffraktion som sker på grund av den reflekterade vågen.

Den första termen representerar den våghöjdsförändring som sker på grund av den inkommande vågen. Således kan man skriva

$$K = f(u) * \exp(-iKR \cos \alpha) = \text{inkommende} + \text{reflekterad}$$

Figur 14 visar exempel på de tillskotten. I tabell 1 ger man diffraktionskoefficient för inkommande och reflekterande vågor.



Figur 14 Uppdelning av diffraktionskoefficienten i tillskotten från reflekterad och inkommande våg.

Tabell 1 Uppdelning av diffraktionskoefficienten i tillskotten från reflekterad och inkommende våg.

Diffraction coefficient for incident wave (α_1) and reflected wave ($360^\circ - 2\theta + \alpha_1$)¹

α°	R/L	$K \times 1000$									
		1	2	3	4	5	6	8	10	15	20
0		500	500	500	500	500	500	500	500	500	500
2		476	466	459	453	448	443	435	428	413	402
4		453	435	422	411	402	393	379	367	344	325
6		431	406	388	373	361	350	332	317	288	266
8		411	379	357	340	325	313	292	275	244	222
10		392	355	329	310	294	280	258	241	210	188
12		373	332	304	283	267	253	230	213	182	162
14		356	311	282	260	243	229	207	190	161	141
16		340	292	262	240	222	208	187	170	143	125
18		325	275	244	221	204	191	170	154	128	112
20		310	259	228	205	189	175	155	140	116	101
25		278	225	194	173	157	145	127	115	94	82
30		251	197	168	148	134	123	107	96	79	69
35		228	175	147	129	116	107	93	83	68	59
40		208	157	131	115	103	94	82	73	60	52
45		191	142	118	103	92	84	73	66	54	46
50		176	130	107	93	84	77	66	59	49	42
55		164	120	99	86	77	70	61	54	44	39
60		153	111	91	79	71	65	56	50	41	36
65		143	104	85	74	66	60	52	47	38	33
70		135	97	80	69	62	57	49	44	36	31
75		128	92	75	65	58	53	46	41	34	29
80		122	87	71	62	55	51	44	39	32	28
85		116	83	68	59	53	48	42	37	30	26
90		111	79	65	56	50	46	40	36	29	25
95		107	76	62	54	48	44	38	34	28	24
100		103	73	60	52	46	42	37	33	27	23
105		99	71	58	50	45	41	35	32	26	22
110		96	69	56	49	43	40	34	31	25	22
115		94	67	54	47	42	39	33	30	24	21
120		91	65	53	46	41	38	32	29	24	21
125		89	63	52	45	40	37	32	28	23	20
130		87	62	51	44	39	36	31	28	23	20
135		86	61	50	43	39	35	30	27	22	19
140		84	60	49	42	38	35	30	27	22	19
145		83	59	48	42	37	34	29	26	22	19
150		82	58	48	41	37	34	29	26	21	18
160		80	57	47	40	36	33	29	26	21	18
170		80	56	46	40	36	33	28	25	21	18
180		79	56	46	40	36	32	28	25	21	18

¹ For $\theta < 60^\circ$ and $R/L < 3$, add 0.1 to K .

3.3 Lösning av diffraktionsproblem.

Vid praktiska beräkningar av diffraction använder man hjälpmittel i form av tabeller och diagram. Med dess hjälp får man fram den så kallade diffraktionskoefficienten K_d på olika platser bakom vågbrytaren.

$$K_d = \frac{\text{Våghöjden på en viss punkt bakom vågbrytaren}}{\text{Inkommande vågs höjd}}$$

Diffraktionsdiagram finns framtagna för olika infallsvinklar och för de i föregående kapitel redovisade typerna av vågbrytare, se bilaga 1.

3.4 Lösning av diffraktionsproblem med hjälp av diffraktionsdiagram.

I Shore protection manual finns diffraktionsdiagram för olika typer av vågbrytare och för olika infallsvinklar. De antaganden som är gjorda vid framtagandet av dessa diagram är

- Vattnet är friktionsfritt och inkompressibelt.
- Linjär vågteori med liten amplitud gäller.
- Vattendjupet bakom vågbrytaren är konstant.
- Flödet kan beskrivas med en funktion vilken satisfierar Laplace's ekvation.

Vidare är diagrammen framtagna för vågbrytaren där reflektionskoefficienten är 0 det vill säga att vågen absorberas helt.

Diffraktionsdiagrammen ger diffraktionskoefficienten på olika ställen bakom vågbrytaren för olika infallsvinklar. Det är nödvändigt att ta fram våglängden för de vattendjup som finns vid vågbrytarens spets, detta görs genom att använda formel 3.2 eller någon av de formler härledda ur denna. Alternativt kan man använda tabell C1 se bilaga 2.

$$C = \frac{gT}{2\pi} \left(\tanh \frac{2\pi d}{L} \right)$$

Formel 3.2

3.5 Reflektion.

Reflektion av vattenvågor sker enligt samma principer som vid reflektion av ljud- och ljusvågor. Reflektionen beror på vågens infallsvinkel samt branthet och beskaffenhet på den yta mot vilken vågen infaller.

En våg som infaller mot en yta kan reflekteras, absorberas och transmiteras beroende på ytans egenskaper. Som ett mått på reflektion används reflektionskoefficienten K_r ,

$$K_r = \frac{\text{Reflekterad våghöjd}}{\text{Infallande våghöjd}} = \frac{H_r}{H_i}$$

På motsvarande sätt fås transmissionskoefficienten K_t ,

$$K_t = \frac{\text{Transmitterad våghöjd}}{\text{Infallande våghöjd}} = \frac{H_t}{H_i}$$

Storleken på K_r och K_t varierar enligt följande

$0 \leq K_r \leq 1$ Där 1 är totalreflektion det vill säga att all energi reflekteras.

$0 \leq K_t \leq 1$ Där 1 är fullständig transmission det vill säga all energi passerar genom vågbrytaren.

Vid total reflektion av en våg som kan beskrivas med hjälp av första ordningens teori uppstår en stående våg om vågen infaller vinkelrätt mot vågbrytaren. Den infallande vågprofilen ges av

$$\eta_i = a_i \sin(kx - \omega t)$$

och den reflekterade vågprofilen ges av

$$\eta_r = a_r \sin(-kx - \omega t)$$

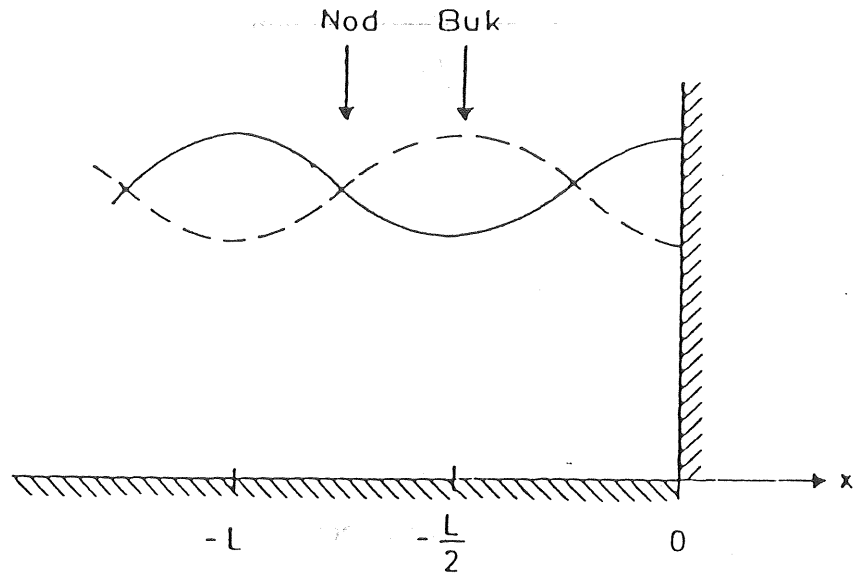
Den stående vågens ekvation är summan av den infallande och reflekterande vågen.

$$\eta = \eta_i + \eta_r = H_i \sin \omega t \cos kx$$

Nodernas läge fås för $\cos kx = 0$

$$x = (2n+1) * L/4 \quad n=1,2,3,4,\dots$$

$$k = 2\pi/L \quad \text{och} \quad \omega = 2\pi/T$$



Figur 15 Stående våg vid fullständig reflektion.

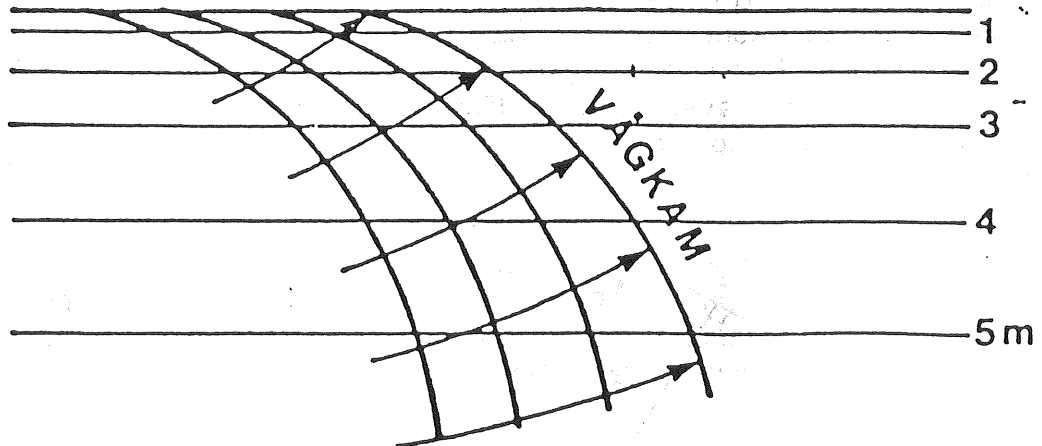
Reflektion är en viktig faktor att ta hänsyn till vid vågberäkningar och hamnkonstruktioner då man vid felaktigt utformade anläggningar kan erhålla oönskade fenomen typ resonans i hamnbassängen. En fullständig beräkning av reflektion är komplicerad att genomföra, då ett stort antal variabler vilka är svåra att bestämma ingår i beräkningarna. För beräkning av reflektion är modellförsök ett viktigt hjälpmittel.

3.6 Refraktion.

Formel 2.2

$$C = \sqrt{\frac{gL}{2\pi} \tanh \frac{2\pi d}{L}}$$

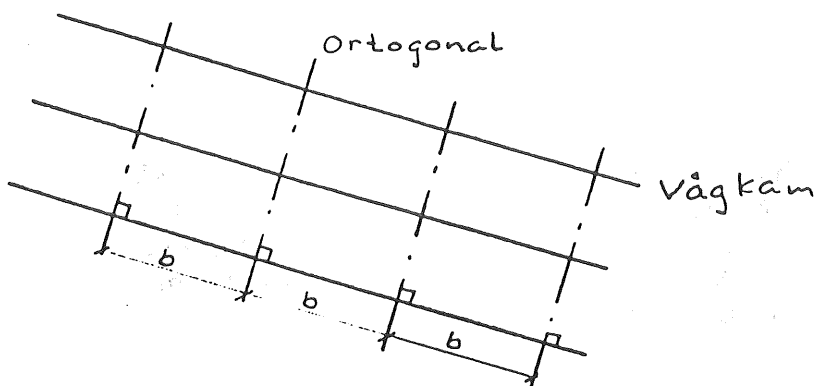
visar att våghastigheten är beroende av vattendjupet d så att om d minskar så minskar även C och L . Detta medför att om en vågfront befinner sig över olika vattendjup kommer vågfronten att utbreda sig med olika hastigheter. Detta i sin tur leder till att vågfronten kommer att böja av och sträva efter att bli parallell med bottenkonturen. Denna egenskap kallas refraktion, se figur 16.



Figur 16 Refraktion vid parallella nivålinjer.

3.7 Refraktionens inverkan på våghöjden.

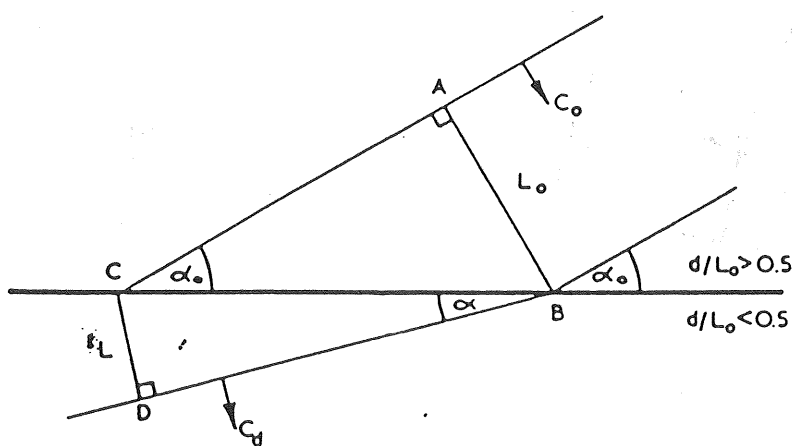
Eftersom man gör antagandet att ingen energitransport sker längst vågkammen kan en våg delas in i mot vågkammen vinkelräta linjer så kallade ortogonaler.



Figur 17 Indelning av en vågkam i ortogonaler.

Mellan dessa ortogonaler antages att energitransporten är konstant.

På grund av refraktionsfenomenet som uppträder enligt figur 16 kommer avståndet mellan ortogonalerna att variera. Eftersom energitransporten är konstant kommer våghöjden variera, så att ett ökande avstånd ger en lägre våghöjd och ett minskande avstånd ger en ökande våghöjd.



Figur 18 Orthogonalernas vinkeländring .

Man kan genom att studera figur 18 ställa upp formlerna 3.3 och 3.4 för orthogonalernas vinkeländring.

$$\frac{\sin \alpha_0}{\sin \alpha} = \frac{L_0}{L} = \frac{C_0}{C} \quad \text{Formel 3.3}$$

$$\frac{\cos \alpha_0}{\cos \alpha} = \frac{b_0}{b} \quad \text{Formel 3.4}$$

3.8 Refraktion vid olika djupförhållande.

En våg som utbreder sig från en annan riktning än vinkelrät mot bottenkonturen kommer att ha sin vågkam över olika vattendjup, detta medför enligt formel 3.5

$$\frac{C_d}{C_0} = \tanh \frac{2\pi d}{L} = \frac{L}{L_0}$$
Formel 3.5

att vågkammen kommer att ha skilda hastigheter. Vågkammen strävar efter att ha samma hastighet vilket leder till att den kommer att böja av.

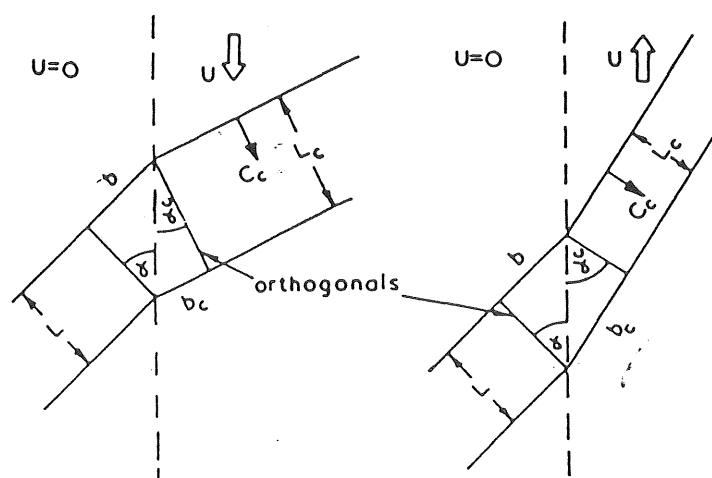
Formeln för våghastigheten kan ställas upp

$$\frac{\sin \alpha}{\sin \alpha_0} = \frac{L}{L_0} = \frac{C_d}{C_0} = \tanh \frac{2\pi d}{L}$$
Formel 3.6

3.9 Refraktion på grund av andra orsaker.

Förutom refraktion utvecklad vid skillnader i vattendjupet längst vågkammen, kan refraktion uppträda vid strömmar eller andra förhållande som gör att en del av kammen har högre hastighet än andra delar. Följande avsnitt skall behandla den refraktion som utbildas vid strömmar.

Man antar fortsättningvis att strömmen är likformig från botten upp till ytan. När en våg skär strömmen kommer dess utbredningshastighet att förändras beroende på skärningsvinkel och strömningsriktning. En förändring av våghastigheten kan som tidigare beskrivits ge upphov till refraction se figur 19.



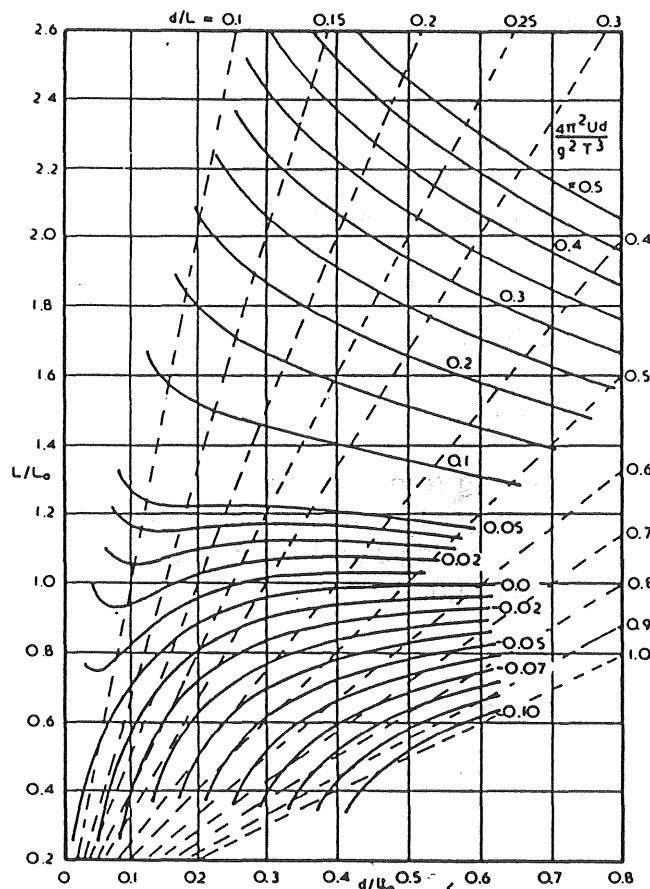
Figur 19 Refraktion på grund av ström.

Ur figur 19 kan man ta fram sambandet för våghöjd enligt formel 3.6

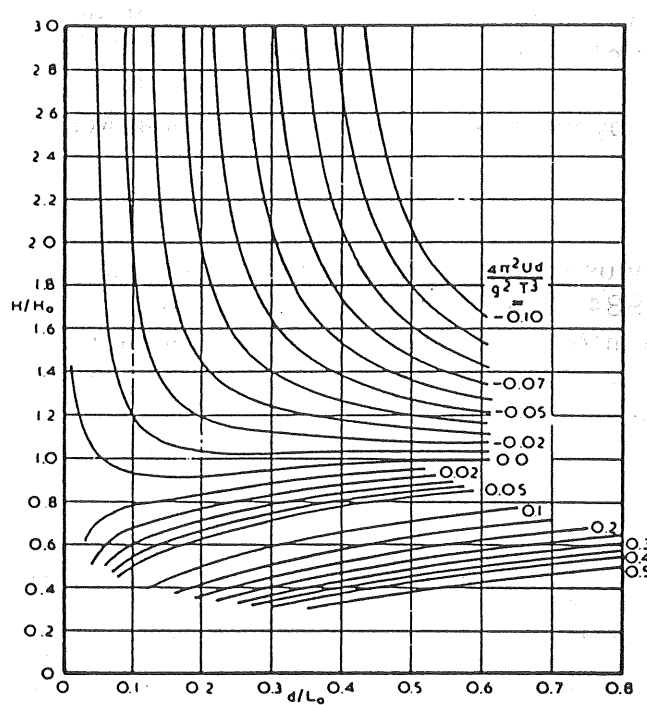
$$\frac{H_c}{H} = \left(\frac{b}{b_c} \frac{L}{L_c} \right)^{1/2} = \left(\frac{L^2 \tan \alpha}{L_c^2 \tan \alpha_c} \right)^{1/2}$$

Formel 3.7

Genom att använda Stokes teori av andra ordningen har J. W. Johnson tagit fram diagram för våglängden och våghöjdens variation som funktion av strömmens hastighet se figur 20 och 21.



Figur 20 Våglängdens variation på grund av ström.



Figur 21 Våghöjdens variation på grund av ström.

4.1 Allmänt om programmen.

I studien har speciellt intresse ägnats åt de två programmen REDSEA och REFRAC, då båda programmen finns tillgängliga på institutionen för vattenbyggnad vid Chalmers tekniska högskola.

4.2 Redsea.

Detta program är utvecklat av Henry W Worthington och John B Herbich (1970) vid universitetet i Texas USA. Redsea utför beräkningar av refraktion och diffractionsfenomen. För att utföra dessa beräkningar använder sig programmet av linjär teori samt kommunicerar med användaren via in- och utdatafiler.

Programmet finns på institutionen för Vattenbyggnad för användning på PC-datorer.

4.3 Refrac.

Refrac är utvecklat av Peter Billton och Magnus Bernader i ett examensarbete vid institutionen för Vattenbyggnad vid CTH (1984). Programmet utför analys av refraktion och våghöjdsförhållande, analysen utförs med hjälp av linjär teori. Indata ges via en indatafil och resultatet ges på en utdatafil antingen i form av tabell eller om användaren har tillgång till plotter kan resultatet plottas.

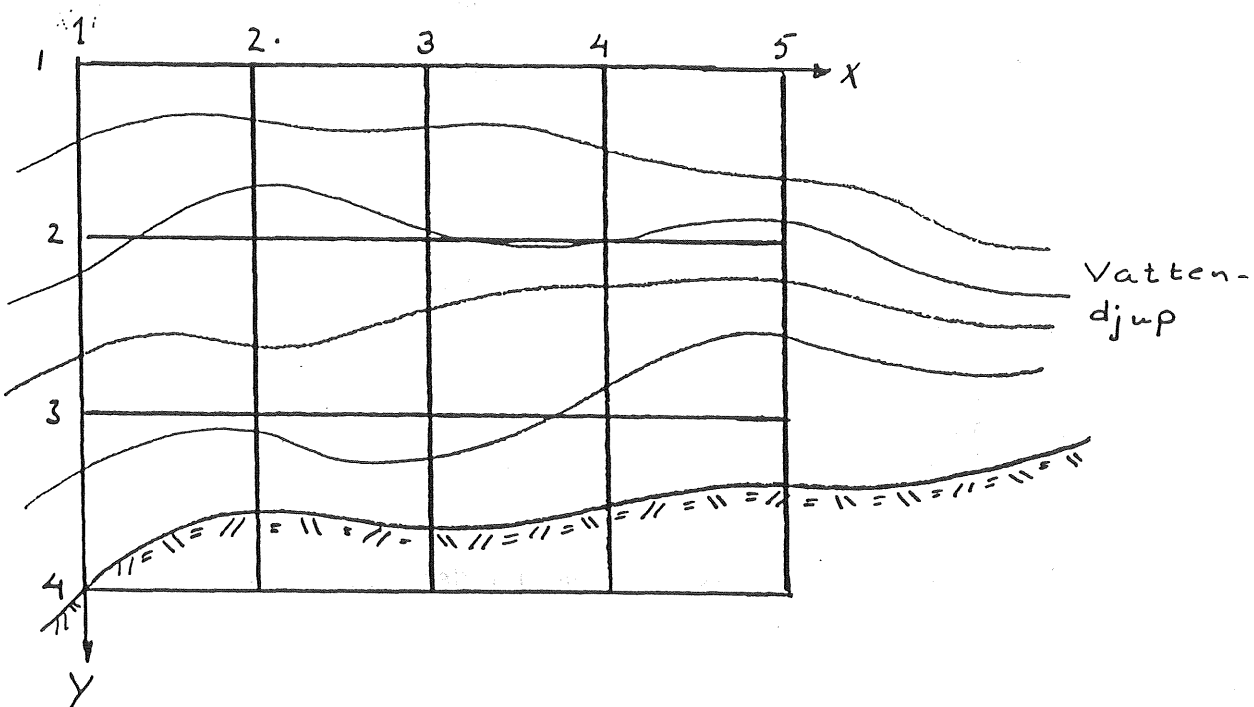
4.4 Manual och beskrivning av Redsea.

Redsea är ett mer komplett program för analys av vågförhållande jämfört med Refrac, programmet har bland annat en funktion för beräkning av diffraction, uppgrundsning och inverkan av bottenfriktion.

4.5 Hantering av indata.

Detta kapitel behandlar hur indata till programmet ska formuleras. Kortfattat kan man beskriva arbetet med indatafilen i följande steg:

steg 1 Ett koordinatsystem som täcker den yta man är intresserad av skapas, se figur 22.



Figur 22 Koordinatsystem vid vågberäkning i REDSEA.

steg 2 Vattendjupet i kvadraternas hörnpunkter anges.

steg 3 En vågbrytare placeras i området. Det krävs att en vågbrytare placeras i koordinatsystemet men denna kan om så önskas placeras i ytterkanten så att den ej påverkar övriga beräkningar

steg 4 Vågens infallsvinkel och vågperiod anges.

steg 5 Beräkningsmässiga begränsningar bestäms.

Nedan beskrivs indatafilen och dess olika variabler.

Rad 1

x, y, n, a .

x är antalet ortogonaler i x -led.

y är antalet ortogonaler i y -led.

n möjlighet finns att för samma bottenförhållande analysera flera vågförhållanden.

a avstånd mellan ortogonalerna.

Rad 2 tom

$d_{1,1} d_{1,2} d_{1,3} \dots d_{1,y}$

$d_{2,1} d_{2,2} d_{2,3} \dots d_{2,y}$

$d_{3,1} d_{3,2} d_{3,3} \dots d_{3,y}$

$d_{x,1} d_{x,2} d_{x,3} \dots d_{x,y}$

På dessa rader anges vattendjupet i rutornas hörnpunkter.

Rad $y + 2$

$\alpha_i, T, t_i, x_{start}, y_{start}, V_{x,spets}, V_{y,ändes}, V_{x,ändes}, V_{y,ändes}, K_R, K_F$

α_i Infallsvinkel i grader.

T Vågperiod.

t_i Tidsintervall mellan beräkningar.

x_{start} Startpunkten för den första ortogonalen.

y_{start} Startpunkten för den första ortogonalen.

$V_{x,spets}$ Vågbrytarens spets.

$V_{y,spets}$ Vågbrytarens spets.

$V_{x,ände}$ Vågbrytarens ände.

$V_{y,ände}$ Vågbrytarens ände.

K_R Vågbrytarens reflektionskoefficient.

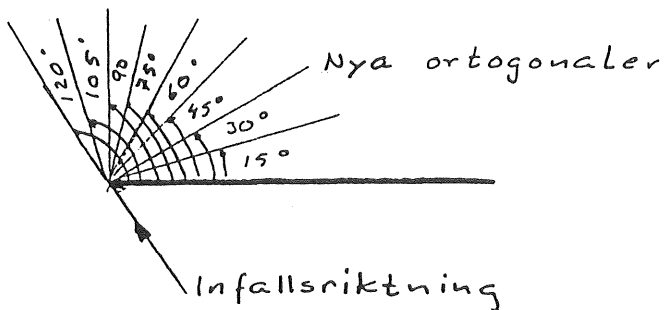
K_F Bottnens friktionskoefficient.

Om n alltså antal vågförhållanden är större än 1 följer n rader lika Rad $y + 2$.

4.6 Beräkningar.

Programmet ger användaren möjligheten att själv avgöra var vågortogonalerna skall initieras samt hur ofta analyser av vågförhållandet skall göra. Beräkningarna som utförs enligt linjär teori avslutas då ortogonalen lämnar koordinatsystemet, när vågbrytaren eller stöter på land.

Redsea ger användaren även möjligheten att beräkna diffraktionen bakom, till exempel, en vågbrytare. Då vågortogonalen stöter på någon form av hinder (vågbrytare) kommer, efter det att samtliga ortogonaler har beräknats, nya vågortogonaler att initieras vid vågbrytarens spets. Dessa ortogonaler sprids med 15 graders vinkelskillnad bakom vågbrytaren tills dess att man passerar skugglinjen se figur 23.



Figur 23 Initiering av ortogonaler vid vågbrytare.

För samtliga ortogonaler beräknas läget samt våghöjd med det intervall som användaren anger.

4.7 Resultat presentation.

Alla resultat från beräkningarna redovisas i form av en tabell i en utdatafil se figur 24.

ORTHOGONAL POINT NUMBER	TIME NUMBER	COORDINATES (SEC)	X	Y	DEPTH (M)	REFRACTION COEF	SMOULING COEF	DIFFRACTION COEF	POSITION COEF	HEIGHT COEF	WAVE DIRECTION
1											
1	0.00	2.0	2.0		ORTHOGONAL	ORIGIN					
2	2.00	2.4	2.7	16.41	1.00	.92	1.00	1.00	.92	.92	62.47
3	4.00	2.7	3.4	13.01	1.00	.93	.98	1.00	.91	.91	64.72
4	6.00	3.0	4.0	9.92	1.00	.96	.97	1.00	.93	.93	66.54
5	8.00	3.3	4.6	9.32	1.01	.97	1.03	1.00	1.00	1.00	67.30
6	10.00	3.5	5.2	8.79	1.01	.97	.98	1.00	.96	.96	68.30
7	12.00	3.7	5.8	8.21	1.02	.98	1.02	1.00	1.02	1.02	69.23
8	14.00	3.9	6.3	7.66	1.02	.99	1.00	1.00	1.02	1.02	69.68
9	16.00	4.1	6.9	7.11	1.03	1.01	.98	1.00	1.01	1.01	70.54
10	18.00	4.3	7.4	6.58	1.03	1.02	1.04	1.00	1.02	1.02	71.22
11	20.00	4.5	7.9	6.03	1.04	1.03	.97	1.00	1.04	1.04	71.91
12	22.00	4.6	8.4	5.57	1.04	1.05	.96	1.00	1.06	1.06	72.44
13	24.00	4.8	8.9	5.10	1.04	1.06	1.04	1.00	1.15	1.15	73.35
14	26.00	4.9	9.4	4.64	1.05	1.06	1.03	1.00	1.17	1.17	74.08
15	28.00	5.0	9.8	4.19	1.05	1.11	.98	1.00	1.14	1.14	74.83
16	30.00	5.2	10.2	3.72	1.05	1.13	.96	1.00	1.14	1.14	75.57
17	32.00	5.3	10.6	3.32	1.05	1.16	.95	1.00	1.16	1.16	76.36
18	34.00	5.3	11.0	2.99	1.05	1.19	.95	1.00	1.19	1.19	77.15
19	36.00	5.4	11.4	2.62	1.05	1.22	.97	1.00	1.25	1.25	77.96
20	38.00	5.5	11.7	2.39	1.06	1.25	1.01	1.00	1.34	1.34	78.78
21	40.00	5.6	12.0	1.97	1.06	1.30	1.04	1.00	1.43	1.43	79.59
22	42.00	5.6	12.3	1.62	1.06	1.34	.97	1.00	1.53	1.53	80.34
23	44.00	5.7	12.5	1.49	1.06	1.39	1.02	1.00	1.58	1.58	80.91
24	46.00	5.7	12.8	1.16	1.06	1.46	.96	1.00	1.62	1.62	81.40
2											
1	0.00	3.2	2.0		ORTHOGONAL	ORIGIN					
2	2.00	3.5	2.7	16.41	1.00	.92	.93	1.00	.89	.89	62.47
3	4.00	3.9	3.4	13.01	1.00	.93	.98	1.00	.90	.90	64.72
4	6.00	4.2	4.0	9.92	1.00	.96	.98	1.00	.94	.94	66.54
5	8.00	4.4	4.6	9.32	1.01	.97	1.02	1.00	.99	.99	67.80
6	10.00	4.7	5.2	8.79	1.01	.97	.98	1.00	.96	.96	68.60
7	12.00	4.9	5.8	8.21	1.02	.98	1.03	1.00	1.03	1.03	69.23
8	14.00	5.1	6.3	7.66	1.02	.99	.98	1.00	.99	.99	69.98
9	16.00	5.3	6.9	7.11	1.03	1.01	1.02	1.00	1.05	1.05	70.54
10	18.00	5.5	7.4	6.58	1.03	1.02	1.00	1.00	1.05	1.05	71.22
11	20.00	5.6	7.9	6.07	1.04	1.03	.97	1.00	1.04	1.04	71.92

Figur 24 Exempel på resultatredovisning i REDSEA.

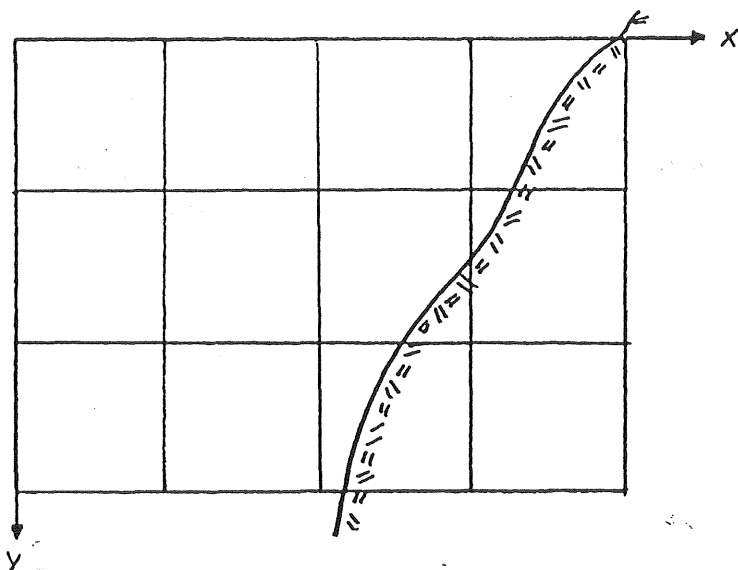
4.8 Refrac.

Refrac utför refraktionsberäkningar enligt linjär teori redovisad i Shore protection manual, samt i kapitel 3.6-3.9. Analyserna omfattar såväl vågortogonalernas riktningsförändring som beräkning av våghöjden. I samband med beräkningar av våghöjden kontrolleras också om vågen bryter. Programmet använder sig av in- och utdatafiler. Resultatet ges i utdatafilen antingen som tabellvärden alternativt kan resultatet plottas på en plotter (plottningsrutiner är ej implementerade på PC versionen).

4.9 Indata i Refrac.

Indata till programmet består av data om vattendjup och om vågförhållanden. För att kunna göra beräkningar med hjälp av Refrac krävs att vattendjupet i det aktuella området är känt.

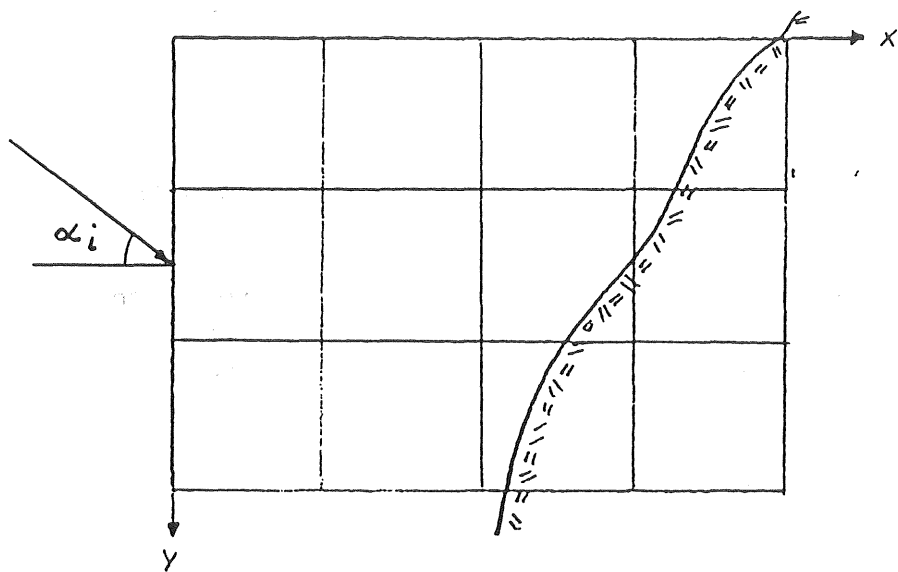
I området läggs ett koordinatsystem in så att man för varje ruta i koordinatsystemet kan ange vattendjupet i rutans mittpunkt. Kravet på koordinatsystemet är att det måste sträcka sig till sådant vattendjup att D/L är större än 0,5 Det vill säga att vi har djupt vatten, se figur 25.



Figur 25 Koordinatsystem för vågberäkning i REFRAC.

Nästa steg är att sammanställa data över vattendjupen i rutornas mittpunkter. Koordinatsystemet är härmed klart. De återstående data som erfordras är en beskrivning av det vågförhållande som skall analyseras. De parametrar som krävs är vågens infallsvinkel, vågperiod samt vågens höjd på djupt vatten (djupvattenvågens höjd).

Infallsinkel anges enligt figur 26.



Figur 26 Angivande av infallsvinkel.

4.10 Beskrivning av indatafilen till Refrac.

Nedan beskrivs indatafilen och dess olika variabler.

Rad 1 H1,T,ANO,K,L,IX,SCALE

H1 Djupvattenvågens höjd.
T Vågperiod.
ANO Infallsvinkel i radianer.
K Antal rutor i X-led.
L Antal rutor i Y-led.
IX Rutornas sidlängd.
SCALE Plottningsskala (sätts till 1 om enbart tabell önskas).

Rad 2 ANC

ANC Här anges den kritiska vinkeln (grader).

Rad 3 ITYP2L, ITYP2H

ITYP2L

ITYP2H Kommandon för plottningsrutinerna normalt (1,1).

Härefter följer L st rader med K st värden för vattendjupet i sidornas mittpunkter. Om rutornas sidlängd minskas ökar noggranheten.

1., 10., 0.250, 18, 11, 50, 1

145

20., 15., 14., 13., 12., 11., 10., 9., 8., 7., 6., 5., 4., 3., 2., 1.5, 1.
20., 15., 14., 13., 12., 11., 10., 9., 8., 7., 6., 5., 4., 3., 2., 1.5, 1.
20., 15., 14., 13., 12., 11., 10., 9., 8., 7., 6., 5., 4., 3., 2., 1.5, 1.
20., 15., 14., 13., 12., 11., 10., 9., 8., 7., 6., 5., 4., 3., 2., 1.5, 1.
20., 15., 14., 13., 12., 11., 10., 9., 8., 7., 6., 5., 4., 3., 2., 1.5, 1.
20., 15., 14., 13., 12., 11., 10., 9., 8., 7., 6., 5., 4., 3., 2., 1.5, 1.
20., 15., 14., 13., 12., 11., 10., 9., 8., 7., 6., 5., 4., 3., 2., 1.5, 1.
20., 15., 14., 13., 12., 11., 10., 9., 8., 7., 6., 5., 4., 3., 2., 1.5, 1.
20., 15., 14., 13., 12., 11., 10., 9., 8., 7., 6., 5., 4., 3., 2., 1.5, 1.
20., 15., 14., 13., 12., 11., 10., 9., 8., 7., 6., 5., 4., 3., 2., 1.5, 1.
20., 15., 14., 13., 12., 11., 10., 9., 8., 7., 6., 5., 4., 3., 2., 1.5, 1.
20., 15., 14., 13., 12., 11., 10., 9., 8., 7., 6., 5., 4., 3., 2., 1.5, 1.

Figur 27 Exempel på indatafil i REFRAC.

4.11 Beräkningar i Refrac.

Vågortogonalerna initieras mitt på rutornas sidor längst y-axeln. Varje ortogonalens väg genom koordinatsystemet beräknas enligt linjär teori.

Beräkningarna avslutas då ortogonalen lämnar koordinatsystemet eller stöter på land. Efter att ortogonalernas vägar har analyserats sker beräkningar av våghöjden samt kontroll om vågen bryter.

En utförligare beskrivning av programmet och beräkningsprocedurerna finns i "Manual för Refrac" Examensarbete 1984:1 av Bernader och Bilton .

4.12 Resultatpresentation i Refrac.

Efter att Refrac har analyserat vågförhållandet kan resultatet avläsas på en utdatafil alternativt om det finns tillgång till plotter kan resultatet plottas.

I utdatafilen presenteras resultatet i en tabell med koordinaterna för ortogonalernas väg genom koordinatsystemet och våghöjden längst dessa vägar se figur 28.

TRAJECTORY NO:	1	14.: 15.	15.: 15.	30.: 22.	45.: 28.
0.: 8.	14.: 15.	15.: 15.	30.: 22.	45.: 28.	
50.: 10.	60.: 33.	75.: 38.	90.: 43.	98.: 45.	
105.: 47.	120.: 51.	115.: 54.	150.: 56.		
TRAJECTORY NO:	2	14.: 10.	15.: 30.	30.: 31.	45.: 43.
0.: 23.	14.: 10.	15.: 30.	30.: 31.	45.: 43.	
50.: 45.	60.: 48.	75.: 53.	90.: 59.	98.: 60.	
105.: 62.	120.: 66.	115.: 69.	150.: 71.		
TRAJECTORY NO:	3	14.: 45.	15.: 45.	30.: 52.	45.: 58.
0.: 38.	14.: 45.	15.: 45.	30.: 52.	45.: 58.	
50.: 60.	60.: 63.	75.: 68.	90.: 73.	98.: 75.	
105.: 77.	120.: 81.	115.: 84.	150.: 86.		
TRAJECTORY NO:	4	14.: 60.	15.: 60.	30.: 67.	45.: 73.
0.: 53.	14.: 60.	15.: 60.	30.: 67.	45.: 73.	
50.: 75.	60.: 78.	75.: 83.	90.: 88.	98.: 90.	
105.: 92.	120.: 96.	115.: 99.	150.: 101.		
TRAJECTORY NO:	5	14.: 75.	15.: 75.	30.: 82.	45.: 88.
0.: 68.	14.: 75.	15.: 75.	30.: 82.	45.: 88.	
50.: 90.	60.: 93.	75.: 98.	90.: 103.	98.: 105.	
105.: 107.	120.: 111.	115.: 114.	150.: 116.		
TRAJECTORY NO:	6	14.: 90.	15.: 90.	30.: 97.	45.: 103.
0.: 83.	14.: 90.	15.: 90.	30.: 97.	45.: 103.	
50.: 105.	60.: 108.	75.: 113.	90.: 118.	98.: 120.	
105.: 122.	120.: 126.	115.: 129.	150.: 131.		
TRAJECTORY NO:	7	14.: 105.	15.: 105.	30.: 112.	45.: 118.
0.: 98.	14.: 105.	15.: 105.	30.: 112.	45.: 118.	
50.: 120.	60.: 123.	75.: 128.	90.: 133.	98.: 135.	
105.: 137.	120.: 141.	115.: 144.	150.: 146.		
TRAJECTORY NO:	8	14.: 120.	15.: 120.	30.: 127.	45.: 133.
0.: 113.	14.: 120.	15.: 120.	30.: 127.	45.: 133.	
50.: 135.	60.: 139.	75.: 143.	90.: 148.	98.: 150.	
TRAJECTORY NO:	9	14.: 135.	15.: 135.	30.: 142.	45.: 148.
0.: 128.	14.: 135.	15.: 135.	30.: 142.	45.: 148.	
TRAJECTORY NO:	10	14.: 150.			
0.: 143.	14.: 150.				
TRAJECTORY NO:	1	1.0	1.0	1.1	1.2
1.2	1.3	1.3	1.4	1.5	0.0
TRAJECTORY NO:	2	1.0	1.0	1.1	1.2
1.2	1.3	1.3	1.4	1.5	0.0
TRAJECTORY NO:	3	1.0	1.0	1.1	1.2
1.2	1.3	1.3	1.4	1.5	0.0
TRAJECTORY NO:	4	1.0	1.0	1.1	1.2
1.2	1.3	1.3	1.4	1.5	0.0

Figur 28 Utdatafil i REFRAC.

5.1 Datorprogram som hjälpmittel vid diffraktionsberäkningar

Programmet Redsea har möjlighet att beräkna diffraktionskoefficienten K_d . För att kontrollera noggrannheten av dessa resultat har en jämförelse utförts mellan K_d från datorberäkningar samt K_d hämtade ur tabeller i bilaga 3 och diagram enligt bilaga 1.

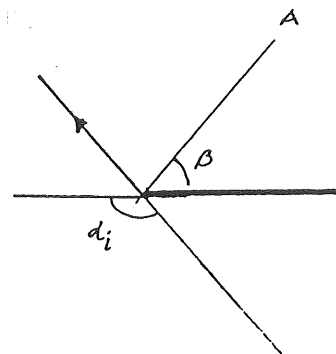
Tabellen i bilaga 3 bygger på beräkningar enligt kapitel 2.1, en studie är utförd som visar att dessa beräkningar stämmer väl överens med värden erhållna vid laboratorieförsök. Endast en differans på maximalt 5 % noterades. Man torde därför kunna dra slutsatsen att dessa tabeller och diagram kan användas för kontroll av datorresultaten.

5.2 Framtagande av K_d ur diagram.

Diagram i bilaga 1 är uppbyggda med hjälp av polära koordinater, det finns ett diagram för varje infallsvinkel.

$$\alpha_i = n \cdot 15 \quad n = (0, 1, 2, 3, \dots, 12)$$

För exempelvis infallsvinkeln $\alpha_i = 105^\circ$ och $\beta = 60^\circ$ enligt figur 29 har K_d längst linje A värden enligt tabell 2.



Figur 29 Bestämning av K_d vid infallsvinkeln α_i

Tabell 2 Diffraktionskoefficienten vid infallsvinkeln 105°

- | | |
|-----------------|--------------------------|
| 1 * våglängden | $\Rightarrow K_d = 0,27$ |
| 2 * våglängden | $\Rightarrow K_d = 0,20$ |
| 4 * våglängden | $\Rightarrow K_d = 0,15$ |
| 6 * våglängden | $\Rightarrow K_d = 0,12$ |
| 8 * våglängden | $\Rightarrow K_d = 0,11$ |
| 10 * våglängden | $\Rightarrow K_d = 0,09$ |

Tabellen visar den totala diffraktionskoefficienten, denna är enligt kapitel 2.1 summan av koefficienterna från infallande respektive den av vågbrytaren reflekterade vågen.

$$K_d = K_i + K_r$$

$K_r = 1$ för 100% reflektion.

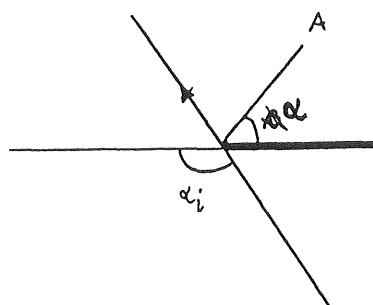
5.3 Framtagande av K_d ur tabell.

Tabellen i bilaga 3 är uppbyggd på samma sätt som diagrammen, dock med den skillnaden att både K_i och K_r redovisas, för att erhålla K_d måste adderas. För samma exempel som i kapitel 5.2 antar K_i och K_r värden enligt tabell.

Tabell 3 Diffraktionskoefficienten vid infallsvinkeln 105°.

1 *	våglängden	$\Rightarrow K_r = 0,080$	$K_i = 0,191$	$K_d = 0,271$
2 *	våglängden	$\Rightarrow K_r = 0,057$	$K_i = 0,142$	$K_d = 0,199$
4 *	våglängden	$\Rightarrow K_r = 0,040$	$K_i = 0,103$	$K_d = 0,143$
6 *	våglängden	$\Rightarrow K_r = 0,033$	$K_i = 0,084$	$K_d = 0,117$
8 *	våglängden	$\Rightarrow K_r = 0,029$	$K_i = 0,073$	$K_d = 0,102$
10 *	våglängden	$\Rightarrow K_r = 0,026$	$K_i = 0,066$	$K_d = 0,092$

Storleken på reflexionen kan återspeglas genom att sätta en faktor framför K_r till exempel 50 % reflexion ger $0,5 \times K_r$.



$$360 - 2\alpha_i + \alpha = 360 - 2 \cdot 105 + 45 = 195$$

$$\alpha_r = 360 - 195 = 165$$

Figur 30 Bestämning av K_d vid infallsvinkeln α_i

5.4 Jämförelse mellan tabell och diagram.

Resultaten från kapitel 5.2 och 5.3 jämförs i tabell 4

	K _D tabell	K _D diagram	Differans
1x våglängden	0,271	0,27	0,001
2x	0,199	0,20	0,001
4x	0,143	0,15	0,007
6x	0,117	0,12	0,003
8x	0,102	0,105	0,003
10x	0,092	0,09	0,002

Tabell 4 Jämförelse mellan diagram och tabeller.

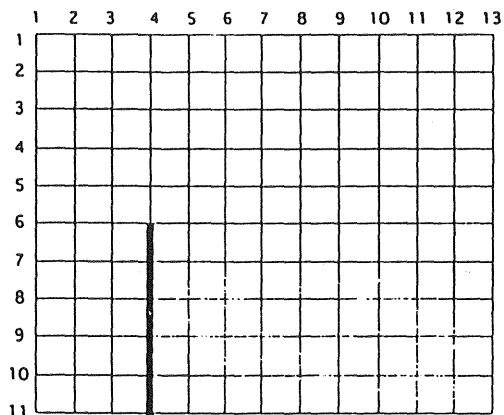
Maximal differans är 5 %. En av anledningarna till differansen är den noggrannhet med vilken man kan läsa av diagrammet, i det aktuella fallet är denna noggrannhet maximalt 0,005.

5.5 Utvärdering.

För att få en uppfattning om giltigheten av de resultat som fås vid diffraktionsberäkningar i Redsea har två vågförlopp mot en vågbrytare simulerats. Resultaten jämförs med tabell i bilaga 3 (Silvester) samt diagram i bilaga 1 (Shore protection manual).

5.6 Testexempel.

För att få ett enkelt och överskådligt exempel att testa Redsea med, har en teoretisk modell med jämn och friktionsfri bottenstruktur skapats. En vågbrytare placeras i modellen enligt figur 31, djupet sätts till 9,0 ft.



Figur 31 Testmodell.

Två olika vågförhållanden testas först med en vågperiod på 1 sekund därefter en vågperiod på 4 sekunder. Med dessa ingångsvärden får indatafilen följande utseende.

Figur 32 Indatafil för modell i figur 30.

Datorberäkningar har utförts på olika infallsvinklar med en multipel på 15 grader. Resultatet från datorkörningarna har bearbetats och ställts upp i tabell se bilaga 4. I tabellen gör jämförelser mellan de av datorn framtagna lösningarna samt lösningar i Silvester (bilaga 3) samt Shore protection manual (bilaga 1).

5.7 Utvärdering av datorlöningen.

Resultaten från de två simulerade vågförhållandena (Vågperioden $T = 1$ s respektive $T = 4$ s) är identiska, därför kommer i fortsättningen endast ett av fallen ($T = 1$) att behandlas. Vid varje vågförhållande har datorn fått utföra beräkningar för dels 0% dels för 100% reflexion vid vågbrytaren.

Den beräknade diffraktionskoefficienten har vid 0% reflexion jämförts med lösning enligt Silvester (A), samt vid 100% reflexion både med Silvester (B1) och Shore protection manual (B2).

A 0% reflexion vid vågbrytaren.

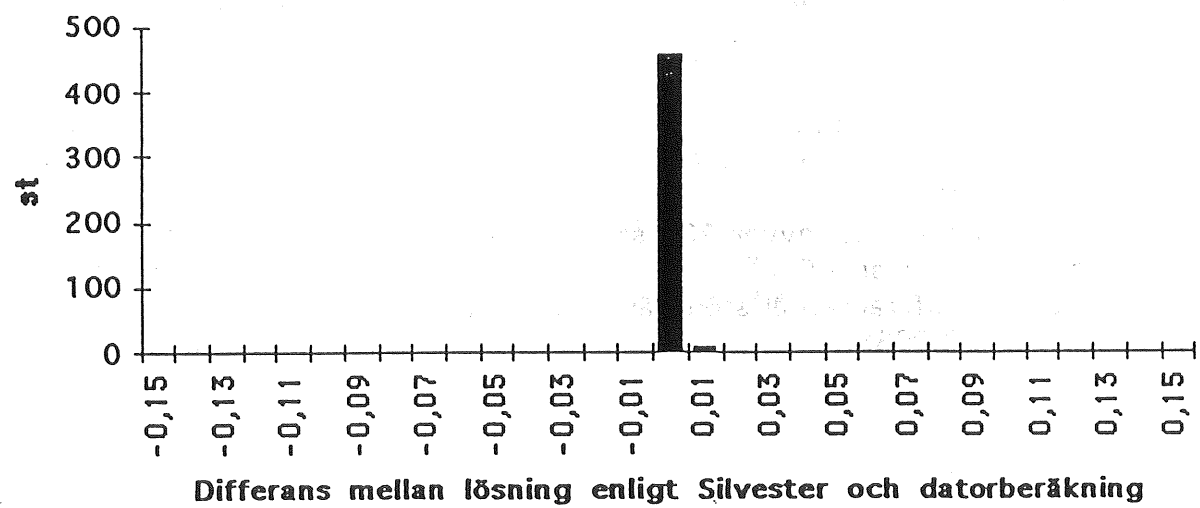
Antal mätpunkter är 468 st.

Antal mätpunkter där resultatet avvek 11 st (2,35%).

Största noterade avvikelse är +0,01.

Antal mätpunkter där differansen är större än 1 är 0 st.

Medelavvikelsen är +0,00024.



B1 100% reflexion vid vågbrytaren.

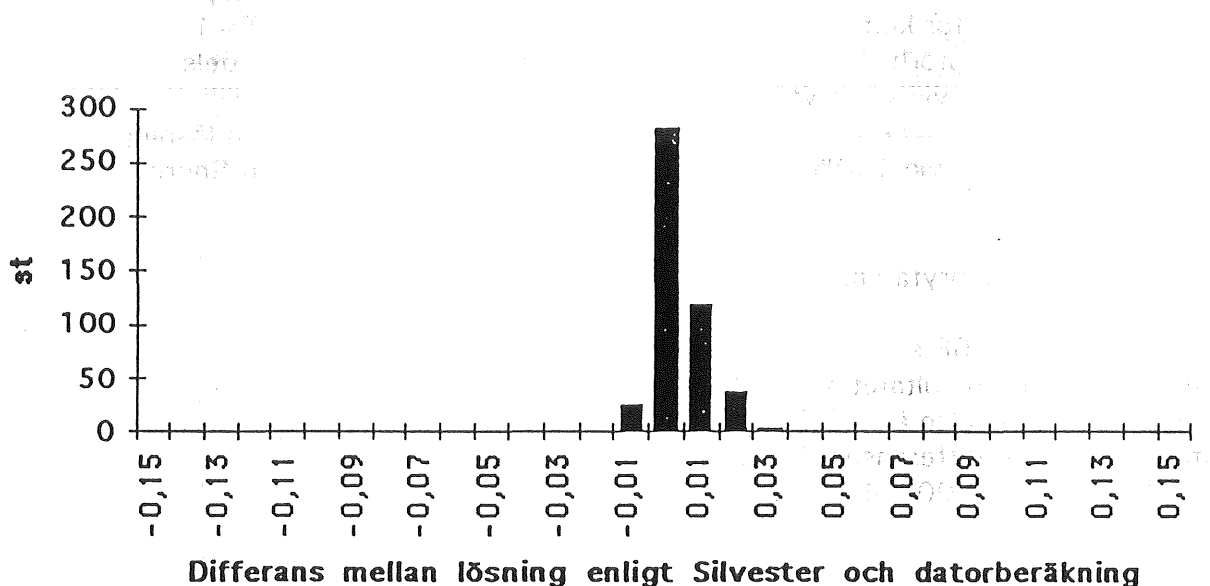
Antal mätpunkter är 468 st.

Antal mätpunkter där resultatet avvek 186 st (39,7%).

Största noterade avvikelse är +0,03.

Antal mätpunkter där differansen är större än 1 är 41 st.

Medelavvikelsen är +0,0049.



B2 100% reflexion vid vågbrytaren!

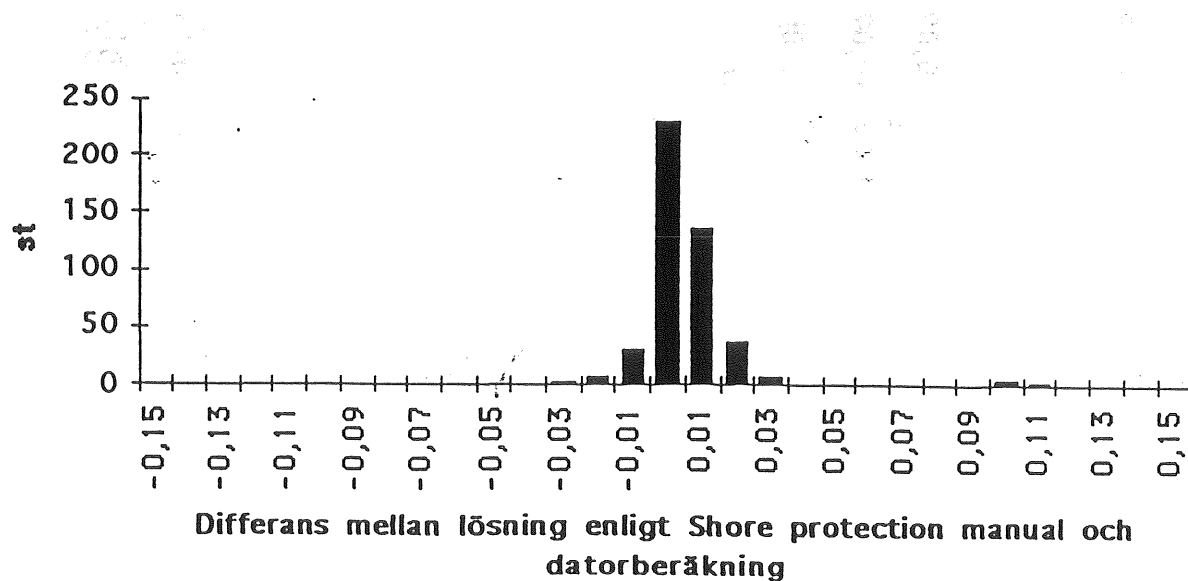
Antal mätpunkter är 468 st.

Antal mätpunkter där resultatet avvek 237 st (50,6%).

Största noterade avvikelse är +0,11.

Antal mätpunkter där differansen är större än 1 är 69 st.

Medelavvikelsen är +0,0085.



5.8 Resultatanalys.

Noggranheten i de tal som representerar K_d varierar mellan de tre mätmedoderna enligt tabell 5.

Metod	antal avläsningsbara decimaler	maximalt avrundningsfel
1 Datorberäkning	2 st	0,005
2 Tabell	3 st	0,0005
3 Diagram	2 st	se not a

Tabell 5 Noggranhet i avläsning vid de olika alternativa metoderna.

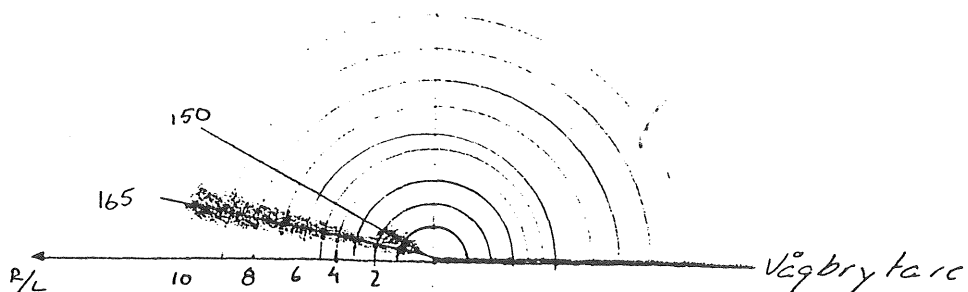
not a.

Möjligheten att läsa av ett korrekt värde varierar beroende på var i diagrammet avläsning sker, maximal noggranhet erhålls då kvoten R/L är maximal samt att området ligger i lä bakom vågbrytaren. Variansen i avläsningsfelen är så stor som från 0,005 till 0,05.

Om man för de tre studierna A, B1 och B2 kan anta att resultaten inom gränserna -0,01 till 0,01 kan härledas till avrundningsfel återstår följande avvikeler

Antal måtpunkter	antal -0,01 till 0,01	Medelavvikelse
A 468 st	468 st (100 %)	0,0
B1 468 st	427 st (91 %)	0,0018
B2 468 st	399 st (85 %)	0,0044

Det är endast vid jämförelse med Shore protection manual som det inom ett begränsat område finns differanser på 0,10-0,11. Dessa fel uppträder för en infallsvinkel på 180 grader enligt figur 33.



Figur 33 Område där stor avvikelse har noterats mellan de olika metoderna.

6.1 Datorprogram som hjälpmittel vid refraktionsberäkningar.

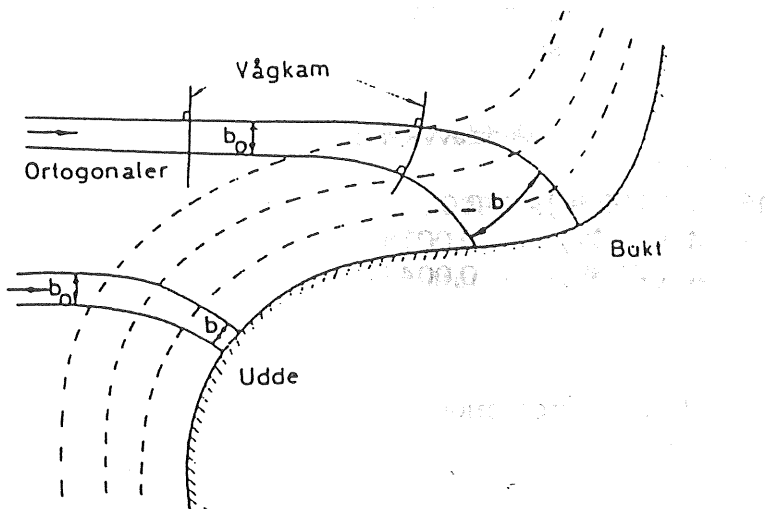
I ansitt 3.6 t om 3.9 beskrivs teorierna bakom refraktionsfenomenet. Följande kapitel kommer att visa hur man med dessa teorier som grund beräknar refraktionen, samt avslutningsvis sker en utvärdering av resultaten från REDSEA och REFRAC.

6.2 Refraktionskoefficienten K_R .

Formel 3.6 kan användas för refraktionsberäkningar då vinkeln mellan bottenkonturen och vågfronten är mindre än 80° .

$$\frac{\sin \alpha}{\sin \alpha_0} = \frac{L}{L_0} = \frac{C_d}{C_0} = \tanh \frac{2\pi d}{L}$$

Avståndet mellan ortogonalerna kommer att variera beroende på vinkeln mellan infallsriktningen och nivålinjerna. Bredden mellan ortogonalerna ökar i en bukt och minskar vid en udde se figur 34.



Figur 34 Variationen mellan ortogonalerna.

Man har tidigare antagit att ingen energi flyttas mellan ortogonalerna.

Den forplantade effekten är med användning av formel 2.14.

$$\overline{E}_0 n_0 C_0 b_0 = \overline{E} n C b$$

Med användande av ovanstående samband i formel 2.18 erhålls följande

$$\frac{H}{H_0} = \sqrt{\frac{n_0 C_0}{n C}} \cdot \sqrt{\frac{b_0}{b}} = \sqrt{\frac{n_0 L_0}{n L}} \cdot \sqrt{\frac{b_0}{b}}$$

uttryckten

$$\sqrt{\frac{n_0 C_0}{n C}}$$

och

$$\sqrt{\frac{b_0}{b}}$$

kallas för uppgrundscoeffient och betecknas med K_G , respektive
refraktionscoeffient K_R .

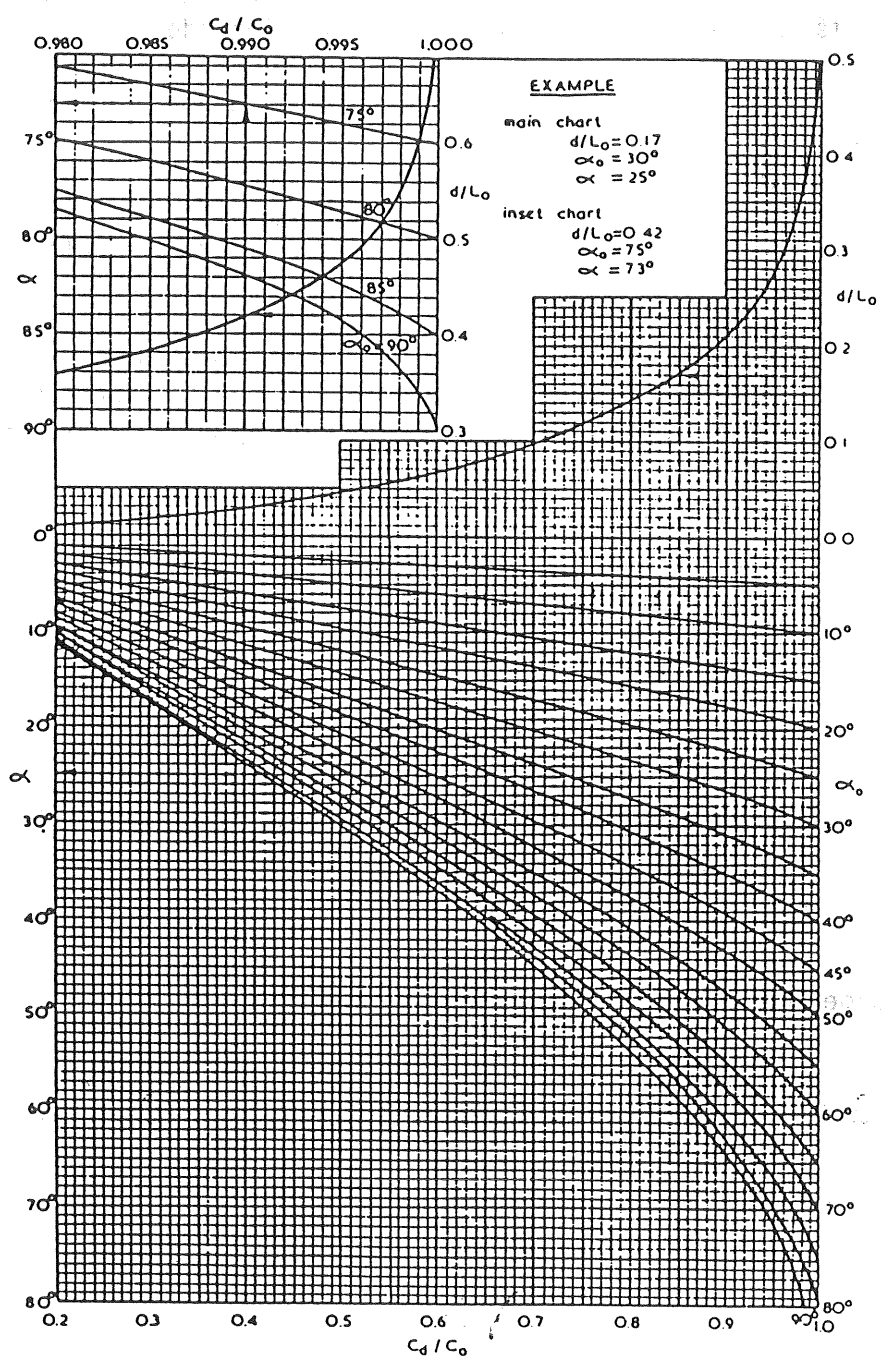
En approximativ beräkning av den signifikanta våghöjden (H_s) på grunt vatten kan göras genom att sätta

$$H_s = K_G \cdot K_R \cdot H_{s_0}$$

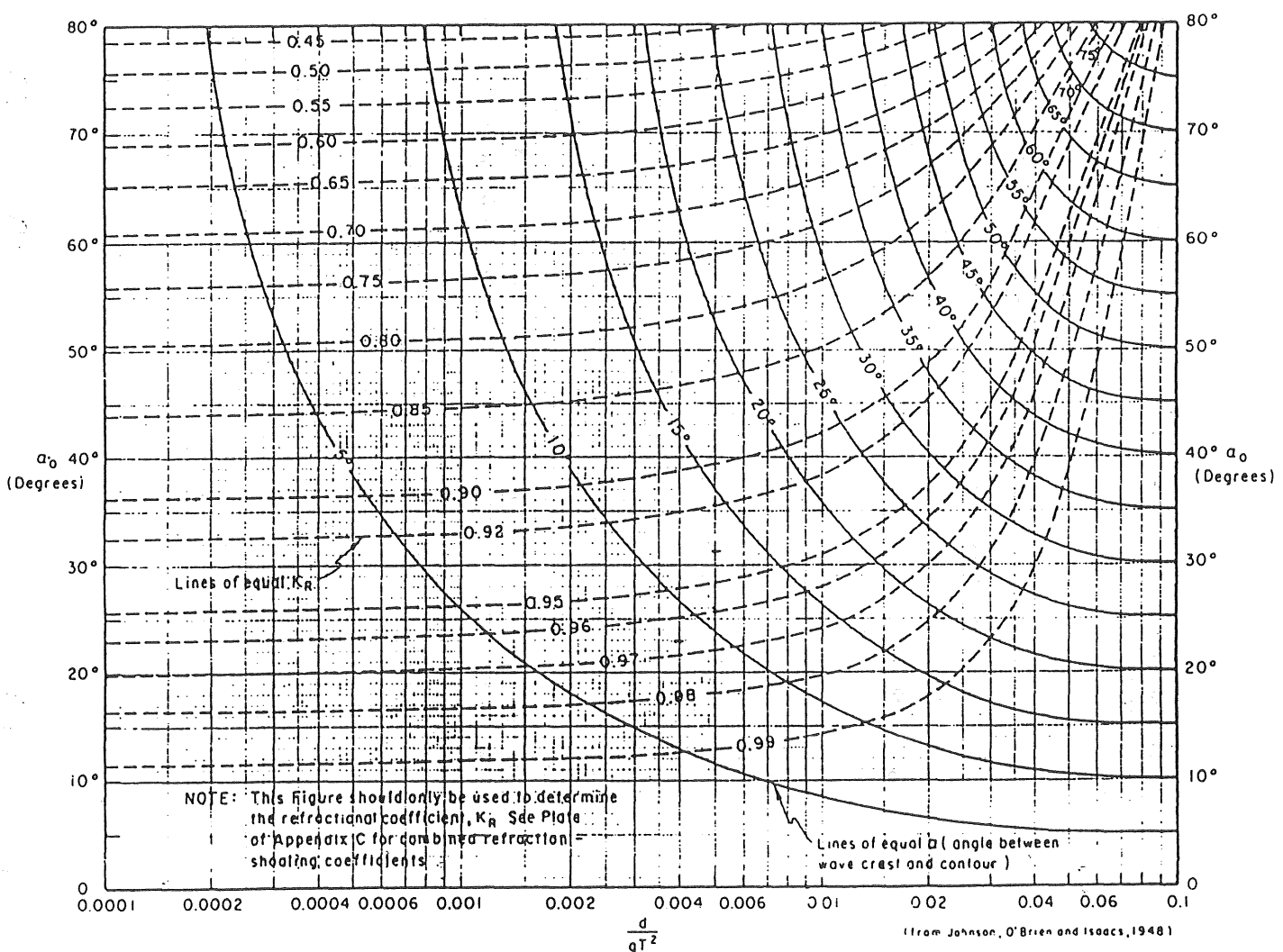
H_{s_0} = signifikanta våghöjden på djupt vatten.

6.3 Lösning av refraktionsproblem.

För parallella nivåkurvor finns diagram framtagna dels i Silvester (1974) se figur 35 dels i Shore protection manual se figur 36, motsvarande hjälpmittel finns även i tabellform se tabell 6 och 7.



Figur 35 Diagram för lösning av refraktionsproblem enligt Silvester



Figur 36 Förflyktningar av våghöjd och vågriktning på grund av diffraktion, enligt Shore protection manual.

Tabell 6 Våghöden i förhållande till djupvattenvågens höjd vid uppgrundande vatten.

Ratio of wave height at specific depth ratio to deep-water height for waves refracting across a uniformly sloped shelf

d/L_o	α_o																		
	0	5	10	15	20	25	30	35	40	45	50	55	60	65	70	75	80	85	
0.005	1.692	1.689	1.680	1.664	1.642	1.614	1.578	1.536	1.486	1.429	1.363	1.307	1.223	1.124	1.013	0.877	0.722	0.504	
0.01	1.439	1.435	1.427	1.413	1.395	1.372	1.342	1.307	1.267	1.218	1.160	1.096	1.026	0.944	0.850	0.740	0.606	0.430	
0.04	1.063	1.062	1.057	1.048	1.038	1.023	1.004	0.980	0.953	0.923	0.883	0.840	0.789	0.753	0.656	0.576	0.473	0.335	
0.06	0.993	0.992	0.987	0.982	0.973	0.959	0.944	0.926	0.903	0.874	0.841	0.801	0.753	0.699	0.633	0.553	0.457	0.326	
0.08	0.953	0.953	0.950	0.946	0.938	0.927	0.919	0.898	0.878	0.852	0.823	0.787	0.742	0.690	0.622	0.548	0.453	0.326	
0.10	0.931	0.931	0.929	0.925	0.918	0.910	0.898	0.883	0.866	0.843	0.816	0.783	0.743	0.693	0.630	0.555	0.459	0.329	
0.15	0.913	0.913	0.912	0.909	0.905	0.898	0.892	0.882	0.869	0.853	0.832	0.805	0.769	0.726	0.669	0.595	0.498	0.353	
0.20	0.917	0.917	0.916	0.913	0.910	0.907	0.901	0.886	0.894	0.873	0.857	0.840	0.813	0.773	0.724	0.650	0.548	0.397	
0.25	0.932	0.932	0.931	0.931	0.929	0.926	0.923	0.918	0.912	0.904	0.894	0.879	0.858	0.829	0.787	0.713	0.620	0.453	
0.30	0.949	0.949	0.949	0.948	0.947	0.945	0.943	0.941	0.937	0.932	0.925	0.915	0.902	0.882	0.850	0.796	0.699	0.524	
0.35	0.964	0.963	0.963	0.963	0.962	0.961	0.960	0.959	0.956	0.954	0.950	0.942	0.934	0.922	0.897	0.855	0.773	0.600	
0.40	0.976	0.976	0.976	0.976	0.975	0.975	0.974	0.974	0.972	0.971	0.968	0.965	0.960	0.951	0.937	0.910	0.846	0.684	
0.45	0.985	0.985	0.985	0.985	0.984	0.984	0.984	0.983	0.982	0.980	0.978	0.975	0.971	0.963	0.945	0.902	0.769		
0.50	0.991	0.991	0.991	0.990	0.990	0.990	0.990	0.990	0.989	0.989	0.988	0.987	0.985	0.983	0.977	0.967	0.940	0.841	

Tabell 7 Vinkel mellan vågkam och bottenkonturen vid parallella nivålinjer.

Angles between wave crest and shoreline for parallel contours

d/L_o	α_o																		
	5	10	15	20	25	30	35	40	45	50	55	60	65	70	75	80	85	90	
0.005	0.88	1.84	2.70	3.59	4.30	5.00	5.84	6.55	7.20	7.80	8.35	8.81	9.25	9.61	10.00	10.10	10.20	10.35	
0.01	1.23	2.45	3.70	4.90	6.00	7.11	8.20	9.20	10.15	10.95	11.74	12.41	12.99	13.50	13.90	14.15	14.25	14.35	
0.04	2.50	4.90	7.21	9.60	11.75	13.99	16.11	18.05	19.89	21.75	23.30	24.75	25.99	27.08	27.90	28.49	28.80	28.95	
0.06	2.89	5.79	8.60	11.40	14.20	16.85	19.42	21.85	24.05	26.30	28.32	30.14	31.25	33.01	34.10	34.81	35.30	35.55	
0.08	3.25	6.50	9.69	12.85	15.95	19.00	21.95	24.75	27.40	29.95	32.30	34.39	36.34	37.91	39.20	40.10	40.65	40.95	
0.10	3.50	7.10	10.55	14.05	17.45	20.75	24.05	27.11	30.15	32.98	35.60	38.00	40.15	41.95	43.45	44.50	45.10	45.40	
0.15	4.00	8.22	12.30	16.21	20.25	24.11	28.00	31.75	35.44	38.91	42.25	45.20	47.90	50.25	52.35	53.76	54.60	55.00	
0.20	4.39	8.90	13.30	17.60	22.10	26.31	30.60	34.80	38.98	42.95	46.61	50.25	53.55	56.45	59.00	60.91	62.22	62.70	
0.25	4.60	9.30	13.95	18.60	23.20	27.79	32.35	36.89	41.21	45.60	49.70	53.86	57.82	61.35	64.20	66.80	68.30	68.82	
0.30	4.77	9.61	14.41	19.20	23.95	28.79	33.55	38.20	42.82	47.45	51.95	56.39	60.70	64.71	68.29	71.35	73.45	74.15	
0.35	4.88	9.75	14.65	19.55	24.45	29.30	34.18	38.95	43.80	48.52	53.30	57.89	62.38	66.80	70.89	74.41	77.05	78.05	
0.40	4.93	9.87	14.80	19.73	24.70	29.60	34.50	39.40	44.30	49.20	54.00	58.80	63.55	68.20	72.70	76.55	79.80	81.15	
0.45	4.97	9.93	14.90	19.89	24.89	29.81	34.72	39.68	44.60	49.55	54.43	59.35	64.20	68.95	73.60	77.97	81.69	83.45	
0.50	4.98	9.96	14.94	19.92	24.90	29.88	34.85	39.82	44.79	49.75	54.70	59.63	64.56	69.42	74.22	78.85	82.97	85.07	

6.4 Utvärdering av datorlösning vid refraktionsberäkning.

För att kontrollera huruvida resultaten som erhålls från REDSEA och REFRAC är användbara har dessa jämförts med motsvarande resultat från figur 35 och 36 samt tabellerna 6 och 7 (Silvester och Shore protection manual).

Jämförelserna mellan resultaten från datorprogrammen och de analytiska lösningarna görs i figur 37 och 38 (riktningsförändring) samt tabell 8 och 9 (våghöjdsförändring) där vågortogonalernas utbredningsriktning och våghöjdsförändring är plottad.

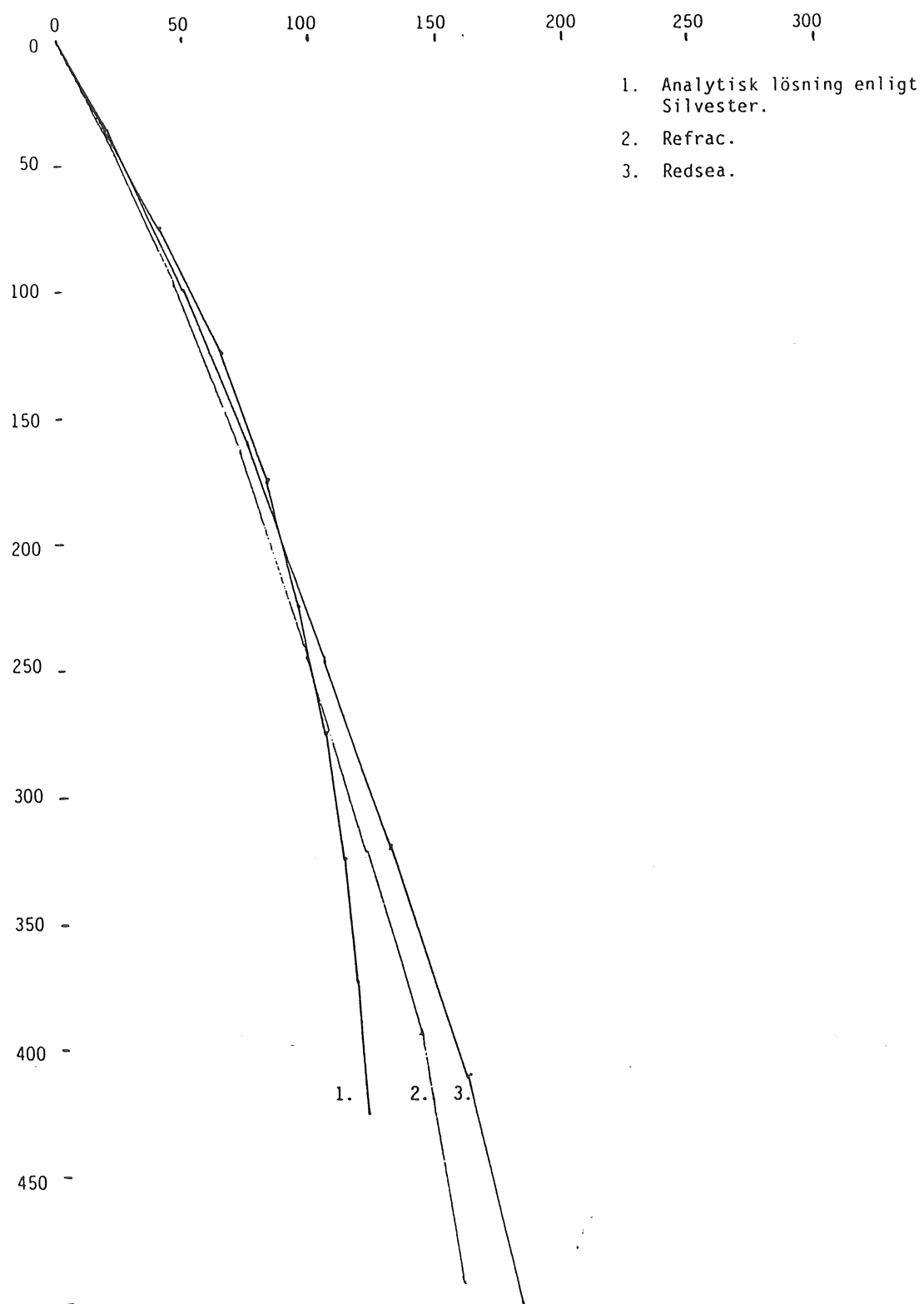
Infallsinkel=60 grader

Djup ft	Våghöjd enl. (i m gånger Djupvattenvågens höjd).	Redsea	Refrac	Silvester
30	0,92	1	0,96	
20	0,98	1	0,97	
15	1	1,1	1,02	
10	1,06	1,2	1,11	
9	1,09	1,2	1,12	
8	1,17	1,2	1,14	
7	1,22	1,3	1,2	
6	1,33	1,4	1,29	
5	1,42	1,5	1,5	

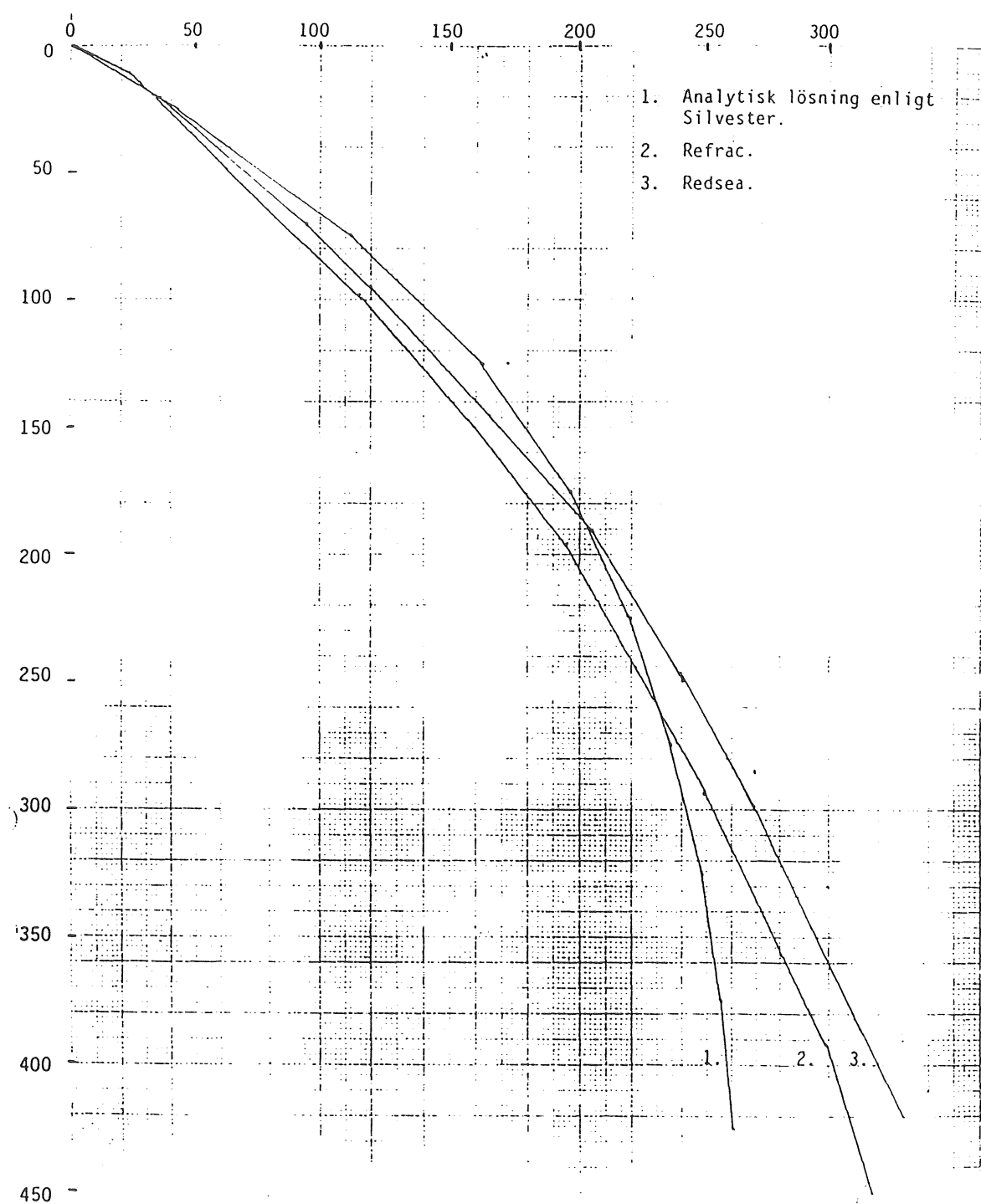
Infallsinkel=30 grader

Djup ft	Våghöjd enl. (i m gånger Djupvattenvågens höjd).	Redsea	Refrac	Silvester
30	0,92	0,8	0,97	
20	0,93	0,8	0,98	
15	0,97	0,9	1,02	
10	1,03	0,9	1,11	
9	1,08	1	1,12	
8	1,13	1	1,14	
7	1,2	1	1,19	
6	1,26	1	1,25	
5	1,34	1,1	1,3	

Tabell 8 och 9 Våghöjdsförändringar vid refraktionsberäkningar.



Figur 37 Ortogonalernas utbredningsriktningar vid 30 graders infallsvinkel.



Figur 38 Ortogonalernas utbredningsriktningar vid 60 graders infallsvinkel.

Resultaten för våghöjden i tabell 8 och 9 visar att lösningen från Redsea och den analytiska lösningen enligt Silvester stämmer väl överens, den största noterade differansen är 7 %.

Lösningen enligt Refrac avviker framförallt vid infallsvinkeln 30 grader vid infallsvinkeln 60 grader är differansen mindre, dock är genom att Refrac bara använder 1 decimal möjligheten att göra en korrektare kontroll små.

Vid plottningen av vågortogonalernas utbredningsriktning i figur 38 och 39 kan man notera att resultaten från Redsea och Refrac ger ungefär likvärdiga kurvor medan en analytisk lösning enligt Silvester ger en kraftigare avböjning.

Referenser.

- Bernader Magnus, Bilton Peter (1984).
Manual för REFRAC
Examensarbete 1984:1
Institutionen för vattenbyggnad vid CTH.
- Herbich, John B. Worthington Henry W. (1970).
A computer program to estimate the combined effect of refraction and diffraction of water waves.
COE report No. 127
Coastal and Ocean Engineering Division. Texas Engineering Experiment station.
- Mattsson Susan (1986).
Datormodeller för vågrefraktion.
Examensarbete 1986:1
Institutionen för vattenbyggnad vid CTH.
- Silvester R. (1974).
Coastal Engineering 1.
Elsevier Scientific Publishing Company, New York.
- Sjöberg Anders (1983).
Vindvågor.
Undervisningsskrift 1983:3.
Institutionen för vattenbyggnad vid CTH.
- Sjöberg Anders (1987).
Vindvågor.
Undervisningsskrift 1987:3
Institutionen för vattenbyggand vid CTH.
- U.S. Army, Corps of Engineering (1977).
Shore Protection Manual Volume 1.
U.S. Army Coastal Engineering Research Center. Kingman Building, Fort Belvoir Virginia 22060.

2-78

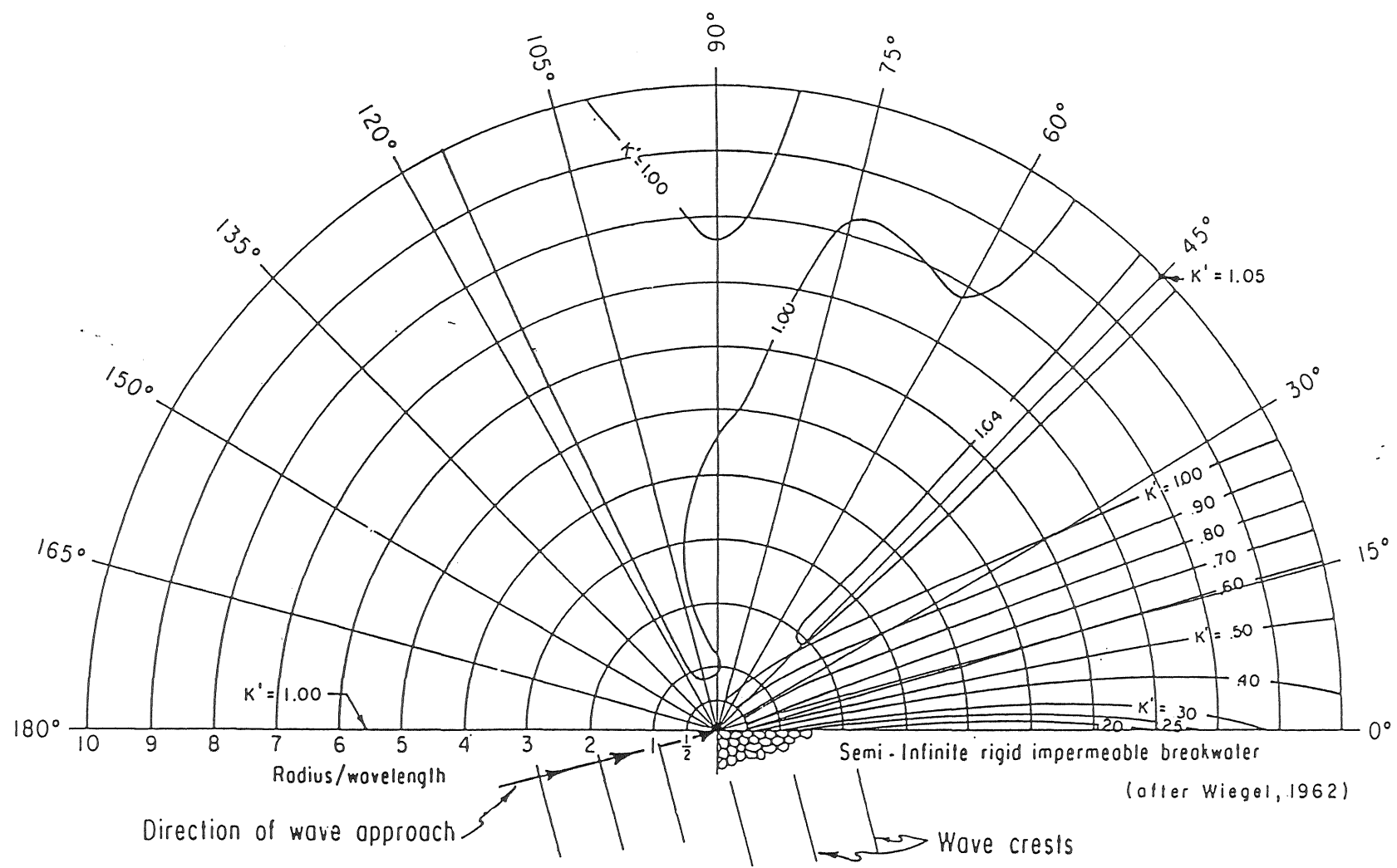


Figure 2-28. Wave diffraction diagram--15° wave angle.

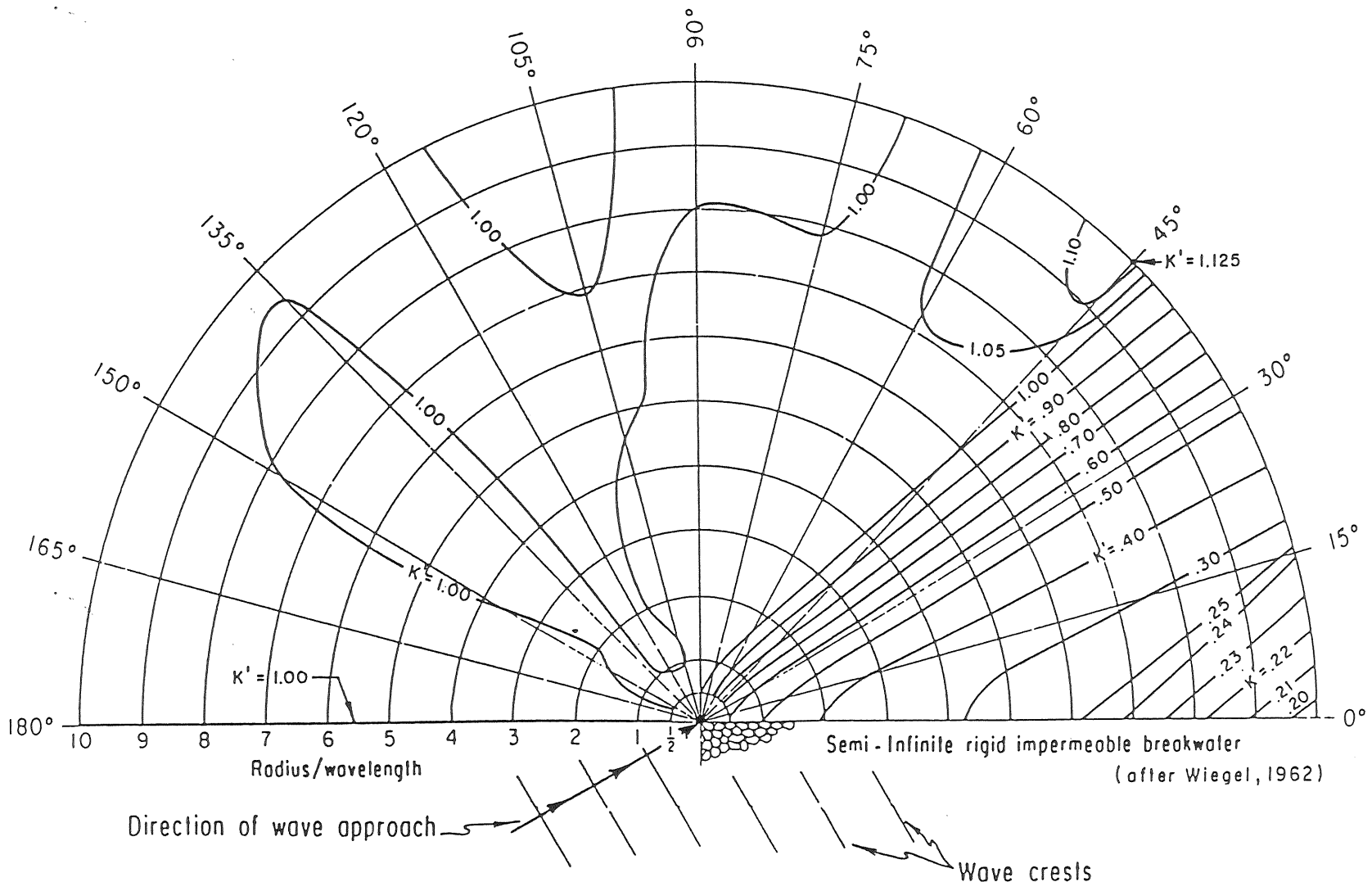


Figure 2-29. Wave diffraction diagram-- 30° wave angle.

2-80

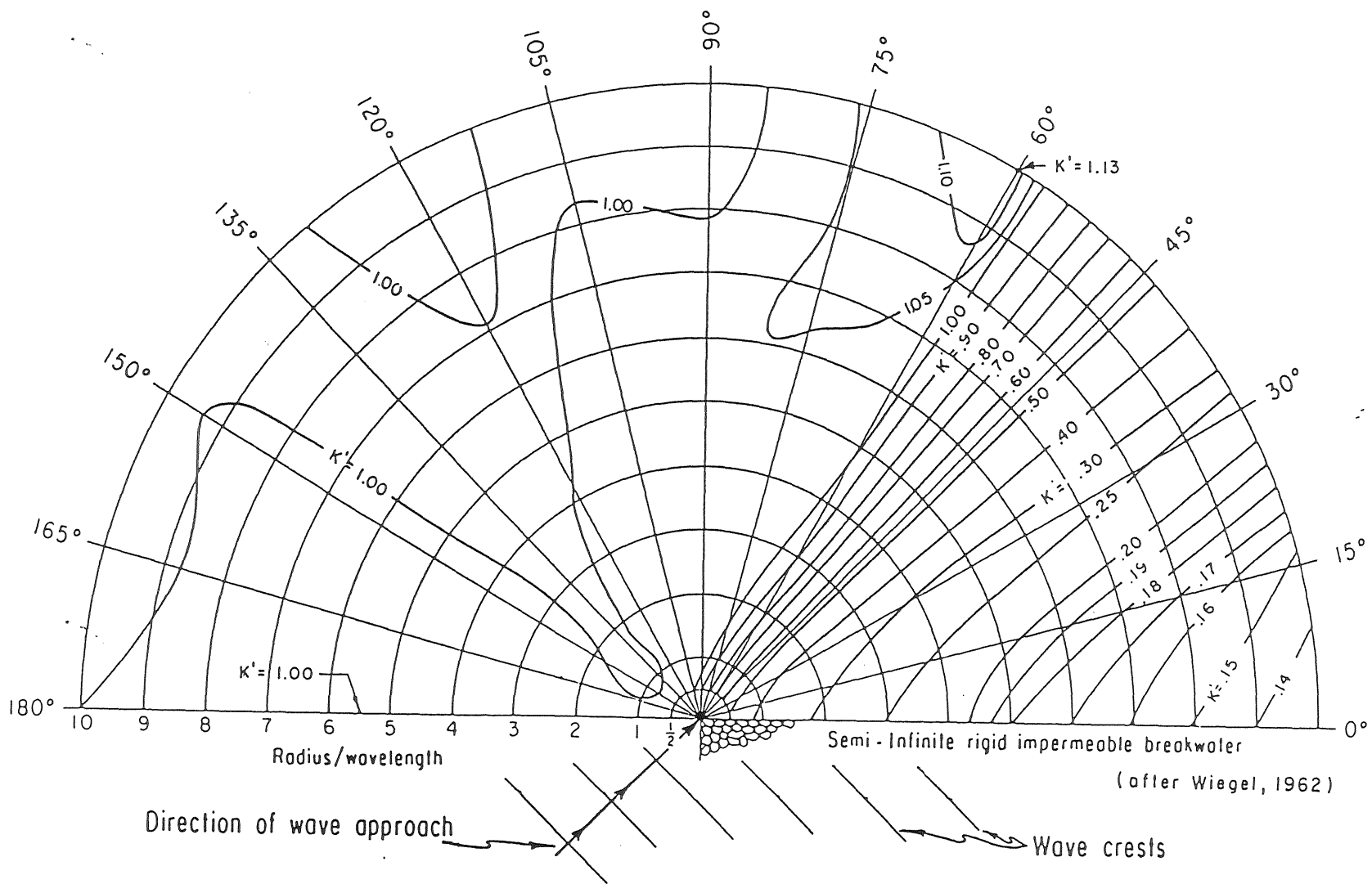


Figure 2-30. Wave diffraction diagram--45° wave angle.

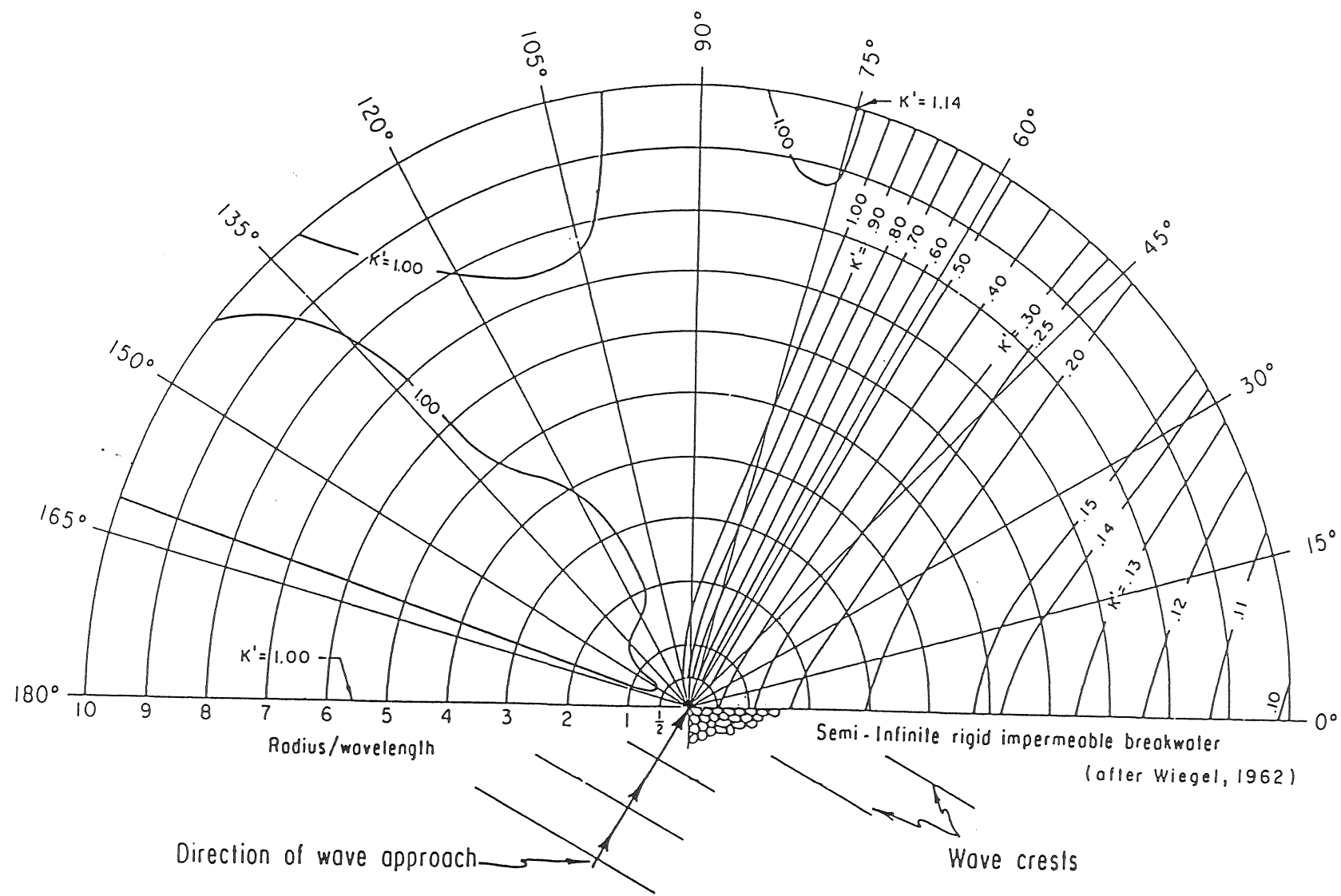


Figure 2-31. Wave diffraction diagram--60° wave angle.

2-82

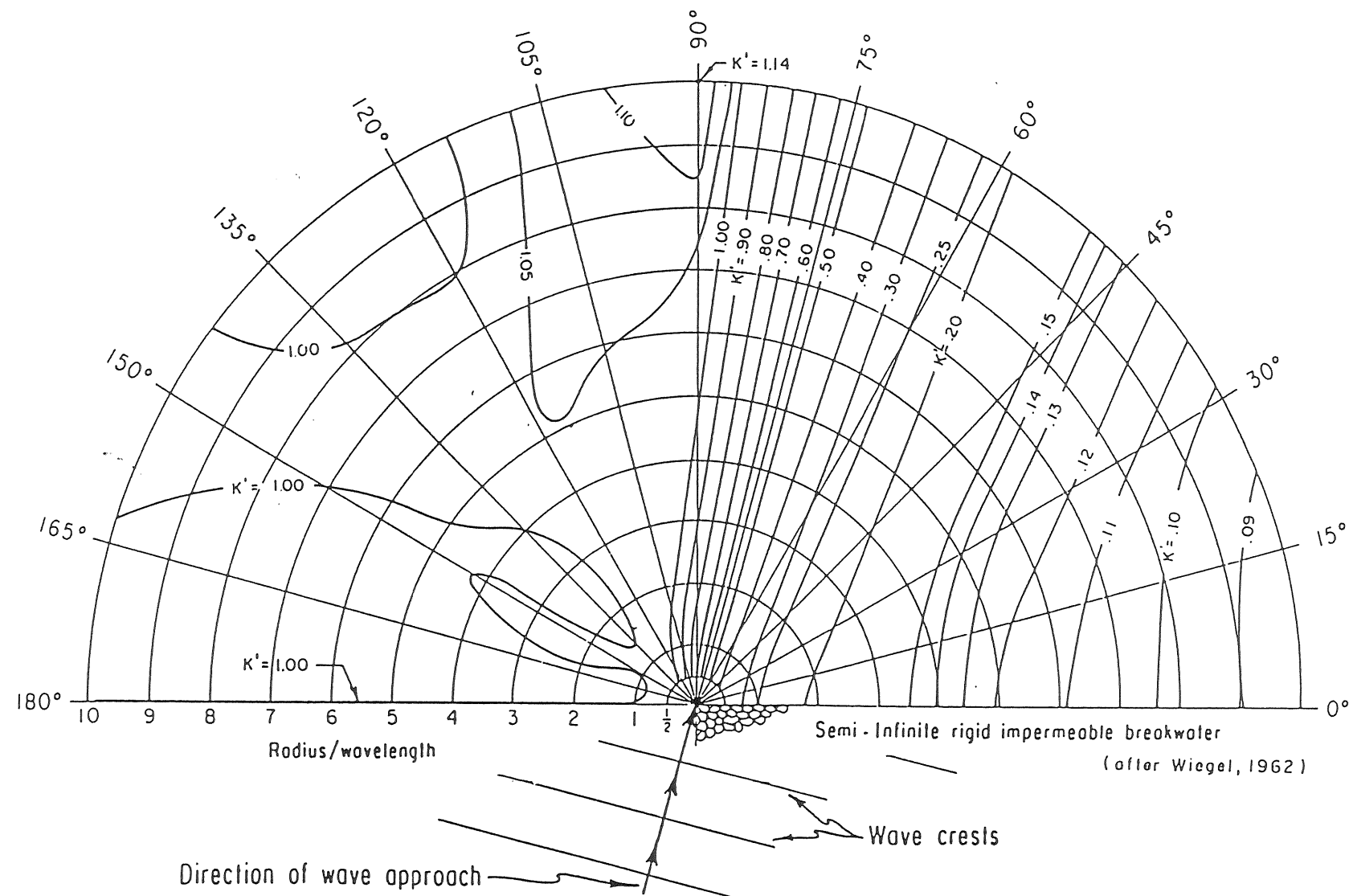


figure 2-27. Wave diffraction diagram--75° wave angle

2-83

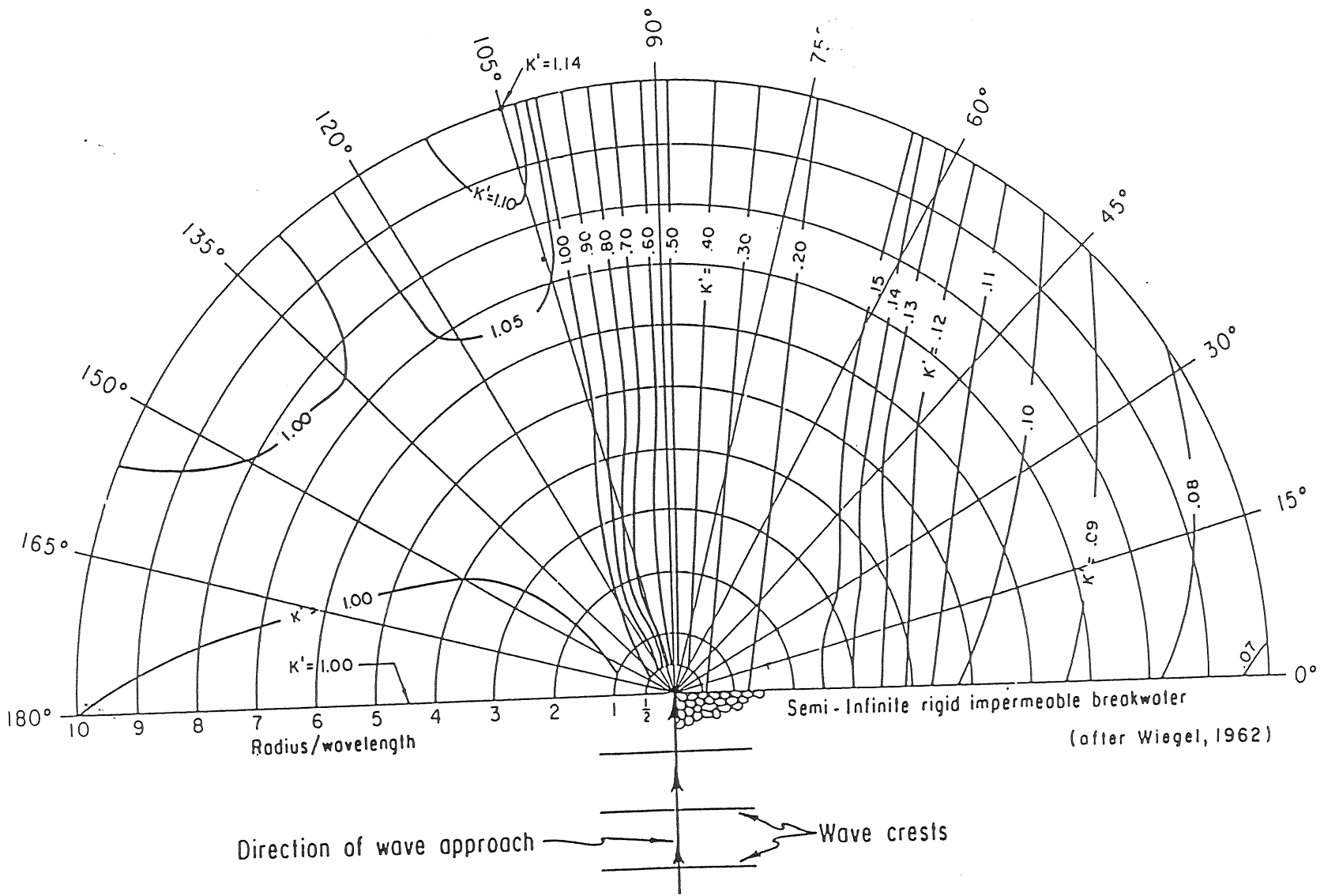


Figure 2-33. Wave diffraction diagram--90° wave angle.

2-84

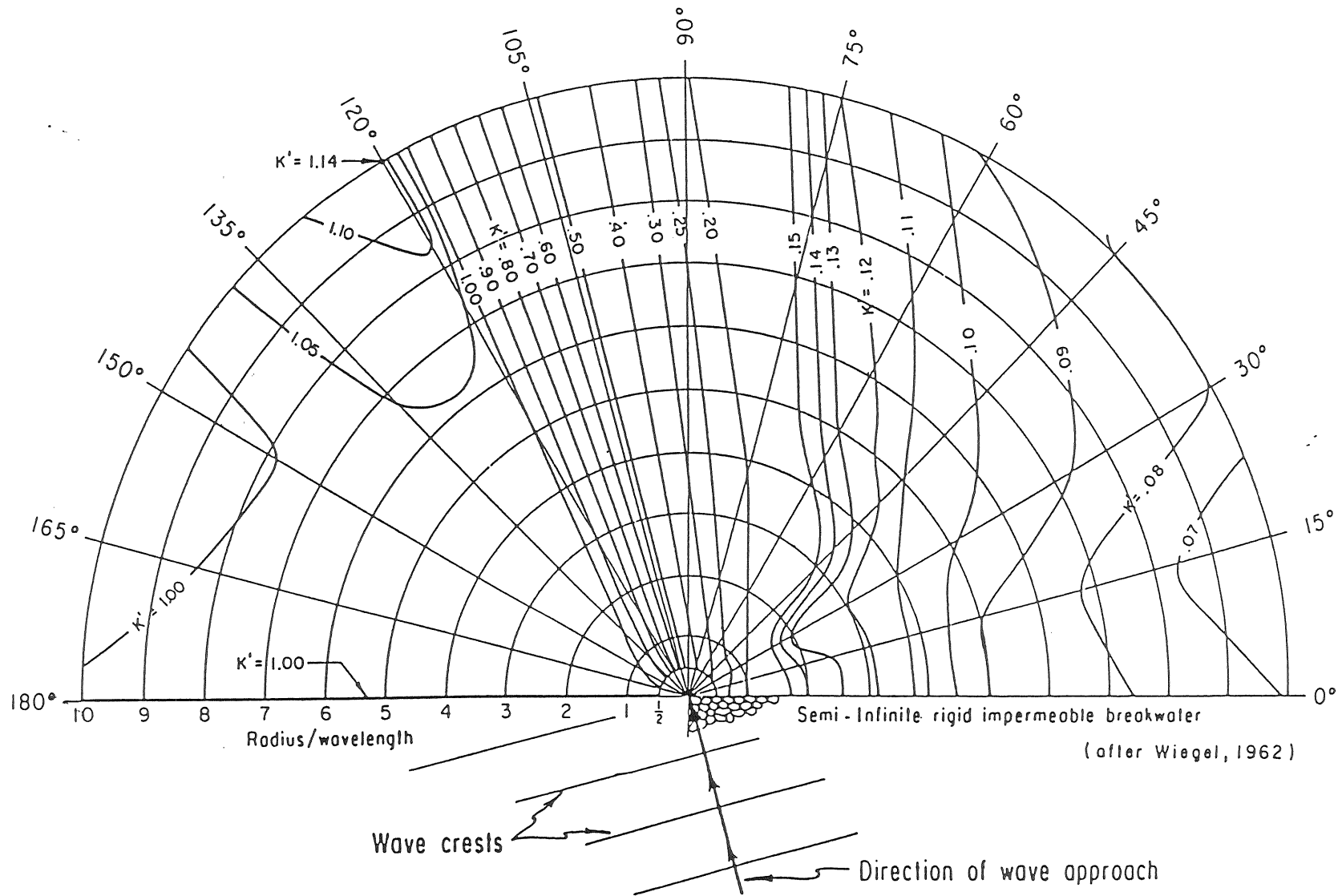


Figure 2-34. Wave diffraction diagram--105° wave angle.

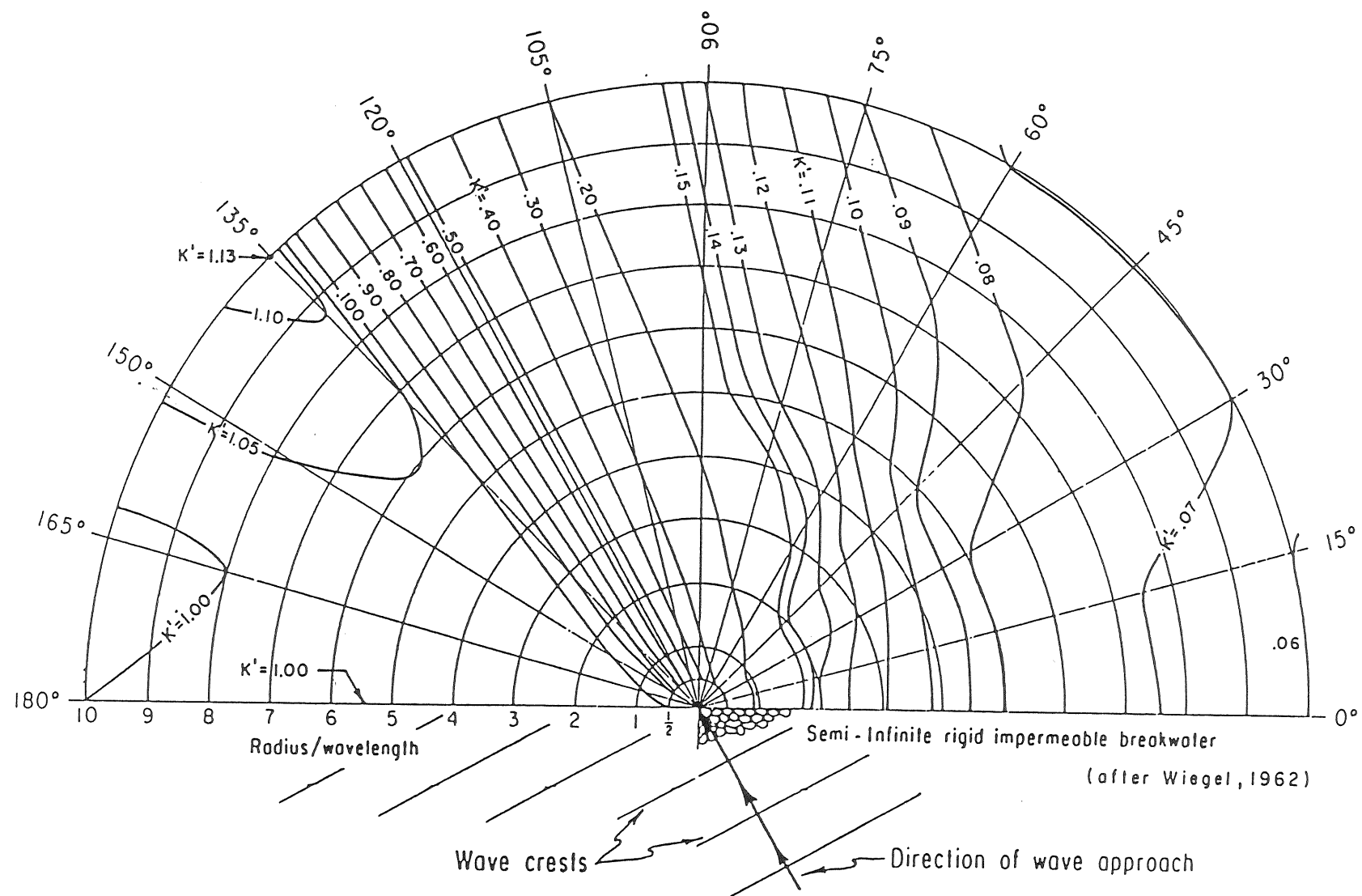


Figure 2-35. Wave diffraction diagram--120° wave angle.

2-86

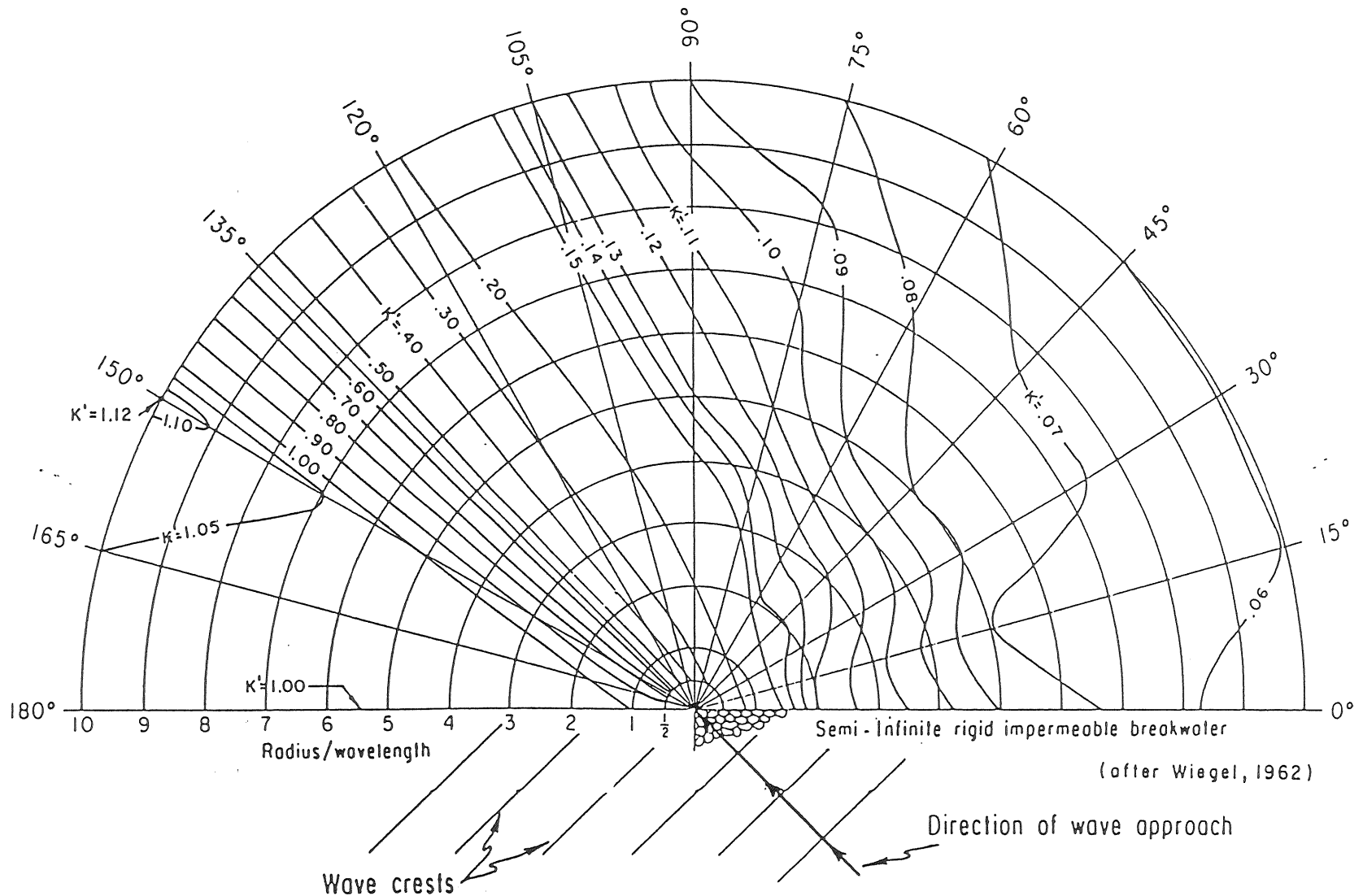


Figure 2-36. Wave diffraction diagram--135° wave angle.

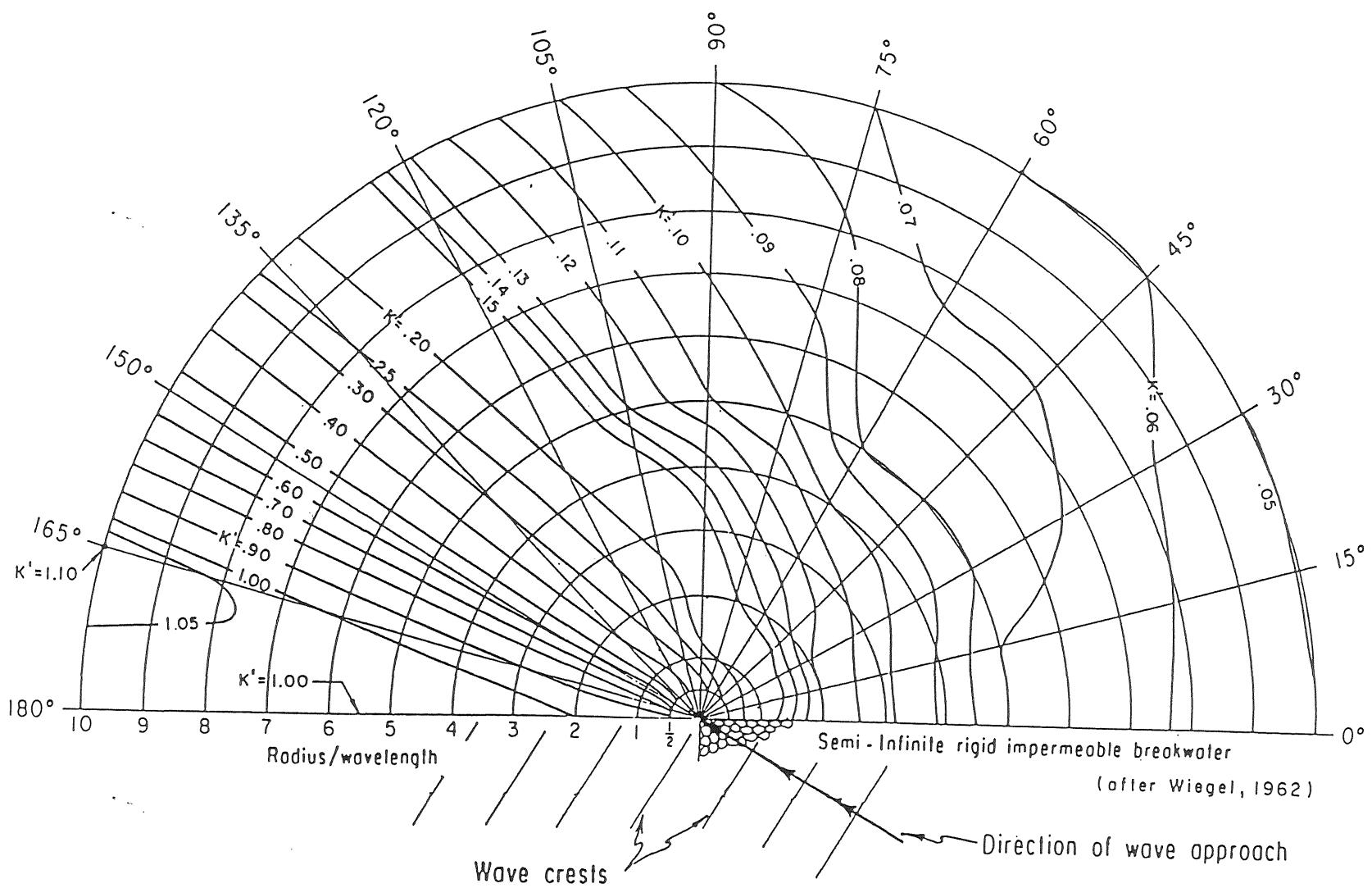


Figure 2-37. Wave diffraction diagram-- 150° wave angle.

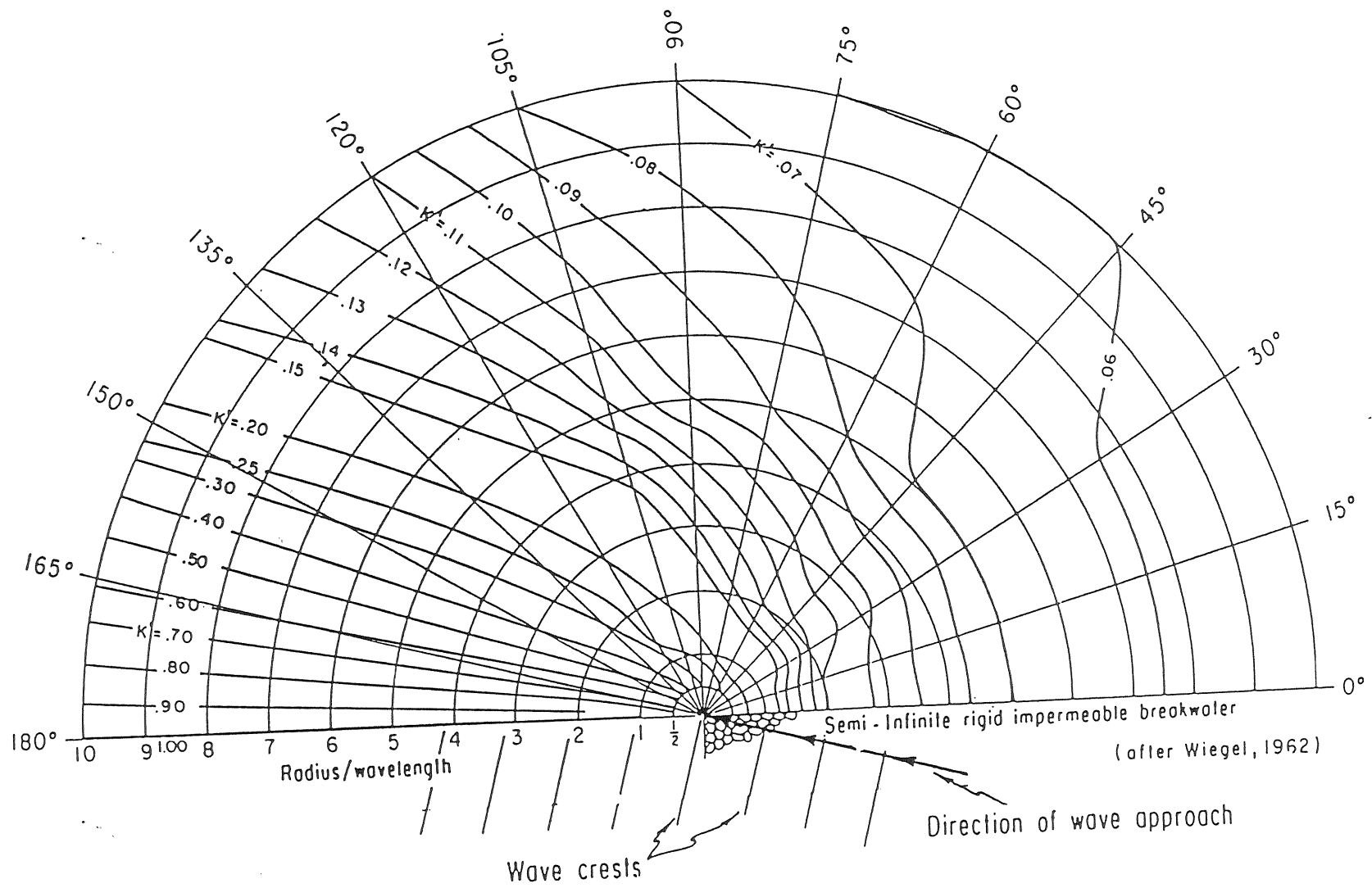


Figure 2-38. Wave diffraction diagram-- 165° wave angle.

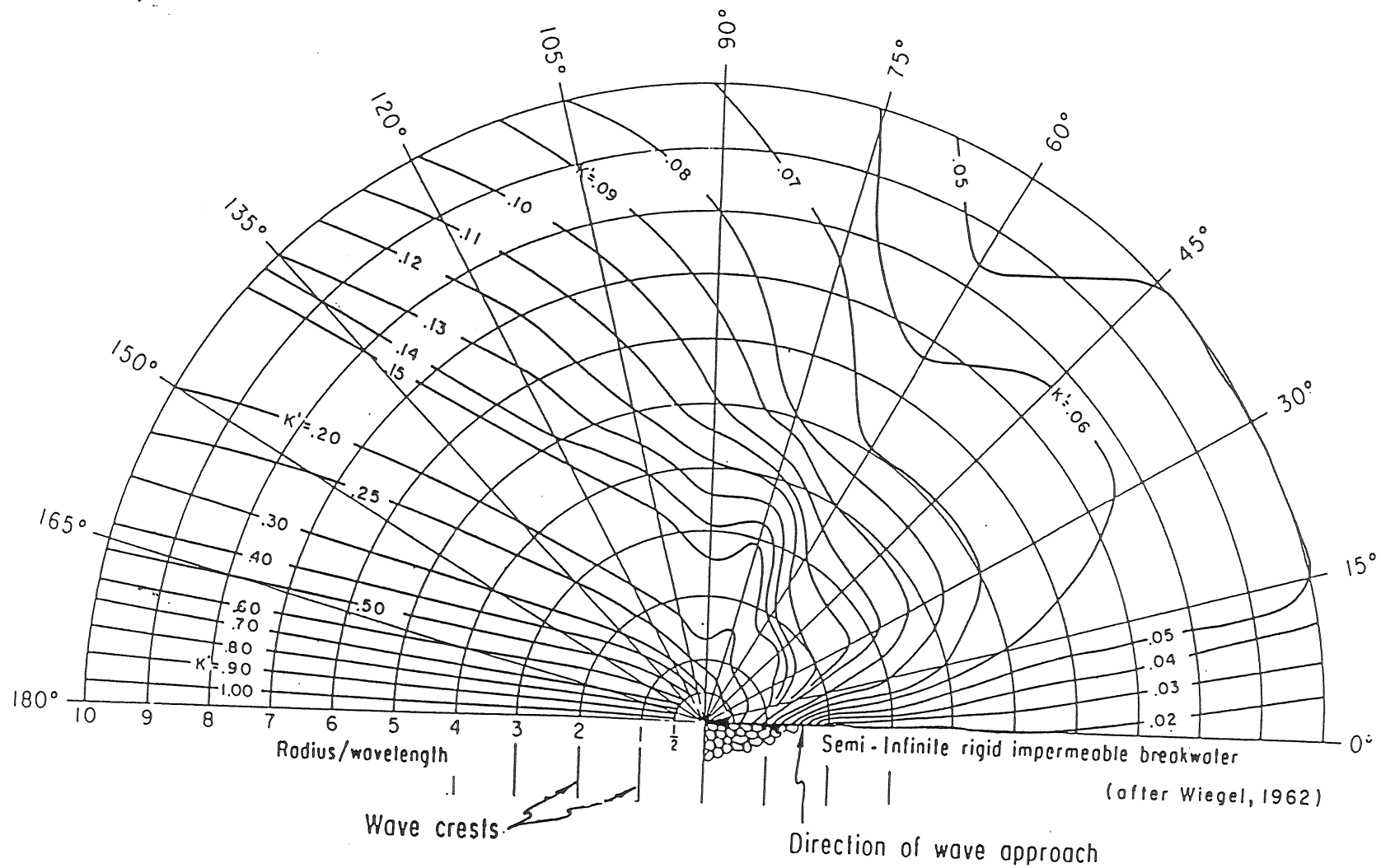


Figure 2-39. Wave diffraction diagram-- 180° wave angle.

GUIDE FOR USE OF TABLES C-1 AND C-2

$\frac{d}{L_o}$ = ratio of the depth of water at any specific location to the wave length in deep water.

$\frac{d}{L}$ = ratio of the depth of water at any specific location to the wave length at that same location.

$\frac{H}{H'_o}$ = ratio of the wave height in shallow water to what its wave height would have been in deep water if unaffected by refraction.

$$\frac{H}{H'_o} = \sqrt{\frac{1}{2} \cdot \frac{1}{n} \cdot \frac{1}{C/C_o}} = K_s \text{ (shoaling coefficient)}$$

K = a pressure response factor used in connection with underwater pressure instruments, where

$$K = \frac{H'}{H} = \frac{P}{P_o} = \frac{\cosh [2\pi d/L (1 + z/d)]}{\cosh (2\pi d/L)} \text{ or } \frac{\cosh [2\pi (d + z)/L]}{\cosh (2\pi d/L)}$$

where P is the pressure fluctuation at a depth z measured negatively below stillwater, P_o is the surface pressure fluctuation, d is the depth of water from stillwater level to the ocean bottom, L is the wavelength in any particular depth of water, and H is the corresponding variation of head at a depth z. The values of K shown in the tables are for the instrument placed on the bottom using the equation when $z = -d$.

$$K = \frac{1}{\cosh (2\pi d/L)} \text{ values tabulated in column 8}$$

n = the fraction of wave energy that travels forward with the wave form: i.e., with the wave velocity C rather than the group velocity C_G .

$$n = \frac{1}{2} \left[1 + \frac{4\pi d/L}{\sinh (4\pi d/L)} \right] = \frac{C_G}{C}$$

Guide for Use of Tables C-1 and C-2 -- Continued

n is also the ratio of group velocity C_G to wave velocity C .

$\frac{C_G}{C_o}$ = ratio of group velocity to deepwater wave velocity where

$$\frac{C_G}{C_o} = \frac{C_G}{C} \times \frac{C}{C_o} = n \tanh \left(\frac{2\pi d}{L} \right)$$

M = an energy coefficient defined as

$$\frac{\pi^2}{2 \tanh^2 \left(\frac{2\pi d}{L} \right)}$$

Table C-1. Functions of d/L_o for Even Increments of d/L_o . (from 0.0001 to 1.000)

d/L_o	d/L	$2\pi d/L$	$\tan h$ $2\pi d/L$	\sinh $2\pi d/L$	$\cos r$ $2\pi d/L$	H/H_o	K	$4\pi d/L$	\sinh $4\pi d/L$	$\cos \theta$ $4\pi d/L$	n	C_C/C_o	M
0	0	0	0	0	1	∞	1	0	0	1	1	0	∞
.0001000	.003990	.02507	.02506	.02507	1.0003	4.467	.9997	.05011	.05016	1.001	.9998	.02506	7.855
.0002000	.005643	.03516	.03514	.03517	1.0006	3.757	.9994	.07091	.07097	1.003	.9996	.03513	3.928
.0003000	.006912	.04343	.04340	.04344	1.0009	3.395	.9991	.08686	.08697	1.004	.9994	.04336	2.620
.0004000	.007982	.05015	.05011	.05018	1.0013	3.160	.9987	.1003	.1005	1.005	.9992	.05007	1.965
.0005000	.008925	.05608	.05602	.05611	1.0016	2.989	.9984	.1122	.1124	1.006	.9990	.05596	1.572
.0006000	.009778	.06144	.06136	.06148	1.0019	2.856	.9981	.1229	.1232	1.008	.9988	.06128	1.311
.0007000	.01056	.06637	.06627	.06642	1.0022	2.749	.9978	.1327	.1331	1.009	.9985	.06617	1.124
.0008000	.01129	.07096	.07084	.07102	1.0025	2.659	.9975	.1419	.1424	1.010	.9983	.07072	9.535
.0009000	.01198	.07527	.07513	.07534	1.0028	2.582	.9972	.1505	.1511	1.011	.9981	.07499	874.3
.0010000	.01263	.07935	.07918	.07943	1.0032	2.515	.9969	.1587	.1594	1.013	.9979	.07902	787.0
.0011000	.01325	.08323	.08304	.08333	1.0035	2.456	.9965	.1665	.1672	1.014	.9977	.08285	715.6
.0012000	.01384	.08694	.08672	.08705	1.0038	2.404	.9962	.1739	.1748	1.015	.9975	.08651	656.1
.0013000	.01440	.09050	.09026	.09063	1.0041	2.357	.9959	.1810	.1820	1.016	.9973	.09001	605.8
.0014000	.01495	.09393	.09365	.09407	1.0044	2.314	.9956	.1879	.1890	1.018	.9971	.09338	562.6
.0015000	.01548	.09723	.09693	.09739	1.0047	2.275	.9953	.1945	.1957	1.019	.9969	.09663	525
.0016000	.01598	.1004	.1001	.1006	1.0051	2.239	.9949	.2009	.2022	1.020	.9967	.09977	493
.0017000	.01648	.1035	.1032	.1037	1.0054	2.205	.9946	.2071	.2086	1.022	.9965	.1028	463
.0018000	.01696	.1066	.1062	.1068	1.0057	2.174	.9943	.2131	.2147	1.023	.9962	.1058	438
.0019000	.01743	.1095	.1091	.1097	1.0060	2.145	.9940	.2190	.2207	1.024	.9960	.1087	415
.0020000	.01788	.1123	.1119	.1125	1.0063	2.119	.9937	.2247	.2266	1.025	.9958	.1114	394
.0021000	.01832	.1151	.1146	.1154	1.0066	2.094	.9934	.2303	.2323	1.027	.9956	.1141	376
.0022000	.01876	.1178	.1173	.1181	1.0069	2.070	.9931	.2357	.2379	1.028	.9954	.1161	359
.0023000	.01918	.1205	.1199	.1208	1.0073	2.047	.9928	.2410	.2433	1.029	.9952	.1193	343
.0024000	.01959	.1231	.1225	.1234	1.0076	2.025	.9925	.2462	.2487	1.031	.9950	.1219	329
.0025000	.02000	.1257	.1250	.1260	1.0079	2.005	.9922	.2513	.2540	1.032	.9948	.1243	316
.0026000	.02040	.1282	.1275	.1285	1.0082	1.986	.9919	.2563	.2592	1.033	.9946	.1268	304
.0027000	.02079	.1306	.1299	.1310	1.0085	1.957	.9916	.2612	.2642	1.034	.9944	.1292	292
.0028000	.02117	.1330	.1323	.1334	1.0089	1.950	.9912	.2661	.2692	1.036	.9942	.1315	282
.0029000	.02155	.1354	.1346	.1358	1.0092	1.933	.9909	.2708	.2741	1.037	.9939	.1338	272
.0030000	.02192	.1377	.1369	.1382	1.0095	1.917	.9906	.2755	.2790	1.038	.9937	.1360	263
.0031000	.02228	.1400	.1391	.1405	1.0098	1.902	.9903	.2800	.2837	1.040	.9935	.1382	255
.0032000	.02264	.1423	.1413	.1427	1.0101	1.887	.9900	.2845	.2884	1.041	.9933	.1404	247
.0033000	.02300	.1445	.1435	.1449	1.0104	1.873	.9897	.2890	.2930	1.042	.9931	.1425	240
.0034000	.02335	.1467	.1456	.1472	1.0108	1.860	.9893	.2934	.2976	1.043	.9929	.1446	233
.0035000	.02369	.1488	.1477	.1494	1.0111	1.847	.9690	.2977	.3021	1.045	.9927	.1466	226
.0036000	.02403	.1510	.1498	.1515	1.0114	1.831	.9887	.3020	.3065	1.046	.9925	.1487	220
.0037000	.02436	.1531	.1519	.1537	1.0117	1.822	.9884	.3061	.3109	1.047	.9923	.1507	214
.0038000	.02469	.1551	.1539	.1558	1.0121	1.810	.9881	.3103	.3153	1.049	.9921	.1527	208
.0039000	.02502	.1572	.1559	.1579	1.0124	1.799	.9878	.3144	.3196	1.050	.9919	.1546	203
.0040000	.02534	.1592	.1579	.1599	1.0127	1.788	.9875	.3184	.3238	1.051	.9917	.1565	198
.0041000	.02566	.1612	.1598	.1619	1.0130	1.777	.9872	.3224	.3280	1.052	.9915	.1584	193
.0042000	.02597	.1632	.1617	.1639	1.0133	1.767	.9869	.3263	.3322	1.054	.9912	.1602	189
.0043000	.02628	.1651	.1636	.1659	1.0137	1.756	.9865	.3302	.3362	1.055	.9910	.1621	184
.0044000	.02659	.1671	.1655	.1678	1.0140	1.746	.9862	.3341	.3403	1.056	.9908	.1640	180
.0045000	.02689	.1690	.1674	.1698	1.0143	1.737	.9859	.3380	.3444	1.058	.9906	.1658	176
.0046000	.02719	.1708	.1692	.1717	1.0146	1.727	.9856	.3417	.3483	1.059	.9904	.1676	172
.0047000	.02749	.1727	.1710	.1736	1.0149	1.718	.9853	.3454	.3523	1.060	.9902	.1693	169
.0048000	.02778	.1745	.1728	.1754	1.0153	1.709	.9849	.3491	.3562	1.062	.9900	.1711	165
.0049000	.02807	.1764	.1746	.1773	1.0156	1.701	.9846	.3527	.3601	1.063	.9898	.1728	162
.0050000	.02836	.1782	.1764	.1791	1.0159	1.692	.9843	.3564	.3640	1.064	.9896	.1746	159
.0051000	.02864	.1800	.1781	.1809	1.0162	1.684	.9840	.3599	.3678	1.066	.9894	.1762	156
.0052000	.02893	.1818	.1798	.1827	1.0166	1.676	.9837	.3635	.3715	1.067	.9892	.1779	153
.0053000	.02921	.1835	.1815	.1845	1.0169	1.669	.9834	.3670	.3753	1.068	.9889	.1795	150
.0054000	.02948	.1852	.1832	.1863	1.0172	1.662	.9831	.3705	.3790	1.069	.9887	.1811	147
.0055000	.02976	.1870	.1848	.1880	1.0175	1.654	.9828	.3739	.3827	1.071	.9885	.1827	145
.0056000	.03003	.1887	.1865	.1898	1.0178	1.647	.9825	.3774	.3864	1.072	.9883	.1843	142
.0057000	.03030	.1904	.1881	.1915	1.0182	1.640	.9822	.3808	.3900	1.073	.9881	.1859	140
.0058000	.03057	.1921	.1897	.1932	1.0185	1.633	.9818	.3841	.3937	1.075	.9879	.1874	137
.0059000	.03083	.1937	.1913	.1949	1.0188	1.626	.9815	.3875	.3972	1.076	.9877	.1890	135

Also: b_3/a_6 , C/C_o , L/L_o

Table C - 1 Continued

d/L_o	d/L	$2\pi d/L$	$\text{TANH } \frac{2\pi d}{L}$	$\text{SINH } \frac{2\pi d}{L}$	$\text{COSH } \frac{2\pi d}{L}$	H/H_o	K	$4\pi d/L$	$\text{SINH } \frac{4\pi d}{L}$	$\text{COSH } \frac{4\pi d}{L}$	n	C_C/C_o	μ
.005000	.03110	.1954	.1929	.1967	1.0192	1.620	.9812	.3078	.1706	1.077	.9875	.1925	133
.006100	.03136	.1970	.1945	.1983	1.0195	1.614	.9809	.3041	.1644	1.079	.9873	.1920	130
.006200	.03162	.1987	.1961	.2000	1.0198	1.607	.9806	.3073	.1679	1.080	.9871	.1935	128
.006300	.03188	.2003	.1976	.2016	1.0201	1.601	.9803	.1506	.1144	1.081	.9869	.1955	126
.006400	.03213	.2019	.1992	.2033	1.0205	1.595	.9799	.1038	.1148	1.083	.9867	.1965	124
.006500	.03238	.2035	.2007	.2049	1.0208	1.589	.9795	.1570	.1183	1.084	.9865	.1980	123
.006600	.03264	.2051	.2022	.2065	1.0211	1.583	.9793	.1101	.4217	1.085	.9863	.1994	121
.006700	.03289	.2066	.2037	.2081	1.0214	1.578	.9790	.1133	.4251	1.087	.9860	.2009	119
.006800	.03313	.2082	.2052	.2097	1.0217	1.572	.9787	.1164	.4285	1.088	.9858	.2023	117
.006900	.03338	.2097	.2067	.2113	1.0221	1.567	.9784	.1195	.4319	1.089	.9856	.2037	116
.007000	.03362	.2113	.2082	.2128	1.0224	1.561	.9781	.1225	.4352	1.091	.9854	.2051	114
.007100	.03387	.2128	.2096	.2144	1.0227	1.556	.9778	.1256	.4386	1.092	.9852	.2065	112
.007200	.03411	.2143	.2111	.2160	1.0231	1.551	.9774	.1286	.4419	1.093	.9850	.2079	111
.007300	.03435	.2158	.2125	.2175	1.0234	1.545	.9771	.1316	.4452	1.095	.9848	.2093	109
.007400	.03459	.2173	.2139	.2190	1.0237	1.541	.9768	.1346	.4484	1.096	.9846	.2106	108
.007500	.03482	.2188	.2154	.2205	1.0240	1.535	.9765	.1376	.4517	1.097	.9844	.2120	106
.007600	.03506	.2203	.2168	.2221	1.0244	1.531	.9762	.1406	.4549	1.099	.9842	.2134	105
.007700	.03529	.2218	.2182	.2236	1.0247	1.526	.9759	.1435	.4582	1.100	.9840	.2147	104
.007800	.03552	.2232	.2196	.2251	1.0250	1.521	.9756	.1464	.4614	1.101	.9838	.2160	102
.007900	.03576	.2247	.2209	.2265	1.0253	1.517	.9753	.1493	.4646	1.103	.9836	.2173	101
.008000	.03598	.2261	.2223	.2280	1.0257	1.512	.9750	.1522	.4678	1.104	.9834	.2186	100
.008100	.03621	.2275	.2237	.2295	1.0260	1.508	.9747	.1551	.4709	1.105	.9832	.2199	98.6
.008200	.03644	.2290	.2250	.2310	1.0263	1.503	.9744	.1579	.4741	1.107	.9830	.2212	97.5
.008300	.03666	.2304	.2264	.2324	1.0266	1.499	.9741	.1607	.4772	1.108	.9827	.2225	96.3
.008400	.03689	.2318	.2277	.2338	1.0270	1.495	.9737	.1636	.4803	1.109	.9825	.2237	95.2
.008500	.03711	.2332	.2290	.2353	1.0273	1.491	.9734	.1664	.4834	1.111	.9823	.2250	94.1
.008600	.03733	.2346	.2303	.2367	1.0276	1.487	.9731	.1691	.4865	1.112	.9821	.2262	93.0
.008700	.03755	.2360	.2317	.2381	1.0280	1.482	.9728	.1719	.4896	1.113	.9819	.2275	91.9
.008800	.03777	.2373	.2330	.2396	1.0283	1.478	.9725	.1747	.4927	1.115	.9817	.2287	90.9
.008900	.03799	.2387	.2343	.2410	1.0286	1.474	.9722	.1774	.4957	1.116	.9815	.2300	89.9
.009000	.03821	.2401	.2356	.2424	1.0290	1.471	.9718	.1801	.4988	1.118	.9813	.2312	88.9
.009100	.03842	.2414	.2368	.2438	1.0293	1.467	.9715	.1828	.5018	1.119	.9811	.2324	88.0
.009200	.03864	.2428	.2381	.2452	1.0296	1.463	.9712	.1855	.5049	1.120	.9809	.2336	87.1
.009300	.03885	.2441	.2394	.2465	1.0299	1.459	.9709	.1882	.5079	1.122	.9807	.2348	86.1
.009400	.03906	.2455	.2407	.2479	1.0303	1.456	.9706	.1909	.5109	1.123	.9805	.2360	85.2
.009500	.03928	.2468	.2419	.2493	1.0306	1.452	.9703	.1936	.5138	1.124	.9803	.2371	84.3
.009600	.03949	.2481	.2431	.2507	1.0309	1.448	.9700	.1962	.5168	1.126	.9801	.2383	83.5
.009700	.03970	.2494	.2443	.2520	1.0313	1.445	.9697	.1988	.5198	1.127	.9799	.2394	82.7
.009800	.03990	.2507	.2456	.2534	1.0316	1.442	.9694	.5014	.5227	1.128	.9797	.2406	81.8
.009900	.04011	.2520	.2468	.2547	1.0319	1.438	.9691	.5040	.5257	1.130	.9794	.2417	81.0
.010000	.04032	.2533	.2480	.2560	1.0322	1.435	.9688	.5066	.5286	1.131	.9792	.2429	80.2
.011000	.04133	.2660	.2598	.2691	1.0356	1.403	.9656	.5319	.5574	1.145	.9772	.2539	73.1
.012000	.04126	.2781	.2711	.2817	1.0389	1.375	.9625	.5562	.5853	1.159	.9751	.2643	67.1
.013000	.04162	.2898	.2820	.2938	1.0423	1.350	.9594	.5795	.6125	1.173	.9731	.2743	62.1
.014000	.04191	.3010	.2924	.3056	1.0456	1.327	.9564	.6020	.6391	1.187	.9710	.2838	57.8
.015000	.04964	.3119	.3022	.3170	1.0490	1.307	.9533	.6238	.6651	1.201	.9690	.2928	51.0
.016000	.05132	.3225	.3117	.3281	1.0524	1.288	.9502	.6450	.6906	1.215	.9670	.3011	50.8
.017000	.05296	.3328	.3209	.3389	1.0559	1.271	.9471	.6655	.7158	1.230	.9649	.3096	47.9
.018000	.05455	.3428	.3298	.3495	1.0593	1.255	.9440	.6856	.7405	1.244	.9629	.3176	45.3
.019000	.05611	.3525	.3386	.3599	1.0628	1.240	.9409	.7051	.7650	1.259	.9609	.3253	43.0
.020000	.05763	.3621	.3470	.3701	1.0663	1.226	.9378	.7242	.7891	1.274	.9588	.3327	41.0
.021000	.05912	.3714	.3552	.3800	1.0698	1.213	.9348	.7429	.8131	1.289	.9568	.3399	39.1
.022000	.06057	.3806	.3632	.3898	1.0733	1.201	.9317	.7612	.8368	1.304	.9548	.3468	37.4
.023000	.06200	.3896	.3710	.3995	1.0768	1.189	.9287	.7791	.8603	1.319	.9528	.3535	35.9
.024000	.06340	.3984	.3786	.4090	1.0804	1.178	.9255	.7967	.8837	1.335	.9508	.3600	34.4
.025000	.06478	.4070	.3860	.4184	1.0840	1.168	.9225	.8140	.9069	1.350	.9488	.3662	33.1
.026000	.06613	.4155	.3932	.4276	1.0876	1.159	.9195	.8310	.9310	1.366	.9468	.3722	31.9
.027000	.06747	.4239	.4002	.4367	1.0912	1.150	.9164	.8478	.9530	1.381	.9448	.3781	30.8
.028000	.06878	.4322	.4071	.4457	1.0949	1.141	.9133	.8643	.9760	1.397	.9428	.3838	29.8
.029000	.07007	.4403	.4138	.4546	1.0985	1.133	.9103	.8805	.9988	1.413	.9408	.3893	28.8

Table C-1 - Continued

d/λ_0	a/L	$2\pi d/L$	T_{NH} $2\pi d/L$	S_{NH} $2\pi d/L$	C_{CH} $2\pi d/L$	H/H_0 $2\pi d/L$	κ	$4\pi d/L$ $4\pi d/L$	S_{NH} $4\pi d/L$	C_{CH} $4\pi d/L$	n	c_0/c_o	M
.03000	.07135	.4483	.4205	.4634	1.1021	1.125	.9073	.8966	1.022	1.430	.9388	.3947	27.9
.03100	.07260	.4562	.4269	.4721	1.1059	1.118	.9042	.9124	1.044	1.446	.9369	.4000	27.1
.03200	.07385	.4640	.4333	.4808	1.1096	1.111	.9012	.9280	1.067	1.462	.9349	.4051	26.3
.03300	.07507	.4717	.4395	.4894	1.1133	1.104	.8982	.9434	1.090	1.479	.9329	.4100	25.6
.03400	.07630	.4794	.4457	.4980	1.1171	1.098	.8952	.9588	1.113	1.496	.9309	.4149	24.8
.03500	.07748	.4868	.4517	.5064	1.1209	1.092	.8921	.9737	1.135	1.513	.9289	.4196	24.19
.03600	.07867	.4943	.4577	.5147	1.1247	1.086	.8891	.9886	1.158	1.530	.9270	.4242	23.56
.03700	.07984	.5017	.4635	.5230	1.1285	1.080	.8861	1.0033	1.180	1.547	.9250	.4287	22.97
.03800	.08100	.5090	.4691	.5312	1.1324	1.075	.8831	1.018	1.203	1.564	.9230	.4330	22.42
.03900	.08215	.5162	.4747	.5394	1.1362	1.069	.8801	1.032	1.226	1.582	.9211	.4372	21.90
.04000	.08329	.5233	.4802	.5475	1.1401	1.064	.8771	1.047	1.248	1.600	.9192	.4414	21.40
.04100	.08442	.5304	.4857	.5556	1.1440	1.059	.8741	1.061	1.271	1.617	.9172	.4455	20.92
.04200	.08553	.5374	.4911	.5637	1.1479	1.055	.8711	1.075	1.294	1.636	.9153	.4495	20.46
.04300	.08664	.5444	.4964	.5717	1.1518	1.050	.8688	1.089	1.317	1.654	.9133	.4534	20.03
.04400	.08774	.5513	.5015	.5796	1.1558	1.046	.8652	1.103	1.340	1.672	.9114	.4571	19.62
.04500	.08883	.5581	.5066	.5876	1.1599	1.042	.8621	1.116	1.363	1.691	.9095	.4607	19.23
.04600	.08991	.5649	.5116	.5954	1.1639	1.038	.8592	1.130	1.386	1.709	.9076	.4643	18.85
.04700	.09098	.5717	.5166	.6033	1.1679	1.034	.8562	1.143	1.409	1.728	.9057	.4679	18.49
.04800	.09205	.5784	.5215	.6111	1.1720	1.030	.8532	1.157	1.433	1.747	.9037	.4713	18.15
.04900	.09311	.5850	.5263	.6189	1.1760	1.026	.8503	1.170	1.456	1.766	.9018	.4746	17.82
.05000	.09416	.5916	.5310	.6267	1.1802	1.023	.8473	1.183	1.479	1.786	.8999	.4779	17.50
.05100	.09520	.5981	.5357	.6344	1.1843	1.019	.8444	1.196	1.503	1.805	.8980	.4811	17.19
.05200	.09623	.6046	.5403	.6421	1.1884	1.016	.8415	1.209	1.526	1.825	.8961	.4842	16.90
.05300	.09726	.6111	.5449	.6499	1.1926	1.013	.8385	1.222	1.550	1.845	.8943	.4873	16.62
.05400	.09829	.6176	.5494	.6575	1.1968	1.010	.8356	1.235	1.574	1.865	.8924	.4903	16.35
.05500	.09930	.6239	.5538	.6652	1.2011	1.007	.8326	1.248	1.598	1.885	.8905	.4932	16.09
.05600	.1003	.6303	.5582	.6729	1.2053	1.004	.8297	1.261	1.622	1.906	.8886	.4960	15.84
.05700	.1013	.6366	.5626	.6805	1.2096	1.001	.8267	1.273	1.646	1.926	.8867	.4988	15.60
.05800	.1023	.6428	.5668	.6880	1.2138	.9985	.8239	1.286	1.670	1.947	.8849	.5015	15.36
.05900	.1033	.6491	.5711	.6956	1.2181	.9958	.8209	1.298	1.695	1.968	.8830	.5042	15.13
.06000	.1043	.6553	.5753	.7033	1.2225	.9932	.8180	1.311	1.719	1.989	.8811	.5068	14.91
.06100	.1053	.6616	.5794	.7110	1.2270	.9907	.8150	1.3231	1.744	2.011	.8792	.5094	14.70
.06200	.1063	.6678	.5834	.7187	1.2315	.9883	.8121	1.336	1.770	2.033	.8773	.5119	14.50
.06300	.1073	.6739	.5874	.7256	1.2355	.9860	.8093	1.348	1.795	2.055	.8755	.5143	14.30
.06400	.1082	.6799	.5914	.7335	1.2402	.9837	.8063	1.360	1.819	2.076	.8737	.5167	14.11
.06500	.1092	.6860	.5954	.7411	1.2447	.9815	.8035	1.372	1.845	2.098	.8719	.5191	13.92
.06600	.1101	.6920	.5993	.7486	1.2492	.9793	.8005	1.384	1.870	2.121	.8700	.5214	13.74
.06700	.1111	.6981	.6031	.7561	1.2537	.9772	.7977	1.396	1.896	2.144	.8682	.5236	13.57
.06800	.1120	.7037	.6069	.7633	1.2580	.9752	.7948	1.408	1.921	2.166	.8664	.5258	13.40
.06900	.1130	.7099	.6106	.7711	1.2628	.9732	.7919	1.420	1.948	2.189	.8646	.5279	13.24
.07000	.1139	.7157	.6144	.7783	1.2672	.9713	.7890	1.432	1.974	2.213	.8627	.5300	13.08
.07100	.1149	.7219	.6181	.7863	1.2721	.9694	.7861	1.444	2.000	2.236	.8609	.5321	12.92
.07200	.1158	.7277	.6217	.7937	1.2767	.9676	.7833	1.455	2.026	2.260	.8591	.5341	12.77
.07300	.1168	.7336	.6252	.8011	1.2813	.9658	.7804	1.467	2.053	2.284	.8572	.5360	12.62
.07400	.1177	.7395	.6289	.8088	1.2861	.9641	.7775	1.479	2.080	2.308	.8554	.5380	12.48
.07500	.1186	.7453	.6324	.8162	1.2908	.9624	.7747	1.490	2.107	2.332	.8537	.5399	12.34
.07600	.1195	.7511	.6359	.8237	1.2956	.9607	.7719	1.502	2.135	2.357	.8519	.5417	12.21
.07700	.1205	.7569	.6392	.8312	1.3004	.9591	.7690	1.514	2.162	2.382	.8501	.5435	12.08
.07800	.1214	.7625	.6427	.8386	1.3051	.9576	.7662	1.525	2.189	2.407	.8483	.5452	11.95
.07900	.1223	.7683	.6460	.8462	1.3100	.9562	.7634	1.537	2.217	2.432	.8465	.5469	11.83
.08000	.1232	.7741	.6493	.8538	1.3149	.9548	.7605	1.548	2.245	2.458	.8448	.5485	11.71
.08100	.1241	.7799	.6526	.8614	1.3198	.9534	.7577	1.560	2.274	2.484	.8430	.5501	11.59
.08200	.1251	.7854	.6558	.8687	1.3246	.9520	.7549	1.571	2.303	2.511	.8413	.5517	11.47
.08300	.1259	.7911	.6590	.8762	1.3295	.9506	.7522	1.583	2.331	2.537	.8395	.5533	11.36
.08400	.1268	.7967	.6622	.8837	1.3345	.9493	.7494	1.594	2.360	2.563	.8378	.5548	11.25
.08500	.1277	.8026	.6655	.8915	1.3397	.9481	.7464	1.605	2.389	2.590	.8360	.5563	11.14
.08600	.1286	.8080	.6685	.8989	1.3446	.9459	.7437	1.616	2.418	2.617	.8342	.5577	11.04
.08700	.1295	.8137	.6716	.9054	1.3497	.9437	.7409	1.628	2.448	2.644	.8325	.5591	10.94
.08800	.1304	.8193	.6747	.9111	1.3548	.9415	.7381	1.639	2.478	2.672	.8308	.5605	10.84
.08900	.1313	.8250	.6778	.9218	1.3600	.9433	.7353	1.650	2.508	2.700	.8290	.5619	10.74

Table C 1 - Continued

a/L_o	a/L	$2\pi a/L$	$\tan h$ $2\pi a/L$	\sinh $2\pi a/L$	\cosh $2\pi a/L$	H/H_o	K	$4\pi a/L$	\sinh $4\pi a/L$	\cosh $4\pi a/L$	n	C_G/C_o	γ
.09000	.1322	.8306	.6808	.9295	1.3653	.9422	.7324	1.661	2.538	2.728	.8273	.5632	10.65
.09100	.1331	.8363	.6838	.9372	1.3704	.9411	.7296	1.672	2.568	2.756	.8255	.5645	10.55
.09200	.1340	.8420	.6868	.9450	1.3755	.9401	.7268	1.684	2.599	2.785	.8238	.5658	10.46
.09300	.1349	.8474	.6897	.9525	1.3810	.9391	.7241	1.695	2.630	2.814	.8221	.5670	10.37
.09400	.1357	.8528	.6925	.9600	1.3862	.9382	.7214	1.706	2.662	2.843	.8204	.5682	10.29
.09500	.1366	.8583	.6953	.9677	1.3917	.9371	.7186	1.717	2.693	2.873	.8187	.5693	10.21
.09600	.1375	.8639	.6982	.9755	1.3970	.9362	.7158	1.728	2.726	2.903	.8170	.5704	10.12
.09700	.1384	.8694	.7011	.9832	1.4023	.9353	.7131	1.739	2.757	2.933	.8153	.5716	10.04
.09800	.1392	.8749	.7039	.9908	1.4077	.9344	.7104	1.750	2.790	2.963	.8136	.5727	9.962
.09900	.1401	.8803	.7066	.9985	1.4131	.9335	.7076	1.761	2.822	2.994	.8120	.5737	9.884
.1000	.1410	.8858	.7093	1.006	1.4187	.9327	.7049	1.772	2.855	3.025	.8103	.5747	9.808
.1010	.1419	.8913	.7120	1.014	1.4242	.9319	.7022	1.783	2.888	3.057	.8086	.5757	9.734
.1020	.1427	.8967	.7147	1.022	1.4297	.9311	.6994	1.793	2.922	3.088	.8069	.5766	9.661
.1030	.1436	.9023	.7173	1.030	1.4354	.9304	.6967	1.805	2.956	3.121	.8052	.5776	9.590
.1040	.1445	.9076	.7200	1.037	1.4410	.9297	.6940	1.815	2.990	3.153	.8036	.5785	9.519
.1050	.1453	.9130	.7226	1.045	1.4465	.9290	.6913	1.826	3.024	3.185	.8019	.5794	9.451
.1060	.1462	.9184	.7252	1.053	1.4523	.9282	.6886	1.837	3.059	3.218	.8003	.5803	9.384
.1070	.1470	.9239	.7277	1.061	1.4580	.9276	.6859	1.848	3.094	3.251	.7986	.5812	9.318
.1080	.1479	.9293	.7303	1.069	1.4638	.9269	.6833	1.858	3.128	3.284	.7970	.5820	9.254
.1090	.1488	.9343	.7327	1.076	1.4692	.9263	.6806	1.869	3.164	3.319	.7954	.5828	9.191
.1100	.1496	.9400	.7352	1.085	1.4752	.9257	.6779	1.880	3.201	3.353	.7937	.5836	9.129
.1110	.1505	.9456	.7377	1.093	1.4814	.9251	.6752	1.891	3.237	3.388	.7920	.5843	9.068
.1120	.1513	.9508	.7402	1.101	1.4871	.9245	.6725	1.902	3.274	3.423	.7904	.5850	9.009
.1130	.1522	.9563	.7426	1.109	1.4932	.9239	.6697	1.913	3.312	3.459	.7888	.5857	8.950
.1140	.1530	.9616	.7450	1.117	1.4990	.9234	.6671	1.923	3.348	3.494	.7872	.5864	8.891
.1150	.1539	.9670	.7474	1.125	1.5051	.9228	.6645	1.934	3.385	3.530	.7856	.5871	8.835
.1160	.1547	.9720	.7497	1.133	1.5108	.9223	.6619	1.944	3.423	3.566	.7840	.5878	8.780
.1170	.1556	.9775	.7520	1.141	1.5171	.9218	.6592	1.955	3.462	3.603	.7824	.5884	8.726
.1180	.1564	.9827	.7543	1.149	1.5230	.9214	.6566	1.966	3.501	3.641	.7808	.5890	8.673
.1190	.1573	.9882	.7566	1.157	1.5293	.9209	.6539	1.977	3.540	3.678	.7792	.5896	8.621
.1200	.1581	.9936	.7589	1.165	1.5356	.9204	.6512	1.987	3.579	3.716	.7776	.5902	8.569
.1210	.1590	.9989	.7612	1.174	1.5418	.9200	.6486	1.998	3.620	3.755	.7760	.5907	8.518
.1220	.1598	1.004	.7634	1.182	1.5479	.9195	.6460	2.008	3.659	3.793	.7745	.5913	8.468
.1230	.1607	1.010	.7656	1.190	1.5546	.9192	.6433	2.019	3.699	3.832	.7729	.5918	8.419
.1240	.1615	1.015	.7678	1.198	1.5605	.9189	.6407	2.030	3.740	3.871	.7713	.5922	8.371
.1250	.1624	1.020	.7700	1.207	1.5674	.9186	.6381	2.041	3.782	3.912	.7698	.5926	8.324
.1260	.1632	1.025	.7721	1.215	1.5734	.9182	.6356	2.051	3.824	3.952	.7682	.5931	8.278
.1270	.1640	1.030	.7742	1.223	1.5795	.9176	.6331	2.061	3.865	3.992	.7667	.5936	8.233
.1280	.1649	1.036	.7763	1.231	1.5862	.9175	.6305	2.072	3.907	4.033	.7652	.5940	8.189
.1290	.1657	1.041	.7783	1.240	1.5927	.9172	.6279	2.082	3.950	4.074	.7637	.5944	8.146
.1300	.1665	1.046	.7804	1.248	1.5990	.9169	.6254	2.093	3.992	4.115	.7621	.5948	8.103
.1310	.1674	1.052	.7824	1.257	1.6060	.9166	.6228	2.104	4.036	4.158	.7606	.5951	8.061
.1320	.1682	1.057	.7844	1.265	1.6124	.9161	.6202	2.114	4.080	4.201	.7591	.5954	8.020
.1330	.1691	1.062	.7865	1.273	1.6191	.9161	.6176	2.125	4.125	4.245	.7575	.5958	7.978
.1340	.1699	1.068	.7885	1.282	1.6260	.9158	.6150	2.135	4.169	4.288	.7560	.5961	7.937
.1350	.1708	1.073	.7905	1.291	1.633	.9156	.6123	2.146	4.217	4.334	.7545	.5964	7.897
.1360	.1716	1.078	.7925	1.300	1.640	.9151	.6098	2.156	4.262	4.378	.7530	.5967	7.857
.1370	.1724	1.084	.7945	1.308	1.647	.9152	.6073	2.167	4.309	4.423	.7515	.5969	7.819
.1380	.1733	1.089	.7964	1.317	1.654	.9150	.6047	2.177	4.355	4.468	.7500	.5972	7.781
.1390	.1741	1.094	.7983	1.326	1.660	.9148	.6022	2.188	4.402	4.514	.7485	.5975	7.744
.1400	.1749	1.099	.8002	1.334	1.667	.9146	.5998	2.198	4.450	4.561	.7471	.5978	7.707
.1410	.1758	1.105	.8021	1.343	1.675	.9144	.5972	2.209	4.498	4.607	.7456	.5980	7.671
.1420	.1766	1.110	.8039	1.352	1.681	.9142	.5947	2.219	4.546	4.654	.7441	.5982	7.636
.1430	.1774	1.115	.8057	1.360	1.688	.9141	.5923	2.230	4.595	4.663	.7426	.5984	7.602
.1440	.1783	1.120	.8076	1.369	1.696	.9140	.5898	2.240	4.644	4.751	.7412	.5986	7.567
.1450	.1791	1.125	.8094	1.378	1.703	.9139	.5873	2.251	4.695	4.800	.7397	.5987	7.533
.1460	.1800	1.131	.8112	1.388	1.710	.9137	.5847	2.261	4.746	4.850	.7382	.5989	7.499
.1470	.1808	1.136	.8131	1.397	1.718	.9136	.5822	2.272	4.798	4.901	.7366	.5990	7.465
.1480	.1815	1.141	.8149	1.405	1.725	.9135	.5796	2.282	4.847	4.951	.7354	.5992	7.432
.1490	.1825	1.146	.8166	1.415	1.732	.9134	.5773	2.293	4.901	5.001	.7339	.5993	7.400

Table C - 1 . Continued

d/L_o	d/L	$2\pi d/L$	TANH $2\pi d/L$	SINH $2\pi d/L$	COSH $2\pi d/L$	H/N °	K	$4\pi d/L$	SINH $4\pi d/L$	COSH $4\pi d/L$	n	c_o/c_o	M
.1500	.1833	1.152	.8183	1.424	1.740	.9133	.5748	2.303	4.944	5.056	.7325	.5994	7.369
.1510	.1841	1.157	.8200	1.433	1.747	.9133	.5723	2.314	5.007	5.106	.7311	.5994	7.339
.1520	.1850	1.162	.8217	1.442	1.755	.9132	.5699	2.324	5.061	5.159	.7296	.5995	7.309
.1530	.1858	1.167	.8234	1.451	1.762	.9132	.5675	2.335	5.115	5.212	.7282	.5996	7.279
.1540	.1866	1.173	.8250	1.460	1.770	.9132	.5651	2.345	5.169	5.265	.7268	.5996	7.250
.1550	.1875	1.178	.8267	1.469	1.777	.9131	.5627	2.356	5.225	5.320	.7254	.5997	7.221
.1560	.1883	1.183	.8284	1.479	1.785	.9130	.5602	2.366	5.283	5.376	.7240	.5998	7.191
.1570	.1891	1.188	.8301	1.488	1.793	.9129	.5577	2.377	5.339	5.432	.7226	.5999	7.162
.1580	.1900	1.194	.8317	1.498	1.801	.9130	.5552	2.387	5.398	5.490	.7212	.5998	7.134
.1590	.1908	1.199	.8333	1.507	1.809	.9130	.5528	2.398	5.454	5.544	.7198	.5998	7.107
.1600	.1917	1.204	.8349	1.517	1.817	.9130	.5504	2.408	5.513	5.603	.7184	.5998	7.079
.1610	.1925	1.209	.8365	1.527	1.825	.9130	.5480	2.419	5.571	5.660	.7171	.5998	7.052
.1620	.1933	1.215	.8381	1.536	1.833	.9130	.5456	2.429	5.630	5.718	.7157	.5998	7.026
.1630	.1941	1.220	.8396	1.546	1.841	.9130	.5432	2.440	5.690	5.777	.7144	.5998	7.000
.1640	.1950	1.225	.8411	1.555	1.849	.9130	.5409	2.450	5.751	5.837	.7130	.5998	6.975
.1650	.1958	1.230	.8427	1.565	1.857	.9131	.5385	2.461	5.813	5.898	.7117	.5997	6.949
.1660	.1966	1.235	.8442	1.574	1.865	.9132	.5362	2.471	5.874	5.959	.7103	.5996	6.924
.1670	.1975	1.240	.8457	1.584	1.873	.9132	.5339	2.482	5.938	6.021	.7090	.5996	6.900
.1680	.1983	1.246	.8472	1.594	1.882	.9133	.5315	2.492	6.003	6.085	.7076	.5995	6.876
.1690	.1992	1.251	.8486	1.604	1.890	.9133	.5291	2.503	6.066	6.148	.7063	.5994	6.853
.1700	.2000	1.257	.8501	1.614	1.899	.9134	.5267	2.513	6.130	6.212	.7050	.5993	6.830
.1710	.2008	1.262	.8515	1.624	1.907	.9135	.5243	2.523	6.197	6.275	.7036	.5992	6.807
.1720	.2017	1.267	.8529	1.634	1.915	.9136	.5220	2.534	6.262	6.342	.7023	.5991	6.784
.1730	.2025	1.272	.8544	1.644	1.924	.9137	.5197	2.544	6.329	6.407	.7010	.5989	6.761
.1740	.2033	1.277	.8558	1.654	1.933	.9138	.5174	2.555	6.395	6.473	.6997	.5988	6.738
.1750	.2042	1.282	.8572	1.664	1.941	.9139	.5151	2.565	6.465	6.541	.6984	.5987	6.716
.1760	.2050	1.288	.8586	1.675	1.951	.9140	.5127	2.576	6.534	6.610	.6971	.5985	6.694
.1770	.2058	1.293	.8600	1.685	1.959	.9141	.5104	2.586	6.603	6.679	.6958	.5984	6.672
.1780	.2066	1.298	.8614	1.695	1.968	.9142	.5081	2.597	6.672	6.747	.6946	.5982	6.651
.1790	.2075	1.304	.8627	1.706	1.977	.9144	.5058	2.607	6.714	6.818	.6933	.5980	6.631
.1800	.2083	1.309	.8640	1.716	1.986	.9145	.5036	2.618	6.818	6.891	.6920	.5979	6.611
.1810	.2092	1.314	.8653	1.727	1.995	.9146	.5013	2.629	6.890	6.963	.6907	.5977	6.591
.1820	.2100	1.320	.8666	1.737	2.004	.9148	.4990	2.639	6.963	7.035	.6895	.5975	6.571
.1830	.2108	1.325	.8680	1.748	2.013	.9149	.4967	2.650	7.038	7.109	.6882	.5974	6.550
.1840	.2117	1.330	.8693	1.758	2.022	.9150	.4945	2.660	7.113	7.183	.6870	.5972	6.530
.1850	.2125	1.335	.8706	1.769	2.032	.9152	.4922	2.671	7.191	7.260	.6857	.5969	6.511
.1860	.2134	1.341	.8718	1.780	2.041	.9154	.4899	2.681	7.267	7.336	.6845	.5967	6.492
.1870	.2142	1.346	.8731	1.791	2.051	.9155	.4876	2.692	7.345	7.412	.6832	.5965	6.474
.1880	.2150	1.351	.8743	1.801	2.060	.9157	.4854	2.702	7.421	7.488	.6820	.5963	6.456
.1890	.2159	1.356	.8755	1.812	2.070	.9159	.4832	2.712	7.500	7.566	.6808	.5961	6.438
.1900	.2167	1.362	.8767	1.823	2.079	.9161	.4809	2.723	7.581	7.647	.6796	.5958	6.421
.1910	.2176	1.367	.8779	1.834	2.089	.9163	.4787	2.734	7.663	7.728	.6784	.5955	6.403
.1920	.2184	1.372	.8791	1.845	2.099	.9165	.4765	2.744	7.746	7.810	.6772	.5952	6.385
.1930	.2192	1.377	.8803	1.856	2.108	.9167	.4743	2.755	7.827	7.891	.6760	.5950	6.368
.1940	.2201	1.383	.8815	1.867	2.118	.9169	.4721	2.765	7.911	7.974	.6748	.5948	6.351
.1950	.2209	1.388	.8827	1.879	2.128	.9170	.4699	2.776	7.996	8.059	.6736	.5946	6.334
.1960	.2218	1.393	.8839	1.890	2.138	.9172	.4677	2.787	8.083	8.145	.6724	.5944	6.317
.1970	.2226	1.399	.8850	1.901	2.148	.9174	.4655	2.797	8.167	8.228	.6712	.5941	6.300
.1980	.2234	1.404	.8862	1.913	2.158	.9176	.4633	2.808	8.256	8.316	.6700	.5938	6.284
.1990	.2243	1.409	.8873	1.924	2.169	.9179	.4611	2.819	8.346	8.406	.6689	.5935	6.268
.2000	.2251	1.414	.8884	1.935	2.178	.9181	.4590	2.829	8.436	8.495	.6677	.5932	6.253
.2010	.2260	1.420	.8895	1.947	2.189	.9183	.4569	2.840	8.524	8.583	.6666	.5929	6.237
.2020	.2268	1.425	.8906	1.959	2.199	.9186	.4547	2.850	8.616	8.674	.6654	.5926	6.222
.2030	.2277	1.430	.8917	1.970	2.210	.9188	.4526	2.861	8.708	8.766	.6642	.5923	6.206
.2040	.2285	1.436	.8928	1.982	2.220	.9190	.4504	2.872	8.803	8.860	.6631	.5920	6.191
.2050	.2293	1.441	.8939	1.994	2.231	.9193	.4483	2.882	8.897	8.953	.6620	.5917	6.176
.2060	.2302	1.446	.8950	2.006	2.242	.9195	.4462	2.893	8.994	9.050	.6608	.5914	6.161
.2070	.2310	1.451	.8960	2.017	2.252	.9197	.4441	2.903	9.090	9.144	.6597	.5911	6.147
.2080	.2319	1.457	.8971	2.030	2.263	.9200	.4419	2.914	9.187	9.240	.6586	.5908	6.133
.2090	.2328	1.462	.8981	2.042	2.274	.9202	.4398	2.925	9.288	9.342	.6574	.5905	6.119

Table C - 1 - Continued

d/L_o	d/L	$2^n d/L$	$\frac{1}{2} \Delta H$ $2^n d/L$	$S \Delta H$ $2^n d/L$	ΔH $2^n d/L$	H/H'_o	K	$L_r; d/L$	$S:K_h$ $L_r d/L$	$C:SH$ $L_r d/L$	n	c_G/c_o	M
.2100	.2336	1.468	.8991	2.055	2.285	.9205	.4377	2.936	9.389	9.442	.6563	.5901	6.105
.2110	.2344	1.473	.9001	2.066	2.295	.9207	.4357	2.946	9.490	9.542	.6552	.5898	6.091
.2120	.2353	1.479	.9011	2.079	2.307	.9210	.4336	2.951	9.590	9.642	.6541	.5894	6.077
.2130	.2361	1.484	.9021	2.091	2.318	.9213	.4315	2.961	9.693	9.744	.6531	.5891	6.064
.2140	.2370	1.489	.9031	2.103	2.329	.9215	.4294	2.978	9.796	9.847	.6520	.5888	6.051
.2150	.2378	1.494	.9041	2.115	2.340	.9218	.4274	2.989	9.902	9.952	.6509	.5884	6.037
.2160	.2387	1.500	.9051	2.128	2.351	.9221	.4253	2.999	10.01	10.06	.6498	.5881	6.024
.2170	.2395	1.506	.9061	2.142	2.364	.9223	.4232	3.010	10.12	10.17	.6488	.5878	6.011
.2180	.2404	1.511	.9070	2.154	2.375	.9226	.4211	3.021	10.23	10.28	.6477	.5874	5.999
.2190	.2412	1.516	.9079	2.166	2.386	.9228	.4191	3.031	10.34	10.38	.6467	.5871	5.987
.2200	.2421	1.521	.9088	2.178	2.397	.9231	.4171	3.042	10.45	10.50	.6456	.5868	5.975
.2210	.2429	1.526	.9097	2.192	2.409	.9234	.4151	3.052	10.56	10.61	.6446	.5864	5.963
.2220	.2438	1.532	.9107	2.204	2.421	.9236	.4131	3.063	10.68	10.72	.6436	.5861	5.951
.2230	.2446	1.537	.9116	2.218	2.433	.9239	.4111	3.074	10.79	10.84	.6425	.5857	5.939
.2240	.2455	1.542	.9125	2.230	2.444	.9242	.4091	3.085	10.91	10.95	.6414	.5854	5.927
.2250	.2463	1.548	.9134	2.244	2.457	.9245	.4071	3.095	11.02	11.07	.6404	.5850	5.915
.2260	.2472	1.553	.9143	2.257	2.469	.9248	.4051	3.106	11.15	11.19	.6394	.5846	5.903
.2270	.2481	1.559	.9152	2.271	2.481	.9251	.4031	3.117	11.27	11.31	.6383	.5842	5.891
.2280	.2489	1.564	.9161	2.284	2.493	.9254	.4011	3.128	11.39	11.44	.6373	.5838	5.880
.2290	.2498	1.569	.9170	2.297	2.506	.9258	.3991	3.138	11.51	11.56	.6363	.5834	5.869
.2300	.2506	1.575	.9178	2.311	2.518	.9261	.3971	3.149	11.64	11.68	.6353	.5830	5.858
.2310	.2515	1.580	.9186	2.325	2.531	.9264	.3952	3.160	11.77	11.81	.6343	.5826	5.848
.2320	.2523	1.585	.9194	2.338	2.543	.9267	.3932	3.171	11.90	11.93	.6333	.5823	5.838
.2330	.2532	1.591	.9203	2.352	2.556	.9270	.3912	3.182	12.03	12.07	.6323	.5819	5.827
.2340	.2540	1.596	.9211	2.366	2.569	.9273	.3893	3.192	12.15	12.19	.6313	.5815	5.816
.2350	.2549	1.602	.9219	2.380	2.581	.9276	.3874	3.203	12.29	12.33	.6304	.5811	5.806
.2360	.2558	1.607	.9227	2.393	2.594	.9279	.3855	3.214	12.43	12.47	.6294	.5807	5.796
.2370	.2566	1.612	.9235	2.408	2.607	.9282	.3836	3.225	12.55	12.59	.6284	.5804	5.786
.2380	.2575	1.618	.9243	2.422	2.620	.9285	.3816	3.236	12.69	12.73	.6275	.5800	5.776
.2390	.2584	1.623	.9251	2.436	2.634	.9288	.3797	3.247	12.83	12.87	.6265	.5796	5.766
.2400	.2592	1.629	.9259	2.450	2.647	.9291	.3779	3.257	12.97	13.01	.6256	.5792	5.756
.2410	.2601	1.631	.9267	2.464	2.660	.9294	.3760	3.268	13.11	13.15	.6246	.5788	5.746
.2420	.2610	1.640	.9275	2.480	2.674	.9298	.3741	3.279	13.26	13.30	.6237	.5784	5.735
.2430	.2618	1.645	.9282	2.494	2.687	.9301	.3722	3.290	13.40	13.44	.6228	.5780	5.727
.2440	.2627	1.650	.9289	2.508	2.700	.9304	.3704	3.301	13.55	13.59	.6218	.5776	5.718
.2450	.2635	1.656	.9296	2.523	2.714	.9307	.3685	3.312	13.70	13.73	.6209	.5772	5.710
.2460	.2644	1.661	.9304	2.538	2.728	.9310	.3666	3.323	13.85	13.88	.6200	.5768	5.701
.2470	.2653	1.667	.9311	2.553	2.742	.9314	.3648	3.334	14.00	14.04	.6191	.5764	5.692
.2480	.2661	1.672	.9318	2.568	2.755	.9317	.3629	3.344	14.15	14.19	.6182	.5760	5.684
.2490	.2670	1.678	.9325	2.583	2.770	.9320	.3610	3.355	14.31	14.35	.6173	.5756	5.675
.2500	.2679	1.683	.9332	2.599	2.784	.9323	.3592	3.367	14.47	14.51	.6164	.5752	5.667
.2510	.2687	1.689	.9339	2.614	2.798	.9327	.3574	3.377	14.62	14.66	.6155	.5748	5.658
.2520	.2696	1.694	.9346	2.629	2.813	.9330	.3556	3.388	14.79	14.82	.6146	.5744	5.650
.2530	.2705	1.700	.9353	2.645	2.828	.9333	.3537	3.399	14.95	14.99	.6137	.5740	5.641
.2540	.2714	1.705	.9360	2.660	2.842	.9336	.3519	3.410	15.12	15.15	.6128	.5736	5.633
.2550	.2722	1.711	.9367	2.676	2.856	.9340	.3501	3.421	15.29	15.32	.6120	.5732	5.624
.2560	.2731	1.716	.9374	2.691	2.871	.9343	.3483	3.432	15.45	15.49	.6111	.5728	5.616
.2570	.2740	1.722	.9381	2.707	2.886	.9346	.3465	3.443	15.63	15.66	.6102	.5724	5.608
.2580	.2749	1.727	.9388	2.723	2.901	.9349	.3447	3.454	15.80	15.83	.6093	.5720	5.600
.2590	.2757	1.732	.9394	2.739	2.916	.9353	.3430	3.465	15.97	16.00	.6085	.5716	5.592
.2600	.2766	1.738	.9400	2.755	2.931	.9356	.3412	3.476	16.15	16.18	.6076	.5712	5.585
.2610	.2775	1.744	.9406	2.772	2.946	.9360	.3394	3.487	16.33	16.36	.6068	.5707	5.578
.2620	.2784	1.749	.9412	2.788	2.962	.9363	.3376	3.498	16.51	16.54	.6060	.5703	5.571
.2630	.2792	1.755	.9418	2.804	2.977	.9367	.3359	3.509	16.69	16.73	.6052	.5699	5.563
.2640	.2801	1.760	.9425	2.820	2.992	.9370	.3342	3.520	16.88	16.91	.6043	.5695	5.556
.2650	.2810	1.766	.9431	2.837	3.008	.9373	.3325	3.531	17.07	17.10	.6035	.5691	5.548
.2660	.2819	1.771	.9437	2.853	3.023	.9377	.3308	3.542	17.26	17.28	.6027	.5687	5.541
.2670	.2827	1.776	.9443	2.670	3.039	.9380	.3291	3.553	17.45	17.45	.6018	.5683	5.534
.2680	.2836	1.782	.9449	2.886	3.055	.9383	.3274	3.564	17.64	17.67	.6010	.5679	5.527
.2690	.2845	1.788	.9455	2.904	3.071	.9386	.3256	3.575	17.84	17.87	.6002	.5675	5.520

Table C-1 Continued

d/L_o	n/L	$2^n d/L$	$TANH \frac{2^n d}{L}$	$SINH \frac{2^n d}{L}$	$COSH \frac{2^n d}{L}$	H/H_o	K	$L^n z/L$	$SINH \frac{L^n z}{L}$	$COSH \frac{L^n z}{L}$	n	C_o/C_o	M
.2700	.2854	1.793	.9451	2.921	3.098	.9390	.3239	3.587	18.04	18.07	.5794	.5671	5.513
.2710	.2863	1.799	.9467	2.938	3.104	.9393	.3222	3.598	18.24	18.27	.5796	.5667	5.506
.2720	.2872	1.804	.9473	2.956	3.120	.9396	.3205	3.610	18.46	18.49	.5798	.5663	5.499
.2730	.2880	1.810	.9478	2.973	3.136	.9400	.3189	3.620	18.65	18.67	.5791	.5659	5.493
.2740	.2889	1.815	.9484	2.990	3.153	.9403	.3172	3.631	18.86	18.89	.5963	.5655	5.486
.2750	.2898	1.821	.9490	3.008	3.170	.9406	.3155	3.642	19.07	19.10	.5955	.5651	5.480
.2760	.2907	1.826	.9495	3.025	3.186	.9410	.3139	3.653	19.28	19.30	.5947	.5647	5.474
.2770	.2916	1.832	.9500	3.043	3.203	.9413	.3122	3.664	19.49	19.51	.5940	.5643	5.468
.2780	.2924	1.837	.9505	3.061	3.220	.9416	.3106	3.675	19.71	19.74	.5932	.5639	5.462
.2790	.2933	1.843	.9511	3.079	3.237	.9420	.3089	3.686	19.93	19.96	.5925	.5635	5.456
.2800	.2942	1.849	.9516	3.097	3.254	.9423	.3073	3.697	20.16	20.18	.5917	.5631	5.450
.2810	.2951	1.854	.9521	3.115	3.272	.9426	.3057	3.709	20.39	20.41	.5910	.5627	5.444
.2820	.2960	1.860	.9526	3.133	3.289	.9430	.3040	3.720	20.62	20.64	.5902	.5623	5.438
.2830	.2969	1.866	.9532	3.152	3.307	.9433	.3024	3.731	20.85	20.87	.5895	.5619	5.432
.2840	.2978	1.871	.9537	3.171	3.325	.9436	.3008	3.742	21.09	21.11	.5887	.5615	5.426
.2850	.2987	1.877	.9542	3.190	3.343	.9440	.2992	3.754	21.33	21.35	.5880	.5611	5.420
.2860	.2996	1.882	.9547	3.209	3.361	.9443	.2976	3.765	21.57	21.59	.5873	.5607	5.414
.2870	.3005	1.888	.9552	3.228	3.379	.9446	.2959	3.776	21.82	21.84	.5866	.5603	5.409
.2880	.3014	1.893	.9557	3.246	3.396	.9449	.2944	3.787	22.05	22.07	.5859	.5600	5.403
.2890	.3022	1.899	.9562	3.264	3.414	.9452	.2929	3.798	22.30	22.32	.5852	.5596	5.397
.2900	.3031	1.905	.9567	3.284	3.433	.9456	.2913	3.809	22.54	22.57	.5845	.5592	5.392
.2910	.3040	1.910	.9572	3.303	3.451	.9459	.2898	3.821	22.81	22.83	.5838	.5588	5.386
.2920	.3049	1.916	.9577	3.323	3.471	.9463	.2882	3.832	23.07	23.09	.5831	.5584	5.380
.2930	.3058	1.922	.9581	3.343	3.490	.9466	.2866	3.843	23.33	23.35	.5824	.5580	5.375
.2940	.3067	1.927	.9585	3.362	3.508	.9469	.2851	3.855	23.60	23.62	.5817	.5576	5.371
.2950	.3076	1.933	.9590	3.382	3.527	.9473	.2835	3.866	23.86	23.88	.5810	.5572	5.366
.2960	.3085	1.938	.9594	3.402	3.546	.9476	.2820	3.877	24.12	24.15	.5804	.5568	5.361
.2970	.3094	1.944	.9599	3.422	3.565	.9480	.2805	3.888	24.40	24.42	.5797	.5564	5.356
.2980	.3103	1.950	.9603	3.442	3.585	.9483	.2790	3.900	24.68	24.70	.5790	.5560	5.351
.2990	.3112	1.955	.9607	3.462	3.604	.9486	.2775	3.911	24.96	24.98	.5784	.5556	5.347
.3000	.3121	1.961	.9611	3.483	3.624	.9490	.2760	3.922	25.24	25.26	.5777	.5552	5.342
.3010	.3130	1.967	.9616	3.503	3.643	.9493	.2745	3.933	25.53	25.55	.5771	.5549	5.337
.3020	.3139	1.972	.9620	3.524	3.663	.9496	.2730	3.945	25.82	25.83	.5764	.5545	5.332
.3030	.3148	1.978	.9624	3.545	3.683	.9499	.2715	3.956	26.12	26.14	.5758	.5541	5.328
.3040	.3157	1.984	.9629	3.566	3.703	.9502	.2700	3.968	26.42	26.44	.5751	.5538	5.323
.3050	.3166	1.989	.9633	3.587	3.724	.9505	.2685	3.979	26.72	26.74	.5745	.5534	5.318
.3060	.3175	1.995	.9637	3.609	3.745	.9509	.2670	3.990	27.02	27.04	.5739	.5530	5.314
.3070	.3184	2.001	.9641	3.630	3.765	.9512	.2656	4.002	27.33	27.35	.5732	.5527	5.309
.3080	.3193	2.007	.9645	3.651	3.786	.9515	.2641	4.013	27.65	27.66	.5726	.5523	5.305
.3090	.3202	2.012	.9649	3.673	3.806	.9518	.2627	4.024	27.96	27.98	.5720	.5519	5.300
.3100	.3211	2.018	.9653	3.694	3.827	.9522	.2613	4.036	28.28	28.30	.5714	.5515	5.296
.3110	.3220	2.023	.9656	3.716	3.848	.9525	.2599	4.047	28.60	28.62	.5708	.5511	5.292
.3120	.3230	2.029	.9660	3.738	3.870	.9528	.2584	4.058	28.93	28.95	.5701	.5507	5.288
.3130	.3239	2.035	.9664	3.760	3.891	.9531	.2570	4.070	29.27	29.28	.5695	.5504	5.284
.3140	.3248	2.041	.9668	3.782	3.912	.9535	.2556	4.081	29.60	29.62	.5689	.5500	5.280
.3150	.3257	2.046	.9672	3.805	3.934	.9538	.2542	4.093	29.94	29.96	.5683	.5497	5.276
.3160	.3266	2.052	.9676	3.828	3.956	.9541	.2528	4.104	30.29	30.31	.5678	.5494	5.272
.3170	.3275	2.058	.9679	3.851	3.978	.9544	.2514	4.116	30.64	30.65	.5672	.5490	5.268
.3180	.3284	2.063	.9682	3.873	4.000	.9547	.2500	4.127	30.99	31.00	.5666	.5486	5.264
.3190	.3294	2.069	.9686	3.896	4.022	.9550	.2486	4.139	31.35	31.37	.5660	.5483	5.260
.3200	.3302	2.075	.9690	3.919	4.045	.9553	.2472	4.150	31.71	31.72	.5655	.5479	5.256
.3210	.3311	2.081	.9693	3.943	4.068	.9556	.2459	4.161	32.07	32.08	.5649	.5476	5.252
.3220	.3321	2.086	.9696	3.966	4.090	.9559	.2445	4.173	32.44	32.46	.5643	.5472	5.249
.3230	.3330	2.092	.9700	3.990	4.111	.9562	.2431	4.185	32.83	32.84	.5637	.5468	5.245
.3240	.3339	2.098	.9703	4.014	4.136	.9565	.2418	4.196	33.20	33.22	.5632	.5465	5.241
.3250	.3349	2.104	.9707	4.038	4.160	.9568	.2404	4.208	33.60	33.61	.5627	.5462	5.237
.3260	.3357	2.110	.9710	4.061	4.183	.9571	.2391	4.219	33.97	33.99	.5621	.5458	5.234
.3270	.3367	2.115	.9713	4.085	4.206	.9574	.2378	4.231	34.37	34.38	.5616	.5455	5.231
.3280	.3376	2.121	.9717	4.110	4.230	.9577	.2364	4.242	34.77	34.79	.5610	.5451	5.227
.3290	.3385	2.127	.9720	4.135	4.254	.9580	.2351	4.254	35.18	35.19	.5605	.5448	5.223

Table C - 1 - Continued

a/L	a/L	$2\pi a/L$	$\sin \frac{2\pi a}{L}$	$\sin \frac{2\pi a}{L}$	$\cos \frac{2\pi a}{L}$	$\sin \frac{2\pi a}{L}$	R	$L\pi a/L$	$\sin \frac{L\pi a}{L}$	$\cosh \frac{L\pi a}{L}$	n	C_0/C_o	M
.3300	.3394	2.133	.9723	4.159	4.277	.9583	.2338	4.265	35.58	35.59	.5599	.5644	5.220
.3310	.3403	2.138	.9726	4.181	4.301	.9586	.2325	4.277	35.99	36.00	.5594	.5641	5.217
.3320	.3413	2.144	.9729	4.209	4.326	.9589	.2312	4.288	36.42	36.43	.5589	.5638	5.214
.3330	.3422	2.150	.9732	4.234	4.350	.9592	.2299	4.300	36.84	36.85	.5584	.5634	5.210
.3340	.3431	2.156	.9735	4.259	4.375	.9595	.2286	4.311	37.25	37.27	.5578	.5631	5.207
.3350	.3440	2.161	.9738	4.284	4.399	.9598	.2273	4.323	37.70	37.72	.5573	.5627	5.204
.3360	.3449	2.167	.9741	4.310	4.424	.9601	.2260	4.335	38.14	38.15	.5568	.5624	5.201
.3370	.3459	2.173	.9744	4.330	4.450	.9604	.2247	4.346	38.59	38.60	.5563	.5621	5.198
.3380	.3468	2.179	.9747	4.361	4.474	.9607	.2235	4.358	39.02	39.04	.5558	.5617	5.194
.3390	.3477	2.185	.9750	4.388	4.500	.9610	.2222	4.369	39.48	39.49	.5553	.5614	5.191
.3400	.3468	2.190	.9753	4.413	4.525	.9613	.2210	4.381	39.95	39.96	.5548	.5611	5.188
.3410	.3495	2.196	.9756	4.439	4.550	.9615	.2198	4.392	40.40	40.41	.5544	.5608	5.185
.3420	.3504	2.202	.9758	4.466	4.576	.9618	.2185	4.404	40.87	40.89	.5539	.5605	5.182
.3430	.3514	2.208	.9761	4.492	4.602	.9621	.2173	4.416	41.36	41.37	.5534	.5602	5.179
.3440	.3523	2.214	.9764	4.521	4.630	.9623	.2160	4.427	41.85	41.84	.5529	.5399	5.176
.3450	.3532	2.220	.9767	4.547	4.656	.9626	.2148	4.439	42.33	42.34	.5524	.5396	5.173
.3460	.3542	2.225	.9769	4.575	4.682	.9629	.2136	4.451	42.83	42.84	.5519	.5392	5.171
.3470	.3551	2.231	.9772	4.602	4.709	.9632	.2124	4.462	43.34	43.35	.5515	.5389	5.168
.3480	.3560	2.237	.9775	4.629	4.736	.9635	.2111	4.474	43.85	43.86	.5510	.5386	5.165
.3490	.3570	2.243	.9777	4.657	4.763	.9638	.2099	4.486	44.40	44.40	.5505	.5383	5.162
.3500	.3579	2.249	.9780	4.685	4.791	.9640	.2087	4.498	44.89	44.89	.5501	.5380	5.159
.3510	.3588	2.255	.9782	4.713	4.818	.9643	.2076	4.509	45.42	45.43	.5496	.5377	5.157
.3520	.3598	2.260	.9785	4.741	4.845	.9646	.2064	4.521	45.95	45.96	.5492	.5374	5.154
.3530	.3607	2.266	.9787	4.770	4.873	.9648	.2052	4.533	46.50	46.51	.5487	.5371	5.152
.3540	.3616	2.272	.9790	4.798	4.901	.9651	.2040	4.544	47.03	47.04	.5483	.5368	5.149
.3550	.3625	2.278	.9792	4.827	4.929	.9654	.2029	4.556	47.59	47.60	.5479	.5365	5.147
.3560	.3635	2.284	.9795	4.856	4.957	.9657	.2017	4.568	48.15	48.16	.5474	.5362	5.144
.3570	.3644	2.290	.9797	4.885	4.987	.9659	.2005	4.579	48.72	48.73	.5470	.5359	5.141
.3580	.3653	2.296	.9799	4.914	5.015	.9662	.1994	4.591	49.29	49.30	.5466	.5356	5.139
.3590	.3663	2.301	.9801	4.944	5.044	.9665	.1983	4.603	49.88	49.89	.5461	.5353	5.137
.3600	.3672	2.307	.9804	4.974	5.072	.9667	.1972	4.615	50.47	50.48	.5457	.5350	5.134
.3610	.3682	2.313	.9806	5.004	5.103	.9670	.1960	4.627	51.08	51.09	.5453	.5347	5.132
.3620	.3691	2.319	.9808	5.034	5.132	.9673	.1949	4.638	51.67	51.67	.5449	.5344	5.130
.3630	.3700	2.325	.9811	5.063	5.161	.9675	.1938	4.650	52.27	52.28	.5445	.5342	5.127
.3640	.3709	2.331	.9813	5.094	5.191	.9677	.1926	4.661	52.89	52.90	.5441	.5339	5.125
.3650	.3719	2.337	.9815	5.124	5.221	.9680	.1915	4.673	53.52	53.53	.5437	.5336	5.123
.3660	.3728	2.342	.9817	5.155	5.251	.9683	.1904	4.685	54.15	54.16	.5433	.5333	5.121
.3670	.3737	2.348	.9819	5.186	5.281	.9686	.1894	4.697	54.78	54.79	.5429	.5330	5.118
.3680	.3747	2.354	.9821	5.217	5.312	.9688	.1883	4.708	55.42	55.43	.5425	.5327	5.116
.3690	.3756	2.360	.9823	5.248	5.343	.9690	.1872	4.720	56.09	56.10	.5421	.5325	5.114
.3700	.3766	2.366	.9825	5.280	5.374	.9693	.1861	4.732	56.76	56.77	.5417	.5322	5.112
.3710	.3775	2.372	.9827	5.312	5.406	.9696	.1850	4.744	57.43	57.44	.5413	.5319	5.110
.3720	.3785	2.378	.9830	5.345	5.438	.9698	.1839	4.756	58.13	58.14	.5409	.5317	5.107
.3730	.3794	2.384	.9832	5.377	5.469	.9700	.1828	4.768	58.82	58.83	.5405	.5314	5.105
.3740	.3804	2.390	.9834	5.410	5.502	.9702	.1818	4.780	59.52	59.53	.5402	.5312	5.103
.3750	.3813	2.396	.9835	5.443	5.534	.9705	.1807	4.792	60.24	60.25	.5398	.5309	5.101
.3760	.3822	2.402	.9837	5.475	5.566	.9707	.1797	4.803	60.95	60.95	.5394	.5306	5.099
.3770	.3832	2.408	.9839	5.508	5.598	.9709	.1786	4.815	61.68	61.68	.5390	.5304	5.097
.3780	.3841	2.413	.9841	5.541	5.631	.9712	.1776	4.827	62.42	62.42	.5387	.5301	5.095
.3790	.3850	2.419	.9843	5.572	5.661	.9714	.1766	4.838	63.13	63.14	.5383	.5299	5.093
.3800	.3860	2.425	.9845	5.609	5.697	.9717	.1756	4.851	63.91	63.91	.5380	.5296	5.091
.3810	.3869	2.431	.9847	5.643	5.731	.9719	.1745	4.862	64.67	64.67	.5376	.5294	5.090
.3820	.3879	2.437	.9848	5.677	5.765	.9721	.1735	4.875	65.45	65.46	.5372	.5291	5.088
.3830	.3888	2.443	.9850	5.712	5.798	.9724	.1725	4.885	66.16	66.17	.5369	.5288	5.086
.3840	.3898	2.449	.9852	5.746	5.833	.9726	.1715	4.898	67.02	67.03	.5365	.5286	5.084
.3850	.3907	2.455	.9854	5.780	5.866	.9728	.1705	4.910	67.80	67.81	.5362	.5284	5.082
.3860	.3917	2.461	.9855	5.814	5.900	.9730	.1695	4.922	68.61	68.62	.5359	.5281	5.081
.3870	.3926	2.467	.9857	5.850	5.935	.9732	.1685	4.934	69.45	69.46	.5355	.5279	5.079
.3880	.3936	2.473	.9859	5.886	5.970	.9735	.1675	4.946	70.28	70.29	.5352	.5276	5.077
.3890	.3945	2.479	.9860	5.921	6.005	.9737	.1665	4.958	71.12	71.13	.5349	.5274	5.076

Table C 1 Continued

d/L_o	d/L	$2\pi d/L$	$\text{TANH } \frac{2\pi d}{L}$	$\text{SINH } \frac{2\pi d}{L}$	$\text{COSH } \frac{2\pi d}{L}$	H/H_o	K	$4\pi d/L$	$\text{SINH } \frac{4\pi d}{L}$	$\text{COSH } \frac{4\pi d}{L}$	n	C_o/C_o	M
.3900	.3955	2.485	.9862	5.957	6.040	.9739	.1656	4.970	71.97	71.98	.5345	.5271	5.074
.3910	.3964	2.491	.9864	5.993	6.076	.9741	.1646	4.982	72.85	72.86	.5342	.5269	5.072
.3920	.3974	2.497	.9865	6.029	6.112	.9743	.1636	4.993	73.72	73.72	.5339	.5267	5.071
.3930	.3983	2.503	.9867	6.066	6.148	.9745	.1627	5.005	74.58	74.59	.5336	.5265	5.069
.3940	.3993	2.509	.9869	6.103	6.185	.9748	.1617	5.017	75.48	75.49	.5332	.5262	5.067
.3950	.4002	2.515	.9870	6.140	6.221	.9750	.1608	5.029	76.40	76.40	.5329	.5260	5.066
.3960	.4012	2.521	.9872	6.171	6.258	.9752	.1598	5.041	77.31	77.32	.5326	.5258	5.064
.3970	.4021	2.527	.9873	6.215	6.295	.9754	.1589	5.053	78.24	78.24	.5323	.5255	5.063
.3980	.4031	2.532	.9874	6.252	6.332	.9756	.1579	5.065	79.19	79.19	.5320	.5253	5.062
.3990	.4040	2.538	.9876	6.290	6.369	.9758	.1570	5.077	80.13	80.13	.5317	.5251	5.060
.4000	.4050	2.544	.9877	6.329	6.407	.9761	.1561	5.089	81.12	81.12	.5314	.5248	5.058
.4010	.4059	2.550	.9879	6.367	6.445	.9763	.1552	5.101	82.07	82.08	.5311	.5246	5.056
.4020	.4069	2.556	.9880	6.406	6.483	.9765	.1542	5.113	83.06	83.06	.5308	.5244	5.055
.4030	.4078	2.562	.9882	6.444	6.521	.9766	.1533	5.125	84.07	84.07	.5305	.5242	5.053
.4040	.4088	2.568	.9883	6.484	6.561	.9768	.1524	5.137	85.11	85.12	.5302	.5240	5.052
.4050	.4098	2.575	.9885	6.525	6.601	.9770	.1515	5.149	86.14	86.14	.5299	.5238	5.050
.4060	.4107	2.581	.9886	6.564	6.640	.9772	.1506	5.161	87.17	87.17	.5296	.5236	5.049
.4070	.4116	2.586	.9887	6.603	6.679	.9774	.1497	5.173	88.19	88.20	.5293	.5234	5.048
.4080	.4126	2.592	.9889	6.644	6.718	.9776	.1488	5.185	89.28	89.28	.5290	.5232	5.046
.4090	.4136	2.598	.9890	6.684	6.758	.9778	.1480	5.197	90.38	90.39	.5287	.5229	5.045
.4100	.4145	2.604	.9891	6.725	6.799	.9780	.1471	5.209	91.44	91.44	.5285	.5227	5.044
.4110	.4155	2.610	.9892	6.766	6.839	.9782	.1462	5.221	92.55	92.55	.5282	.5225	5.043
.4120	.4164	2.616	.9894	6.806	6.879	.9784	.1454	5.233	93.67	93.67	.5279	.5223	5.041
.4130	.4174	2.623	.9895	6.849	6.921	.9786	.1445	5.245	94.83	94.83	.5277	.5221	5.040
.4140	.4183	2.629	.9896	6.890	6.963	.9788	.1436	5.257	95.95	95.96	.5274	.5219	5.039
.4150	.4193	2.635	.9898	6.932	7.004	.9790	.1428	5.269	97.13	97.13	.5271	.5217	5.037
.4160	.4203	2.641	.9899	6.974	7.046	.9792	.1419	5.281	98.30	98.30	.5269	.5215	5.036
.4170	.4212	2.647	.9900	7.018	7.088	.9794	.1411	5.294	99.52	99.52	.5266	.5213	5.035
.4180	.4222	2.653	.9901	7.060	7.130	.9795	.1403	5.305	100.7	100.7	.5263	.5211	5.034
.4190	.4231	2.659	.9902	7.102	7.173	.9797	.1394	5.317	101.9	101.9	.5261	.5209	5.033
.4200	.4241	2.665	.9904	7.146	7.215	.9798	.1386	5.329	103.1	103.1	.5258	.5208	5.031
.4210	.4251	2.671	.9905	7.190	7.259	.9800	.1378	5.341	104.4	104.4	.5256	.5206	5.030
.4220	.4260	2.677	.9906	7.234	7.303	.9802	.1369	5.353	105.7	105.7	.5253	.5204	5.029
.4230	.4270	2.683	.9907	7.279	7.349	.9804	.1361	5.366	107.0	107.0	.5251	.5202	5.028
.4240	.4280	2.689	.9908	7.325	7.392	.9806	.1353	5.378	108.3	108.3	.5248	.5200	5.027
.4250	.4289	2.695	.9909	7.371	7.438	.9808	.1345	5.390	109.	109.7	.5246	.5198	5.026
.4260	.4298	2.701	.9910	7.412	7.479	.9810	.1337	5.402	110.9	110.9	.5244	.5196	5.025
.4270	.4308	2.707	.9911	7.457	7.524	.9811	.1329	5.414	112.2	112.2	.5241	.5195	5.024
.4280	.4318	2.713	.9912	7.503	7.570	.9812	.1321	5.426	113.6	113.6	.5239	.5193	5.023
.4290	.4328	2.719	.9913	7.550	7.616	.9814	.1313	5.438	115.0	115.0	.5237	.5191	5.022
.4300	.4337	2.725	.9914	7.595	7.661	.9816	.1305	5.450	116.4	116.4	.5234	.5189	5.021
.4310	.4347	2.731	.9915	7.642	7.707	.9818	.1298	5.462	117.8	117.8	.5232	.5187	5.020
.4320	.4356	2.737	.9916	7.688	7.753	.9819	.1290	5.474	119.2	119.3	.5230	.5186	5.019
.4330	.4366	2.743	.9917	7.735	7.800	.9821	.1282	5.486	120.7	120.7	.5227	.5184	5.018
.4340	.4376	2.749	.9918	7.783	7.847	.9823	.1274	5.499	122.2	122.2	.5225	.5182	5.017
.4350	.4385	2.755	.9919	7.831	7.895	.9824	.1267	5.511	123.7	123.7	.5223	.5181	5.016
.4360	.4395	2.762	.9920	7.880	7.943	.9826	.1259	5.523	125.2	125.2	.5221	.5179	5.015
.4370	.4405	2.768	.9921	7.922	7.991	.9828	.1251	5.535	126.7	126.7	.5218	.5177	5.014
.4380	.4415	2.774	.9922	7.975	8.035	.9829	.1244	5.547	128.3	128.3	.5216	.5176	5.013
.4390	.4424	2.780	.9923	8.026	8.088	.9830	.1236	5.560	129.9	129.9	.5214	.5174	5.012
.4400	.4434	2.786	.9924	8.075	8.136	.9832	.1229	5.572	131.4	131.4	.5212	.5172	5.011
.4410	.4443	2.792	.9925	8.124	8.185	.9833	.1222	5.584	133.0	133.0	.5210	.5171	5.010
.4420	.4453	2.798	.9926	8.175	8.236	.9835	.1214	5.596	134.7	134.7	.5208	.5169	5.009
.4430	.4463	2.804	.9927	8.228	8.285	.9836	.1207	5.608	136.3	136.3	.5206	.5168	5.008
.4440	.4472	2.810	.9928	8.274	8.334	.9838	.1200	5.620	137.9	137.9	.5204	.5166	5.007
.4450	.4482	2.816	.9929	8.326	8.387	.9839	.1192	5.632	139.6	139.7	.5202	.5165	5.006
.4460	.4492	2.822	.9930	8.379	8.438	.9841	.1185	5.644	141.4	141.4	.5200	.5163	5.005
.4470	.4501	2.828	.9930	8.427	8.486	.9843	.1178	5.657	143.1	143.1	.5198	.5161	5.005
.4480	.4511	2.834	.9931	8.481	8.540	.9844	.1171	5.669	144.8	144.8	.5196	.5160	5.004
.4490	.4521	2.840	.9932	8.532	8.590	.9846	.1164	5.681	146.6	146.6	.5194	.5158	5.003

Table C-1 Continued

d/L_o	d/L	$2^n d/L$	TANH $2^n d/L$	SINH $2^n d/L$	COSH $2^n d/L$	H/H' _o	K	$4^n d/L$	SINH $4^n d/L$	COSH $4^n d/L$	n	c_o/c_o	M
.4500	.4531	2.847	.9933	8.585	8.643	.9847	.1157	5.693	148.4	148.4	.5192	.5151	5.002
.4510	.4540	2.853	.9934	8.638	8.695	.9848	.1150	5.705	150.2	150.2	.5190	.5156	5.001
.4520	.4550	2.859	.9935	8.693	8.750	.9849	.1143	5.717	152.1	152.1	.5188	.5154	5.000
.4530	.4560	2.865	.9935	8.747	8.804	.9851	.1136	5.730	154.0	154.0	.5186	.5152	5.000
.4540	.4569	2.871	.9936	8.797	8.854	.9852	.1129	5.742	155.9	155.9	.5184	.5151	4.999
.4550	.4579	2.877	.9937	8.853	8.910	.9853	.1122	5.754	157.7	157.7	.5182	.5150	4.998
.4560	.4589	2.883	.9938	8.910	8.965	.9855	.1115	5.766	159.7	159.7	.5181	.5148	4.997
.4570	.4599	2.890	.9938	8.965	9.021	.9857	.1109	5.779	161.7	161.7	.5179	.5146	4.997
.4580	.4608	2.896	.9939	9.016	9.072	.9858	.1102	5.791	163.6	163.6	.5177	.5145	4.996
.4590	.4618	2.902	.9940	9.074	9.129	.9859	.1095	5.803	165.6	165.6	.5175	.5144	4.995
.4600	.4628	2.908	.9941	9.132	9.186	.9860	.1089	5.815	167.7	167.7	.5173	.5143	4.994
.4610	.4637	2.914	.9941	9.183	9.238	.9862	.1083	5.827	169.7	169.7	.5172	.5141	4.994
.4620	.4647	2.920	.9942	9.242	9.296	.9863	.1076	5.840	171.8	171.8	.5170	.5140	4.993
.4630	.4657	2.926	.9943	9.301	9.354	.9864	.1069	5.852	173.9	173.9	.5168	.5139	4.992
.4640	.4666	2.932	.9944	9.353	9.406	.9865	.1063	5.864	176.0	176.0	.5167	.5138	4.991
.4650	.4676	2.938	.9944	9.413	9.466	.9867	.1056	5.876	178.2	178.2	.5165	.5136	4.991
.4660	.4686	2.944	.9945	9.472	9.525	.9868	.1050	5.888	180.4	180.4	.5163	.5135	4.990
.4670	.4695	2.951	.9946	9.533	9.585	.9869	.1043	5.900	182.6	182.6	.5162	.5134	4.989
.4680	.4705	2.957	.9946	9.586	9.638	.9871	.1037	5.912	184.8	184.8	.5160	.5132	4.989
.4690	.4715	2.963	.9947	9.647	9.699	.9872	.1031	5.925	187.2	187.2	.5158	.5131	4.988
.4700	.4725	2.969	.9947	9.709	9.760	.9873	.1025	5.937	189.5	189.5	.5157	.5129	4.988
.4710	.4735	2.975	.9948	9.770	9.821	.9874	.1018	5.949	191.8	191.8	.5155	.5128	4.987
.4720	.4744	2.981	.9949	9.826	9.877	.9875	.1012	5.962	194.2	194.2	.5154	.5127	4.986
.4730	.4754	2.987	.9949	9.888	9.938	.9876	.1006	5.974	196.5	196.5	.5152	.5126	4.986
.4740	.4764	2.993	.9950	9.951	10.00	.9877	.1000	5.986	199.0	199.0	.5150	.5125	4.985
.4750	.4774	2.999	.9951	10.01	10.07	.9878	.09942	5.999	201.4	201.4	.5149	.5124	4.984
.4760	.4783	3.005	.9951	10.07	10.12	.9880	.09882	6.011	203.9	203.9	.5147	.5122	4.984
.4770	.4793	3.012	.9952	10.13	10.18	.9881	.09820	6.023	206.5	206.5	.5146	.5121	4.983
.4780	.4803	3.018	.9952	10.20	10.25	.9882	.09759	6.036	209.0	209.0	.5144	.5120	4.983
.4790	.4813	3.024	.9953	10.26	10.31	.9883	.09698	6.048	211.7	211.7	.5143	.5119	4.982
.4800	.4822	3.030	.9953	10.32	10.37	.9885	.09641	6.060	214.2	214.2	.5142	.5117	4.982
.4810	.4832	3.036	.9954	10.39	10.43	.9886	.09583	6.072	216.8	216.8	.5140	.5116	4.981
.4820	.4842	3.042	.9955	10.45	10.50	.9887	.09523	6.085	219.5	219.5	.5139	.5115	4.980
.4830	.4852	3.049	.9955	10.52	10.57	.9888	.09464	6.097	222.2	222.2	.5137	.5114	4.980
.4840	.4862	3.055	.9956	10.59	10.63	.9889	.09405	6.109	225.0	225.0	.5136	.5113	4.979
.4850	.4871	3.061	.9956	10.65	10.69	.9890	.09352	6.121	228.3	228.3	.5134	.5112	4.979
.4860	.4881	3.067	.9957	10.71	10.76	.9891	.09294	6.134	230.6	230.6	.5133	.5111	4.978
.4870	.4891	3.073	.9957	10.78	10.83	.9892	.09236	6.146	233.5	233.5	.5132	.5110	4.978
.4880	.4901	3.079	.9958	10.85	10.90	.9893	.09178	6.159	236.4	236.4	.5130	.5109	4.977
.4890	.4911	3.086	.9958	10.92	10.96	.9895	.09121	6.171	239.6	239.6	.5129	.5107	4.977
.4900	.4920	3.092	.9959	10.99	11.03	.9896	.09064	6.183	242.3	242.3	.5128	.5106	4.976
.4910	.4930	3.098	.9959	11.05	11.09	.9897	.09010	6.195	245.2	245.2	.5126	.5105	4.976
.4920	.4940	3.104	.9960	11.12	11.16	.9898	.08956	6.208	248.3	248.3	.5125	.5104	4.975
.4930	.4950	3.110	.9960	11.19	11.24	.9899	.08901	6.220	251.3	251.3	.5124	.5103	4.975
.4940	.4960	3.117	.9961	11.26	11.31	.9899	.08845	6.232	254.5	254.5	.5122	.5102	4.974
.4950	.4969	3.122	.9961	11.32	11.37	.9900	.08793	6.245	257.6	257.6	.5121	.5101	4.974
.4960	.4979	3.128	.9962	11.40	11.44	.9901	.08741	6.257	260.8	260.8	.5120	.5100	4.973
.4970	.4989	3.135	.9962	11.47	11.51	.9902	.08691	6.269	264.0	264.0	.5119	.5099	4.973
.4980	.4999	3.141	.9963	11.54	11.59	.9903	.08637	6.282	267.3	267.3	.5118	.5098	4.972
.4990	.5009	3.147	.9963	11.61	11.65	.9904	.08584	6.294	270.6	270.6	.5116	.5097	4.972
.5000	.5018	3.153	.9964	11.68	11.72	.9905	.08530	6.306	274.0	274.0	.5115	.5096	4.971
.5010	.5028	3.159	.9964	11.75	11.80	.9906	.08477	6.319	277.5	277.5	.5114	.5095	4.971
.5020	.5038	3.166	.9964	11.83	11.87	.9907	.08424	6.331	280.8	280.8	.5113	.5094	4.971
.5030	.5048	3.172	.9965	11.91	11.95	.9908	.08371	6.343	284.3	284.3	.5112	.5093	4.970
.5040	.5058	3.178	.9965	11.98	12.02	.9909	.08320	6.356	287.9	287.9	.5110	.5092	4.970
.5050	.5067	3.184	.9966	12.05	12.09	.9909	.08270	6.368	291.4	291.4	.5109	.5092	4.969
.5060	.5077	3.190	.9966	12.12	12.16	.9910	.08220	6.380	295.0	295.0	.5108	.5091	4.969
.5070	.5087	3.196	.9967	12.20	12.24	.9911	.08169	6.393	298.7	298.7	.5107	.5090	4.968
.5080	.5097	3.203	.9967	12.28	12.32	.9912	.08119	6.405	302.4	302.4	.5106	.5089	4.968
.5090	.5107	3.209	.9968	12.35	12.39	.9913	.08068	6.417	306.2	306.2	.5105	.5088	4.967

Table C-1 Continued

d/L_o	d/L	$2\pi d/L$	TANH $\frac{2\pi d}{L}$	SINH $\frac{2\pi d}{L}$	COSH $\frac{2\pi d}{L}$	H/H' $_o$	K	$4\pi d/L$	SINH $\frac{4\pi d}{L}$	COSH $\frac{4\pi d}{L}$	n	c_c/c_o	η
.5700	.5709	3.587	.9985	18.05	18.08	.9953	.05532	7.174	657.4	657.4	.5055	.5047	4.950
.5710	.5719	3.593	.9985	18.16	18.19	.9953	.05497	7.186	660.5	660.5	.5054	.5047	4.950
.5720	.5729	3.600	.9985	18.28	18.31	.9954	.05463	7.199	668.8	668.8	.5054	.5046	4.950
.5730	.5738	3.606	.9985	18.39	18.42	.9954	.05430	7.211	677.2	677.2	.5053	.5046	4.950
.5740	.5748	3.612	.9985	18.50	18.53	.9955	.05396	7.224	685.6	685.6	.5053	.5045	4.950
.5750	.5758	3.618	.9986	18.62	18.64	.9955	.05363	7.236	694.3	694.3	.5052	.5045	4.949
.5760	.5768	3.624	.9986	18.73	18.76	.9956	.05330	7.249	703.2	703.2	.5052	.5044	4.949
.5770	.5778	3.630	.9986	18.85	18.88	.9956	.05297	7.261	711.9	711.9	.5051	.5044	4.949
.5780	.5788	3.637	.9986	18.97	19.00	.9957	.05264	7.274	720.8	720.8	.5051	.5043	4.949
.5790	.5798	3.643	.9986	19.09	19.12	.9957	.05231	7.286	729.9	729.9	.5050	.5043	4.949
.5800	.5808	3.649	.9987	19.21	19.24	.9957	.05198	7.298	739.0	739.0	.5049	.5043	4.948
.5810	.5818	3.656	.9987	19.33	19.36	.9958	.05166	7.311	748.1	748.1	.5049	.5042	4.948
.5820	.5828	3.662	.9987	19.45	19.48	.9958	.05134	7.323	757.5	757.5	.5048	.5042	4.948
.5830	.5838	3.668	.9987	19.58	19.60	.9959	.05102	7.336	767.0	767.0	.5048	.5041	4.948
.5840	.5848	3.674	.9987	19.70	19.73	.9959	.05070	7.348	776.7	776.7	.5047	.5041	4.948
.5850	.5858	3.680	.9987	19.81	19.84	.9960	.05040	7.361	786.5	786.5	.5047	.5040	4.948
.5860	.5867	3.686	.9987	19.94	19.96	.9960	.05009	7.373	796.4	796.4	.5046	.5040	4.948
.5870	.5877	3.693	.9988	20.06	20.09	.9960	.04978	7.386	806.5	806.5	.5046	.5040	4.947
.5880	.5887	3.699	.9988	20.19	20.21	.9961	.04947	7.398	816.5	816.5	.5045	.5039	4.947
.5890	.5897	3.705	.9988	20.32	20.34	.9961	.04916	7.411	826.7	826.7	.5045	.5039	4.947
.5900	.5907	3.712	.9988	20.45	20.47	.9962	.04885	7.423	837.1	837.1	.5044	.5038	4.947
.5910	.5917	3.718	.9988	20.57	20.60	.9962	.04855	7.436	847.6	847.6	.5044	.5038	4.947
.5920	.5927	3.724	.9988	20.70	20.73	.9963	.04824	7.448	858.2	858.2	.5043	.5037	4.947
.5930	.5937	3.730	.9989	20.83	20.86	.9963	.04794	7.460	868.9	868.9	.5043	.5037	4.946
.5940	.5947	3.737	.9989	20.97	20.99	.9963	.04764	7.473	879.8	879.8	.5043	.5037	4.946
.5950	.5957	3.743	.9989	21.10	21.12	.9964	.04735	7.485	890.8	890.8	.5042	.5036	4.946
.5960	.5967	3.749	.9989	21.23	21.25	.9964	.04706	7.498	901.9	901.9	.5042	.5036	4.946
.5970	.5977	3.755	.9989	21.35	21.37	.9964	.04677	7.510	913.4	913.4	.5041	.5036	4.946
.5980	.5987	3.761	.9989	21.49	21.51	.9965	.04648	7.523	925.0	925.0	.5041	.5035	4.946
.5990	.5996	3.767	.9989	21.62	21.64	.9965	.04619	7.535	936.5	936.5	.5040	.5035	4.946
.6000	.6006	3.774	.9990	21.76	21.78	.9965	.04591	7.548	948.1	948.1	.5040	.5035	4.945
.6100	.6106	3.836	.9991	23.17	23.19	.9969	.04313	7.673	1,074	1,074	.5036	.5031	4.944
.6200	.6205	3.899	.9992	24.66	24.68	.9972	.04052	7.798	1,217	1,217	.5032	.5028	4.943
.6300	.6305	3.961	.9993	26.25	26.27	.9975	.03806	7.923	1,379	1,379	.5029	.5025	4.942
.6400	.6404	4.024	.9994	27.95	27.97	.9977	.03576	8.048	1,527	1,527	.5026	.5023	4.941
.6500	.6504	4.086	.9994	29.75	29.77	.9980	.03359	8.173	1,771	1,771	.5023	.5020	4.940
.6600	.6603	4.149	.9995	31.68	31.69	.9982	.03155	8.298	2,008	2,008	.5021	.5018	4.940
.6700	.6703	4.212	.9996	33.73	33.74	.9983	.02964	8.423	2,275	2,275	.5019	.5017	4.939
.6800	.6803	4.274	.9996	35.90	35.92	.9985	.02784	8.548	2,579	2,579	.5017	.5015	4.939
.6900	.6902	4.337	.9997	38.23	38.24	.9987	.02615	8.674	2,923	2,923	.5015	.5013	4.938
.7000	.7002	4.400	.9997	40.71	40.72	.9988	.02456	8.799	3,314	3,314	.5013	.5012	4.938
.7100	.7102	4.462	.9997	43.34	43.35	.9989	.02307	8.925	3,757	3,757	.5012	.5011	4.937
.7200	.7202	4.525	.9998	46.14	46.15	.9990	.02167	9.050	4,258	4,258	.5011	.5010	4.937
.7300	.7302	4.588	.9998	49.13	49.14	.9991	.02035	9.175	4,828	4,828	.5010	.5009	4.937
.7400	.7401	4.650	.9998	52.31	52.32	.9992	.01911	9.301	5,473	5,473	.5009	.5008	4.937
.7500	.7501	4.713	.9998	55.70	55.71	.9993	.01795	9.426	6,204	6,204	.5008	.5007	4.936
.7600	.7601	4.776	.9999	59.31	59.31	.9994	.01666	9.552	7,034	7,034	.5007	.5006	4.936
.7700	.7701	4.839	.9999	63.15	63.16	.9995	.01583	9.677	7,976	7,976	.5006	.5005	4.936
.7800	.7801	4.902	.9999	67.24	67.25	.9996	.01487	9.803	9,042	9,042	.5005	.5004	4.936
.7900	.7901	4.964	.9999	71.60	71.60	.9996	.01397	9.929	10,250	10,250	.5005	.5004	4.936
.8000	.8001	5.027	.9999	76.24	76.24	.9996	.01312	10.05	11,620	11,620	.5004	.5004	4.936
.8100	.8101	5.090	.9999	81.18	81.19	.9996	.01232	10.18	13,180	13,180	.5004	.5004	4.936
.8200	.8201	5.153	.9999	86.44	86.44	.9997	.01157	10.31	14,940	14,940	.5003	.5003	4.935
.8300	.8301	5.215	.9999	92.04	92.05	.9997	.01086	10.43	17,340	17,340	.5003	.5003	4.935
.8400	.8400	5.278	1.000	96.00	98.01	.9997	.01020	10.56	19,210	19,210	.5003	.5003	4.935
.8500	.8500	5.341	1.000	104.4	104.4	.9998	.009582	10.68	21,780	21,780	.5002	.5002	4.935
.8600	.8600	5.404	1.000	111.1	111.1	.9998	.009000	10.81	24,690	24,690	.5002	.5002	4.935
.8700	.8700	5.467	1.000	118.3	118.3	.9998	.008451	10.93	26,000	26,000	.5002	.5002	4.935
.8800	.8800	5.529	1.000	126.0	126.0	.9998	.007934	11.06	31,750	31,750	.5002	.5002	4.935
.8900	.8900	5.592	1.000	134.2	134.2	.9998	.007454	11.18	36,000	36,000	.5002	.5002	4.935

Table C - 1 Continued

a/L_o	a/L	$2\pi a/L$	$TANH \frac{2\pi a}{L}$	$SINH \frac{2\pi a}{L}$	$COSH \frac{2\pi a}{L}$	H/H_o	K	$4\pi a/L$	$SINH \frac{4\pi a}{L}$	$COSH \frac{4\pi a}{L}$	n	C_G/C_o	m
.5100	.5117	3.215	.9968	12.43	12.47	.9914	.08022	6.430	310.0	310.0	.5104	.5087	4.967
.5110	.5126	3.221	.9968	12.50	12.54	.9915	.07972	6.442	313.8	313.8	.5103	.5086	4.967
.5120	.5136	3.227	.9969	12.58	12.62	.9915	.07922	6.454	317.7	317.7	.5102	.5086	4.966
.5130	.5146	3.233	.9969	12.66	12.70	.9916	.07873	6.467	321.7	321.7	.5101	.5085	4.966
.5140	.5156	3.240	.9970	12.74	12.78	.9917	.07821	6.479	325.7	325.7	.5100	.5084	4.965
.5150	.5166	3.246	.9970	12.82	12.86	.9918	.07776	6.491	329.7	329.7	.5098	.5083	4.965
.5160	.5176	3.252	.9970	12.90	12.94	.9919	.07729	6.504	333.8	333.8	.5097	.5082	4.965
.5170	.5185	3.258	.9971	12.98	13.02	.9919	.07682	6.516	337.9	337.9	.5096	.5082	4.964
.5180	.5195	3.264	.9971	13.06	13.10	.9920	.07634	6.529	342.2	342.2	.5095	.5081	4.964
.5190	.5205	3.270	.9971	13.14	13.18	.9921	.07587	6.541	346.4	346.4	.5094	.5080	4.964
.5200	.5215	3.277	.9972	13.22	13.26	.9922	.07540	6.553	350.7	350.7	.5093	.5079	4.963
.5210	.5225	3.283	.9972	13.31	13.35	.9923	.07491	6.566	355.1	355.1	.5092	.5078	4.963
.5220	.5235	3.289	.9972	13.39	13.43	.9924	.07449	6.578	359.6	359.6	.5092	.5077	4.963
.5230	.5244	3.295	.9973	13.47	13.51	.9924	.07404	6.590	364.0	364.0	.5091	.5077	4.962
.5240	.5254	3.301	.9973	13.55	13.59	.9925	.07358	6.603	368.5	368.5	.5090	.5076	4.962
.5250	.5264	3.308	.9973	13.64	13.68	.9926	.07312	6.615	373.1	373.1	.5089	.5075	4.962
.5260	.5274	3.314	.9974	13.73	13.76	.9927	.07266	6.628	377.8	377.8	.5088	.5074	4.961
.5270	.5284	3.320	.9974	13.81	13.85	.9927	.07221	6.640	382.5	382.5	.5087	.5074	4.961
.5280	.5294	3.326	.9974	13.90	13.94	.9928	.07177	6.652	387.3	387.3	.5086	.5073	4.961
.5290	.5304	3.333	.9975	13.99	14.02	.9929	.07134	6.665	392.2	392.2	.5085	.5072	4.960
.5300	.5314	3.339	.9975	14.07	14.10	.9930	.07091	6.677	397.0	397.0	.5084	.5071	4.960
.5310	.5323	3.345	.9975	14.16	14.19	.9931	.07047	6.690	402.0	402.0	.5083	.5070	4.960
.5320	.5333	3.351	.9976	14.25	14.28	.9931	.07003	6.702	406.9	406.9	.5082	.5070	4.959
.5330	.5343	3.357	.9976	14.34	14.37	.9932	.06959	6.714	412.0	412.0	.5082	.5069	4.959
.5340	.5353	3.363	.9976	14.43	14.46	.9933	.06915	6.727	417.2	417.2	.5081	.5068	4.959
.5350	.5363	3.370	.9976	14.52	14.55	.9933	.06872	6.739	422.4	422.4	.5080	.5068	4.959
.5360	.5373	3.376	.9977	14.61	14.64	.9934	.06829	6.752	427.7	427.7	.5079	.5067	4.958
.5370	.5383	3.382	.9977	14.70	14.73	.9935	.06787	6.764	433.1	433.1	.5078	.5066	4.958
.5380	.5393	3.388	.9977	14.79	14.82	.9935	.06746	6.776	438.5	438.5	.5077	.5066	4.958
.5390	.5402	3.394	.9977	14.88	14.91	.9936	.06705	6.789	444.0	444.0	.5077	.5065	4.958
.5400	.5412	3.401	.9978	14.97	15.01	.9936	.06664	6.801	449.5	449.5	.5076	.5065	4.957
.5410	.5422	3.407	.9978	15.07	15.10	.9937	.06623	6.814	455.1	455.1	.5075	.5064	4.957
.5420	.5432	3.413	.9978	15.16	15.19	.9938	.06582	6.826	460.7	460.7	.5074	.5063	4.957
.5430	.5442	3.419	.9979	15.25	15.29	.9938	.06542	6.838	466.4	466.4	.5073	.5063	4.956
.5440	.5452	3.426	.9979	15.35	15.38	.9939	.06501	6.851	472.2	472.2	.5073	.5062	4.956
.5450	.5461	3.432	.9979	15.45	15.48	.9940	.06461	6.863	478.1	478.1	.5072	.5061	4.956
.5460	.5471	3.438	.9979	15.54	15.58	.9941	.06420	6.876	484.3	484.3	.5071	.5060	4.956
.5470	.5481	3.444	.9980	15.64	15.67	.9941	.06380	6.888	490.3	490.3	.5070	.5060	4.955
.5480	.5491	3.450	.9980	15.74	15.77	.9942	.06341	6.901	496.4	496.4	.5070	.5059	4.955
.5490	.5501	3.456	.9980	15.84	15.87	.9942	.06302	6.913	502.5	502.5	.5069	.5059	4.955
.5500	.5511	3.463	.9980	15.94	15.97	.9942	.06263	6.925	508.7	508.7	.5068	.5058	4.955
.5510	.5521	3.469	.9981	16.04	16.07	.9942	.06221	6.937	515.0	515.0	.5067	.5058	4.954
.5520	.5531	3.475	.9981	16.14	16.17	.9943	.06186	6.950	521.6	521.6	.5067	.5057	4.954
.5530	.5541	3.481	.9981	16.24	16.27	.9944	.06148	6.962	528.1	528.1	.5066	.5056	4.954
.5540	.5551	3.488	.9981	16.34	16.37	.9944	.06110	6.975	534.8	534.8	.5065	.5056	4.954
.5550	.5560	3.494	.9982	16.44	16.47	.9945	.06073	6.987	541.4	541.4	.5065	.5056	4.953
.5560	.5570	3.500	.9982	16.54	16.57	.9945	.06035	7.000	548.1	548.1	.5064	.5055	4.953
.5570	.5580	3.506	.9982	16.65	16.68	.9946	.05997	7.012	554.9	554.9	.5063	.5054	4.953
.5580	.5590	3.512	.9982	16.75	16.78	.9947	.05960	7.025	562.0	562.0	.5063	.5053	4.953
.5590	.5600	3.519	.9982	16.85	16.88	.9947	.05923	7.037	569.1	569.1	.5062	.5053	4.953
.5600	.5610	3.525	.9983	16.96	16.99	.9947	.05887	7.050	576.1	576.1	.5061	.5053	4.952
.5610	.5620	3.531	.9983	17.06	17.09	.9948	.05850	7.062	583.3	583.3	.5061	.5052	4.952
.5620	.5630	3.537	.9983	17.17	17.20	.9949	.05814	7.074	590.7	590.7	.5060	.5051	4.952
.5630	.5640	3.543	.9983	17.28	17.31	.9949	.05778	7.087	598.0	598.0	.5059	.5051	4.952
.5640	.5649	3.550	.9984	17.38	17.41	.9950	.05743	7.099	605.0	605.0	.5059	.5050	4.951
.5650	.5659	3.556	.9984	17.49	17.52	.9950	.05707	7.112	613.2	613.2	.5058	.5050	4.951
.5660	.5669	3.562	.9984	17.60	17.63	.9951	.05672	7.124	620.8	620.8	.5057	.5049	4.951
.5670	.5679	3.568	.9984	17.71	17.74	.9951	.05637	7.136	628.5	628.5	.5057	.5049	4.951
.5680	.5689	3.575	.9984	17.82	17.85	.9952	.05602	7.149	636.4	636.4	.5056	.5048	4.951
.5690	.5699	3.581	.9985	17.94	17.97	.9952	.05567	7.161	644.3	644.3	.5056	.5048	4.950

Table C-1 Continued

d/L_o	d/L	$2\pi d/L$	TANH $2\pi d/L$	SINH $2\pi d/L$	COSH $2\pi d/L$	H/H'_o	K	$4\pi d/L$	SINH $4\pi d/L$	COSH $4\pi d/L$	n	C_o/C_o	M
.9000	.9000	5.655	1.000	142.9	142.9	.9999	.007000	11.31	40,810	40,810	.5001	.5001	4.935
.9100	.9100	5.718	1.000	152.1	152.1	.9999	.006574	11.44	46,280	46,280	.5001	.5001	4.935
.9200	.9200	5.781	1.000	162.0	162.0	.9999	.006173	11.56	52,470	52,470	.5001	.5001	4.935
.9300	.9300	5.844	1.000	172.5	172.5	.9999	.005797	11.69	59,500	59,500	.5001	.5001	4.935
.9400	.9400	5.906	1.000	183.7	183.7	.9999	.005445	11.81	67,470	67,470	.5001	.5001	4.935
.9500	.9500	5.969	1.000	195.6	195.6	.9999	.005114	11.94	76,490	76,490	.5001	.5001	4.935
.9600	.9600	6.032	1.000	208.2	208.2	.9999	.004802	12.06	86,740	86,740	.5001	.5001	4.935
.9700	.9700	6.095	1.000	221.7	221.7	.9999	.004510	12.19	98,340	98,340	.5001	.5001	4.935
.9800	.9800	6.158	1.000	236.1	236.1	.9999	.004235	12.32	111,500	111,500	.5001	.5001	4.935
.9900	.9900	6.220	1.000	251.4	251.4	1.000	.003977	12.44	126,500	126,500	.5000	.5000	4.935
1.000	1.000	6.283	1.000	267.7	267.7	1.000	.003735	12.57	143,400	143,400	.5000	.5000	4.935

after Wiegel, R. L., "Oscillatory Waves," U.S. Army, Beach Erosion Board, Bulletin, Special Issue No. 1, July 1948.

Table C-2. Functions of d/L for Even Increments of d/L . (from 0.0001 to 1.000)

d/L	d/L_o	$2\pi d/L$	TANH $2\pi d/L$	SINH $2\pi d/L$	COSH $2\pi d/L$	H/H'_o	K	$4\pi d/L$	SINH $4\pi d/L$	COSH $4\pi d/L$	a	C_o/C_o	M
0	0	0	0	0	1.0000	∞	1.000	0	0	1.000	1.000	0	∞
.0001000	.0000000	.6283	.0006283	.0006283	1.0000	28.21	1.000	.001257	.001257	1.000	1.000	.0006283	12,500,000
.0002000	.0000000	.2514	.001257	.001257	1.0000	19.95	1.000	.002513	.002513	1.000	1.000	.001257	3,125,000
.0003000	.0000000	.5655	.001885	.001885	1.0000	16.29	1.000	.003770	.003770	1.000	1.000	.001885	1,389,000
.0004000	.0000000	.1005	.002513	.002513	1.0000	14.10	1.000	.005027	.005027	1.000	1.000	.002513	781,300
.0005000	.0000000	.1571	.003142	.003142	1.0000	12.62	1.000	.006283	.006283	1.000	1.000	.003142	500,000
.0006000	.0000000	.2262	.003770	.003770	1.0000	11.52	1.000	.007540	.007540	1.000	1.000	.003770	347,200
.0007000	.0000000	.3079	.004398	.004398	1.0000	10.66	1.000	.008796	.008797	1.000	1.000	.004398	255,100
.0008000	.0000000	.4022	.005027	.005027	1.0000	9.974	1.000	.01005	.01005	1.000	1.000	.005026	195,300
.0009000	.0000000	.5070	.005655	.005655	1.0000	9.403	1.000	.01131	.01131	1.000	1.000	.005655	154,300
.0010000	.0000000	.6283	.006283	.006283	1.0000	8.921	1.000	.01257	.01257	1.000	1.000	.006283	125,000
.0011000	.0000000	.7603	.006912	.006912	1.0000	8.506	1.000	.01382	.01382	1.000	1.000	.006911	103,300
.0012000	.0000000	.9048	.007540	.007540	1.0000	8.144	1.000	.01508	.01508	1.000	1.000	.007540	86,810
.0013000	.0000000	.1062	.008168	.008168	1.0000	7.824	1.000	.01634	.01634	1.000	1.000	.008168	73,970
.0014000	.0000000	.1231	.008796	.008796	1.0000	7.539	1.000	.01759	.01759	1.000	1.000	.008796	63,780
.0015000	.0000000	.1414	.009425	.009425	1.0000	7.284	1.000	.01885	.01885	1.000	1.000	.009424	55,560
.0016000	.0000000	.1608	.01005	.01005	1.0000	7.052	.9999	.02011	.02011	1.000	1.000	.01005	48,830
.0017000	.0000000	.1816	.01068	.01068	1.0000	6.862	.9999	.02136	.02136	1.000	1.000	.01068	43,260
.0018000	.0000000	.2036	.01131	.01131	1.0000	6.649	.9999	.02262	.02262	1.000	1.000	.01131	38,580
.0019000	.0000000	.2269	.01194	.01194	1.0000	6.472	.9999	.02388	.02388	1.000	1.000	.01194	34,630

TABLE 7-1

Diffraction coefficient for incident wave (α_1) and reflected wave ($360^\circ - 2\theta + \alpha_1$)¹

α°	R/L	$K \times 1000$									
		1	2	3	4	5	6	8	10	15	20
0		500	500	500	500	500	500	500	500	500	500
2		476	466	459	453	448	443	435	428	413	402
4		453	435	422	411	402	393	379	367	344	325
6		431	406	388	373	361	350	332	317	288	266
8		411	379	357	340	325	313	292	275	244	222
10		392	355	329	310	294	280	258	241	210	188
12		373	332	304	283	267	253	230	213	182	162
14		356	311	282	260	243	229	207	190	161	141
16		340	292	262	240	222	208	187	170	143	125
18		325	275	244	221	204	191	170	154	128	112
20		310	259	228	205	189	175	155	140	116	101
25		278	225	194	173	157	145	127	115	94	82
30		251	197	168	148	134	123	107	96	79	69
35		228	175	147	129	116	107	93	83	68	59
40		208	157	131	115	103	94	82	73	60	52
45		191	142	118	103	92	84	73	66	54	46
50		176	130	107	93	84	77	66	59	49	42
55		164	120	99	86	77	70	61	54	44	39
60		153	111	91	79	71	65	56	50	41	36
65		143	104	85	74	66	60	52	47	38	33
70		135	97	80	69	62	57	49	44	36	31
75		128	92	75	65	58	53	46	41	34	29
80		122	87	71	62	55	51	44	39	32	28
85		116	83	68	59	53	48	42	37	30	26
90		111	79	65	56	50	46	40	36	29	25
95		107	76	62	54	48	44	38	34	28	24
100		103	73	60	52	46	42	37	33	27	23
105		99	71	58	50	45	41	35	32	26	22
110		96	69	56	49	43	40	34	31	25	22
115		94	67	54	47	42	39	33	30	24	21
120		91	65	53	46	41	38	32	29	24	21
125		89	63	52	45	40	37	32	28	23	20
130		87	62	51	44	39	36	31	28	23	20
135		86	61	50	43	39	35	30	27	22	19
140		84	60	49	42	38	35	30	27	22	19
145		83	59	48	42	37	34	29	26	22	19
150		82	58	48	41	37	34	29	26	21	18
160		80	57	47	40	36	33	29	26	21	18
170		80	56	46	40	36	33	28	25	21	18
180		79	56	46	40	36	32	28	25	21	18

¹ For $\theta < 60^\circ$ and $R/L < 3$, add 0.1 to K .

tab= resultat enligt Silvester.
DP= resultat enligt Redsea.

INFALLSVINKEL = 15

INFAELSVINKEL = 30

INFALLSVINKEL = 45

INFAELSVINKEL = 60

INFALLSVINKEL = 75

INFAELSVINKEL = 90

INRAELSVINKEL = 105

INFAILLSVINKEL = 120

INFALLSVINKEL = 135

INFALLSVINKEL - 150

INFALLSVINKEL = 165

INFALLSVINKEL = 180

INFALLSVINKEL= 15

Vinkel bakom	1x Väglängden			2x Väglängden			4x Väglängden			6x Väglängden			8x Väglängden			10x Väglängden			
	tab	DP	differans	tab	DP	differans													
Vägbrytaren	15 grader	0,75	0,73	0,02	0,70	0,68	0,02	0,65	0,62	-0,03	0,62	0,60	0,02	0,61	0,59	0,02	0,60	0,59	0,01

INFALLSVINKEL= 30

Vinkel bakom	1x Väglängden			2x Väglängden			4x Väglängden			6x Väglängden			8x Väglängden			10x Väglängden			
	tab	DP	differans	tab	DP	differans													
Vägbrytaren	15 grader	0,54	0,53	0,01	0,44	0,44	0,00	0,35	0,35	0,00	0,30	0,30	0,00	0,27	0,27	0,00	0,25	0,24	0,01
	30 grader	0,65	0,63	0,02	0,61	0,59	0,02	0,58	0,56	0,02	0,57	0,55	0,02	0,56	0,54	0,02	0,55	0,54	0,01

INFALLSVINKEL= 45

Vinkel bakom	1x Väglängden			2x Väglängden			4x Väglängden			6x Väglängden			8x Väglängden			10x Väglängden			
	tab	DP	differans	tab	DP	differans													
Vägbrytaren	15 grader	0,40	0,40	0,00	0,31	0,31	0,00	0,23	0,23	0,00	0,19	0,19	0,00	0,17	0,16	0,01	0,15	0,15	0,00
	30 grader	0,48	0,47	0,01	0,39	0,39	0,00	0,32	0,31	0,01	0,27	0,27	0,00	0,25	0,24	0,02	0,55	0,54	0,33
	45 grader	0,61	0,59	0,02	0,58	0,56	0,02	0,56	0,54	0,02	0,55	0,53	0,02	0,54	0,53	0,01	0,54	0,53	0,01

INFALLSVINKEL= 60

Vinkel bakom	1x Väglängden			2x Väglängden			4x Väglängden			6x Väglängden			8x Väglängden			10x Väglängden			
	tab	DP	differans	tab	DP	differans													
Vägbrytaren	15 grader	0,32	0,32	0,00	0,23	0,23	0,00	0,17	0,17	0,00	0,13	0,14	-0,01	0,12	0,12	0,00	0,11	0,11	0,00
	30 grader	0,36	0,36	0,00	0,28	0,28	0,00	0,21	0,20	0,01	0,17	0,17	0,00	0,15	0,15	0,00	0,14	0,13	0,01
	45 grader	0,45	0,44	0,01	0,37	0,37	0,00	0,30	0,30	0,00	0,26	0,26	0,00	0,24	0,23	0,01	0,21	0,21	0,00
	60 grader	0,59	0,57	0,02	0,57	0,55	0,02	0,55	0,53	0,02	0,54	0,53	0,01	0,53	0,52	0,01	0,53	0,52	0,01

INFALLSVINKEL= 75

Vinkel bakom	1x Väglängden			2x Väglängden			4x Väglängden			6x Väglängden			8x Väglängden			10x Väglängden			
	tab	DP	differans	tab	DP	differans													
Vägbrytaren	15 grader	0,26	0,26	0,00	0,19	0,19	0,00	0,14	0,14	0,00	0,12	0,11	0,01	0,10	0,10	0,00	0,09	0,09	0,00
	30 grader	0,29	0,29	0,00	0,21	0,21	0,00	0,15	0,15	0,00	0,12	0,13	-0,01	0,11	0,11	0,00	0,10	0,10	0,00
	45 grader	0,34	0,34	0,00	0,27	0,26	0,01	0,20	0,19	0,01	0,16	0,16	0,00	0,14	0,14	0,00	0,13	0,13	0,00
	60 grader	0,44	0,43	0,01	0,36	0,36	0,00	0,29	0,29	0,00	0,26	0,25	0,01	0,23	0,23	0,00	0,21	0,21	0,00
	75 grader	0,58	0,56	0,02	0,56	0,54	0,02	0,54	0,53	0,01	0,54	0,52	0,02	0,53	0,52	0,01	0,53	0,52	0,01

INFALLSVINKEL= 90

Vinkel bakom	1x Väglängden			2x Väglängden			4x Väglängden			6x Väglängden			8x Väglängden			10x Väglängden			
	tab	DP	differans	tab	DP	differans													
Vägbrytaren	15 grader	0,23	0,23	0,00	0,16	0,16	0,00	0,12	0,12	0,00	0,09	0,09	0,00	0,09	0,08	0,01	0,07	0,07	0,00
	30 grader	0,24	0,24	0,00	0,18	0,18	0,00	0,13	0,13	0,00	0,11	0,10	0,01	0,09	0,09	0,00	0,08	0,08	0,00
	45 grader	0,28	0,28	0,00	0,20	0,20	0,00	0,14	0,15	-0,01	0,12	0,12	0,00	0,10	0,10	0,00	0,10	0,09	0,01
	60 grader	0,33	0,33	0,00	0,26	0,25	0,01	0,19	0,19	0,00	0,15	0,16	-0,01	0,14	0,14	0,00	0,13	0,12	0,01
	75 grader	0,43	0,42	0,01	0,36	0,35	0,01	0,29	0,29	0,00	0,25	0,25	0,00	0,23	0,22	0,01	0,21	0,20	0,01
	90 grader	0,58	0,56	0,02	0,56	0,54	0,02	0,54	0,53	0,01	0,54	0,52	0,02	0,53	0,52	0,01	0,53	0,52	0,01

INFALLSVINKEL= 105

Vinkel bakom	1x Väglängden			2x Väglängden			4x Väglängden			6x Väglängden			8x Väglängden			10x Väglängden			
	tab	DP	differans	tab	DP	differans													
Vägbrytaren	15 grader	0,19	0,19	0,00	0,13	0,13	0,00	0,09	0,09	0,00	0,08	0,08	0,00	0,07	0,07	0,00	0,06	0,06	0,00
	30 grader	0,19	0,19	0,00	0,14	0,14	0,00	0,10	0,10	0,00	0,08	0,08	0,00	0,07	0,07	0,00	0,06	0,06	0,01
	45 grader	0,21	0,21	0,00	0,15	0,15	0,00	0,11	0,11	0,00	0,08	0,09	-0,01	0,07	0,07	0,00	0,07	0,07	0,00
	60 grader	0,23	0,23	0,00	0,17	0,17	0,00	0,12	0,12	0,00	0,10	0,10	0,00	0,09	0,09	0,00	0,08	0,08	0,00
	75 grader	0,27	0,27	0,00	0,20	0,20	0,00	0,14	0,14	0,00	0,11	0,12	-0,01	0,10	0,10	0,00	0,10	0,09	0,01
	90 grader	0,33	0,33	0,00	0,26	0,25	0,01	0,20	0,19	0,01	0,15	0,16	-0,01	0,14	0,14	0,00	0,13	0,12	0,01
	105 grader	0,44	0,43	0,01	0,36	0,36	0,00</td												

INFALLSVINKEL = 135

Vinkel bakom Vögtryteren	1x Vög längden			2x Vög längden			4x Vög längden			6x Vög längden			8x Vög längden			10x Vög längden		
	tab	DP	differens	tab	DP	differens												
15 grader	0,17	0,15	0,01	0,12	0,12	0,00	0,09	0,09	0,00	0,07	0,07	0,00	0,06	0,06	0,00	0,06	0,06	0,00
30 grader	0,18	0,18	0,00	0,13	0,13	0,00	0,09	0,09	0,00	0,07	0,07	0,00	0,07	0,06	0,01	0,06	0,06	0,00
45 grader	0,19	0,19	0,00	0,14	0,14	0,00	0,10	0,10	0,00	0,08	0,08	0,00	0,07	0,07	0,00	0,07	0,06	0,01
60 grader	0,21	0,21	0,00	0,15	0,15	0,00	0,11	0,11	0,00	0,08	0,09	-0,01	0,08	0,07	0,01	0,07	0,07	0,00
75 grader	0,23	0,23	0,00	0,17	0,17	0,00	0,12	0,12	0,00	0,10	0,10	0,00	0,09	0,09	0,00	0,08	0,08	0,00
90 grader	0,28	0,28	0,00	0,20	0,20	0,00	0,14	0,15	-0,01	0,12	0,12	0,00	0,10	0,10	0,00	0,10	0,09	0,01
105 grader	0,34	0,34	0,00	0,27	0,26	0,01	0,20	0,19	0,01	0,16	0,16	0,00	0,15	0,14	0,01	0,13	0,13	0,00
120 grader	0,61	0,59	0,02	0,58	0,56	0,02	0,56	0,54	0,02	0,55	0,53	0,02	0,54	0,53	0,01	0,54	0,53	0,01
135 grader	0,61	0,59	0,02	0,58	0,56	0,02	0,56	0,54	0,02	0,55	0,53	0,02	0,54	0,53	0,01	0,54	0,53	0,01

INFALLSVINKEL - 150

Vinkel bakom Vägbrytaren	1x Väglängden			2x Väglängden			4x Väglängden			6x Väglängden			8x Väglängden			10x Väglängden		
	tab	DP	differans	tab	DP	differans												
15 grader	0,17	0,17	0,00	0,12	0,12	0,00	0,08	0,08	0,00	0,06	0,07	-0,01	0,06	0,06	0,00	0,06	0,05	0,01
30 grader	0,17	0,17	0,00	0,13	0,12	0,01	0,09	0,09	0,00	0,07	0,07	0,00	0,06	0,06	0,00	0,06	0,05	0,01
45 grader	0,18	0,18	0,00	0,13	0,13	0,00	0,09	0,09	0,00	0,08	0,07	0,01	0,07	0,06	0,01	0,06	0,06	0,00
60 grader	0,19	0,19	0,00	0,14	0,14	0,00	0,10	0,10	0,00	0,09	0,08	0,01	0,07	0,07	0,00	0,07	0,06	0,01
75 grader	0,20	0,21	-0,01	0,15	0,15	0,00	0,11	0,11	0,00	0,09	0,09	0,00	0,08	0,08	0,00	0,07	0,07	0,00
90 grader	0,24	0,24	0,00	0,18	0,18	0,00	0,13	0,13	0,00	0,11	0,10	0,01	0,09	0,09	0,00	0,08	0,08	0,00
105 grader	0,29	0,29	0,00	0,21	0,21	0,00	0,15	0,15	0,00	0,12	0,13	-0,01	0,11	0,11	0,00	0,10	0,10	0,00
120 grader	0,36	0,36	0,00	0,28	0,28	0,00	0,21	0,20	0,01	0,17	0,17	0,00	0,15	0,15	0,00	0,14	0,13	0,01
135 grader	0,48	0,47	0,01	0,39	0,39	0,00	0,32	0,31	0,01	0,27	0,27	0,00	0,25	0,24	0,01	0,22	0,22	0,00
150 grader	0,65	0,63	0,02	0,61	0,59	0,02	0,58	0,56	0,02	0,57	0,55	0,02	0,56	0,54	0,02	0,55	0,54	0,01

INFALLSVINKEL = 165

Vinkel bakom Vägbrytaren	1x Väglängden			2x Väglängden			4x Väglängden			6x Väglängden			8x Väglängden			10x Väglängden		
	tab	DP	differans	tab	DP	differans												
15 grader	0,16	0,16	0,00	0,12	0,11	0,01	0,08	0,08	0,00	0,06	0,07	-0,01	0,06	0,06	0,00	0,06	0,05	0,01
30 grader	0,17	0,17	0,00	0,12	0,12	0,00	0,08	0,08	0,00	0,07	0,07	0,00	0,06	0,06	0,00	0,06	0,05	0,01
45 grader	0,17	0,17	0,00	0,13	0,12	0,01	0,09	0,09	0,00	0,07	0,07	0,00	0,06	0,06	0,00	0,06	0,06	0,00
60 grader	0,19	0,19	0,00	0,13	0,13	0,00	0,09	0,09	0,00	0,08	0,08	0,00	0,07	0,07	0,00	0,06	0,06	0,00
75 grader	0,20	0,20	0,00	0,15	0,12	0,03	0,11	0,09	0,02	0,09	0,08	0,01	0,07	0,07	0,00	0,07	0,06	0,01
90 grader	0,23	0,23	0,00	0,16	0,16	0,00	0,12	0,12	0,00	0,09	0,09	0,00	0,09	0,08	0,01	0,07	0,07	0,00
105 grader	0,26	0,26	0,00	0,19	0,19	0,00	0,14	0,15	-0,01	0,12	0,11	0,01	0,10	0,10	0,00	0,09	0,09	0,00
120 grader	0,32	0,31	0,01	0,23	0,23	0,00	0,17	0,17	0,00	0,13	0,14	-0,01	0,12	0,12	0,00	0,11	0,11	0,00
135 grader	0,40	0,40	0,00	0,31	0,31	0,00	0,23	0,23	0,00	0,19	0,19	0,00	0,17	0,16	0,01	0,15	0,15	0,00
150 grader	0,54	0,53	0,01	0,44	0,44	0,00	0,35	0,35	0,00	0,30	0,30	0,00	0,27	0,27	0,00	0,25	0,24	0,01
165 grader	0,75	0,73	0,02	0,70	0,67	0,03	0,65	0,62	0,03	0,62	0,60	0,02	0,61	0,59	0,02	0,60	0,58	0,02

INFALLSVINKEL = 180

INFALLSVINKEL = 15

Vinkel bakom Vägbrytaren	1x Väglängden			2x Väglängden			4x Väglängden			6x Väglängden			8x Väglängden			10x Väglängden		
	diagr.	DP	differans	diagr.	DP	differans												
15 grader	0,69	0,73	-0,04	0,64	0,67	-0,03	0,62	0,62	'0,00	0,60	0,60	0,00	0,59	0,59	0,00	0,59	0,58	0,01

INFALLSVINKEL = 30

Vinkel bakom Vägbrytaren	1x Väglängden			2x Väglängden			4x Väglängden			6x Väglängden			8x Väglängden			10x Väglängden		
	diagr.	DP	differans	diagr.	DP	differans												
15 grader	0,54	0,53	0,01	0,46	0,44	-0,02	0,37	0,35	0,02	0,33	0,30	0,03	0,29	0,27	0,02	0,24	0,24	0,00
30 grader	0,60	0,63	-0,03	0,58	0,59	-0,01	0,56	0,56	0,00	0,56	0,55	0,01	0,55	0,54	0,01	0,54	0,54	0,00

INFALLSVINKEL = 45

Vinkel bakom Vägbrytaren	1x Väglängden			2x Väglängden			4x Väglängden			6x Väglängden			8x Väglängden			10x Väglängden		
	diagr.	DP	differans	diagr.	DP	differans												
15 grader	0,40	0,40	0,00	0,32	0,31	0,01	0,24	0,23	0,01	0,19	0,19	0,00	0,17	0,16	0,01	0,15	0,15	0,00
30 grader	0,47	0,47	0,00	0,38	0,39	-0,01	0,30	0,31	-0,01	0,28	0,27	0,01	0,25	0,24	0,01	0,23	0,22	0,01
45 grader	0,58	0,59	-0,01	0,55	0,56	-0,01	0,54	0,54	0,00	0,54	0,53	0,01	0,54	0,53	0,01	0,54	0,53	0,01

INFALLSVINKEL = 60

Vinkel bakom Vägbrytaren	1x Väglängden			2x Väglängden			4x Väglängden			6x Väglängden			8x Väglängden			10x Väglängden		
	diagr.	DP	differans	diagr.	DP	differans												
15 grader	0,34	0,32	0,02	0,25	0,23	0,02	0,18	0,17	0,01	0,14	0,14	0,00	0,13	0,12	0,01	0,11	0,11	0,00
30 grader	0,36	0,36	0,00	0,28	0,28	0,00	0,21	0,20	0,01	0,18	0,17	0,01	0,15	0,15	0,00	0,13	0,13	0,00
45 grader	0,44	0,44	0,00	0,37	0,37	0,00	0,30	0,30	0,00	0,27	0,26	0,01	0,23	0,23	0,00	0,22	0,21	0,01
60 grader	0,56	0,57	-0,01	0,55	0,55	0,00	0,55	0,53	0,02	0,53	0,53	0,00	0,53	0,52	0,01	0,53	0,52	0,01

INFALLSVINKEL = 75

Vinkel bakom Vägbrytaren	1x Väglängden			2x Väglängden			4x Väglängden			6x Väglängden			8x Väglängden			10x Väglängden		
	diagr.	DP	differans	diagr.	DP	differans												
15 grader	0,27	0,26	0,01	0,20	0,19	0,01	0,14	0,14	0,00	0,11	0,11	0,00	0,10	0,10	0,00	0,09	0,09	0,00
30 grader	0,30	0,29	0,01	0,23	0,21	0,02	0,17	0,15	0,02	0,13	0,13	0,00	0,11	0,11	0,00	0,10	0,10	0,00
45 grader	0,35	0,34	0,01	0,25	0,26	-0,01	0,20	0,19	0,01	0,17	0,16	0,01	0,15	0,14	0,01	0,13	0,13	0,00
60 grader	0,44	0,43	0,01	0,37	0,36	0,01	0,30	0,29	0,01	0,26	0,25	0,01	0,24	0,23	0,01	0,22	0,21	0,01
75 grader	0,56	0,56	0,00	0,56	0,54	0,02	0,56	0,53	0,03	0,55	0,52	0,00	0,55	0,52	0,03	0,54	0,52	0,02

INFALLSVINKEL = 90

Vinkel bakom Vägbrytaren	1x Väglängden			2x Väglängden			4x Väglängden			6x Väglängden			8x Väglängden			10x Väglängden		
	diagr.	DP	differans	diagr.	DP	differans												
15 grader	0,24	0,23	0,01	0,17	0,16	0,01	0,12	0,12	0,00	0,10	0,09	0,01	0,09	0,08	0,01	0,08	0,07	0,01
30 grader	0,26	0,24	0,02	0,18	0,18	0,00	0,13	0,13	0,00	0,11	0,10	0,01	0,09	0,09	0,00	0,08	0,08	0,00
45 grader	0,29	0,28	0,01	0,20	0,20	0,00	0,15	0,15	0,00	0,12	0,12	0,00	0,11	0,10	0,01	0,09	0,09	0,00
60 grader	0,33	0,33	0,00	0,26	0,25	0,01	0,18	0,19	-0,01	0,16	0,16	0,00	0,14	0,14	0,00	0,13	0,12	0,01
75 grader	0,43	0,42	0,01	0,36	0,35	0,01	0,33	0,29	0,04	0,28	0,25	0,03	0,24	0,22	0,02	0,22	0,20	0,02
90 grader	0,42	0,42	0,00	0,35	0,35	0,00	0,29	0,27	0,02	0,27	0,25	0,02	0,23	0,22	0,01	0,21	0,20	0,01
105 grader	0,57	0,56	0,01	0,54	0,54	0,00	0,53	0,53	0,00	0,53	0,52	0,01	0,53	0,52	0,01	0,53	0,52	0,01

INFALLSVINKEL = 120

Vinkel bakom Vägbrytaren	1x Väglängden			2x Väglängden			4x Väglängden			6x Väglängden			8x Väglängden			10x Väglängden		
	diagr.	DP	differans	diagr.	DP	differans												
15 grader	0,19	0,19	0,00	0,13	0,13	0,00	0,10	0,09	0,01	0,08	0,08	0,00	0,07	0,07	0,00	0,06	0,06	0,00
30 grader	0,19	0,19	0,00	0,14	0,14	0,00	0,10	0,10	0,00	0,08	0,08	0,00	0,07	0,07	0,00	0,07	0,06	0,01
45 grader	0,21	0,21	0,00	0,14	0,15	-0,01	0,11	0,11	0,00	0,09	0,09	0,00	0,08	0,07	0,01	0,07	0,07	0,00
60 grader	0,24	0,23	0,01	0,17	0,17	0,00	0,13	0,12	0,01	0,10	0,10	0,00	0,09	0,08	0,01	0,07	0,08	-0,01
75 grader	0,27	0,27	0,00	0,20	0,20	0,00	0,15	0,14	0,01	0,12	0,12	0,00	0,11	0,10	0,01	0,09	0,09	

INFALLSVINKEL = 135

Vinkel bakom Vägbrytaren	1x Väglängden			2x Väglängden			4x Väglängden			6x Väglängden			8x Väglängden			10x Väglängden		
	degr.	DP	differens	degr.	DP	differens												
15 grader	0,16	0,16	0,02	0,12	0,12	0,00	0,09	0,09	0,00	0,07	0,07	0,00	0,06	0,06	0,00	0,06	0,06	0,00
30 grader	0,18	0,18	0,00	0,11	0,13	-0,02	0,08	0,09	-0,01	0,07	0,07	0,00	0,07	0,06	0,01	0,06	0,06	0,00
45 grader	0,18	0,19	-0,01	0,15	0,14	0,01	0,10	0,10	0,00	0,08	0,08	0,00	0,07	0,07	0,00	0,06	0,06	0,00
60 grader	0,20	0,21	-0,01	0,15	0,15	0,00	0,11	0,11	0,00	0,08	0,09	-0,01	0,08	0,07	0,01	0,07	0,07	0,00
75 grader	0,23	0,23	0,00	0,16	0,17	-0,01	0,13	0,12	0,01	0,10	0,10	0,00	0,09	0,09	0,00	0,08	0,08	0,00
90 grader	0,29	0,28	0,01	0,20	0,20	0,00	0,15	0,15	0,00	0,12	0,12	0,00	0,11	0,10	0,01	0,09	0,09	0,00
105 grader	0,35	0,34	0,01	0,27	0,26	0,01	0,20	0,19	0,01	0,17	0,16	0,01	0,14	0,14	0,00	0,13	0,13	0,00
120 grader	0,44	0,59	-0,15	0,37	0,56	-0,19	0,32	0,54	-0,22	0,28	0,53	-0,25	0,25	0,53	-0,28	0,23	0,53	-0,30
135 grader	0,57	0,59	-0,02	0,57	0,56	0,01	0,56	0,54	0,02	0,55	0,53	0,02	0,55	0,53	0,02	0,56	0,53	0,03

INFALLSVINKEL = 150

Vinkel bakom Vägbrytaren	1x Väglängden			2x Väglängden			4x Väglängden			6x Väglängden			8x Väglängden			10x Väglängden		
	diagr.	DP	differans	diagr.	DP	differans												
15 grader	0,18	0,17	0,01	0,12	0,12	0,00	0,09	0,08	0,01	0,07	0,07	0,00	0,06	0,06	0,00	0,05	0,05	0,00
30 grader	0,18	0,17	0,01	0,12	0,12	0,00	0,09	0,09	0,00	0,07	0,07	0,00	0,06	0,06	0,00	0,05	0,05	0,00
45 grader	0,18	0,18	0,00	0,13	0,13	0,00	0,10	0,09	0,01	0,08	0,07	0,01	0,07	0,06	0,01	0,06	0,06	0,00
60 grader	0,19	0,19	0,00	0,14	0,14	0,00	0,10	0,10	0,00	0,08	0,08	0,00	0,07	0,07	0,00	0,06	0,06	0,00
75 grader	0,20	0,21	-0,01	0,15	0,15	0,00	0,12	0,11	0,01	0,09	0,09	0,00	0,08	0,08	0,00	0,07	0,07	0,00
90 grader	0,25	0,24	0,01	0,18	0,18	0,00	0,13	0,13	0,00	0,10	0,10	0,00	0,09	0,09	0,00	0,08	0,08	0,00
105 grader	0,30	0,29	0,01	0,22	0,21	0,01	0,16	0,15	0,01	0,12	0,13	-0,01	0,11	0,11	0,00	0,10	0,10	0,00
120 grader	0,38	0,36	0,02	0,28	0,28	0,00	0,21	0,20	0,01	0,17	0,17	0,00	0,15	0,15	0,00	0,13	0,13	0,00
135 grader	0,47	0,47	0,00	0,39	0,39	0,00	0,32	0,31	0,01	0,28	0,27	0,01	0,25	0,24	0,01	0,23	0,22	0,01
150 grader	0,65	0,63	0,02	0,60	0,59	0,01	0,57	0,56	0,01	0,55	0,55	0,00	0,55	0,54	0,01	0,54	0,54	0,00

INFALLSVINKEL = 165

Vinkel bakom Vägbrytaren	1x Väglängden			2x Väglängden			4x Väglängden			6x Väglängden			8x Väglängden			10x Väglängden		
	diagr.	DP	differans	diagr.	DP	differans												
15 grader	0,17	0,16	0,01	0,11	0,11	0,00	0,08	0,08	0,00	0,07	0,07	0,00	0,06	0,06	0,00	0,05	0,05	0,00
30 grader	0,17	0,17	0,00	0,12	0,12	0,00	0,09	0,08	0,01	0,07	0,07	0,00	0,06	0,06	0,00	0,06	0,05	0,01
45 grader	0,18	0,17	0,01	0,13	0,12	0,01	0,09	0,09	0,00	0,07	0,07	0,00	0,06	0,06	0,00	0,06	0,06	0,00
60 grader	0,19	0,19	0,00	0,13	0,13	0,00	0,10	0,09	0,01	0,08	0,08	0,00	0,07	0,07	0,00	0,06	0,06	0,00
75 grader	0,20	0,20	0,00	0,14	0,12	0,02	0,11	0,09	0,02	0,08	0,08	0,00	0,07	0,07	0,00	0,06	0,06	0,00
90 grader	0,24	0,23	0,01	0,17	0,16	0,01	0,12	0,12	0,00	0,09	0,09	0,00	0,08	0,08	0,00	0,07	0,07	0,00
105 grader	0,26	0,26	0,00	0,20	0,19	0,01	0,14	0,15	-0,01	0,11	0,11	0,00	0,10	0,10	0,00	0,08	0,09	-0,01
120 grader	0,31	0,31	0,00	0,23	0,23	0,00	0,17	0,17	0,00	0,14	0,14	0,00	0,12	0,12	0,00	0,11	0,11	0,00
135 grader	0,40	0,40	0,00	0,31	0,31	0,00	0,23	0,23	0,00	0,18	0,19	-0,01	0,15	0,16	-0,01	0,13	0,15	-0,02
150 grader	0,56	0,53	0,03	0,46	0,44	0,02	0,37	0,35	0,02	0,32	0,30	0,02	0,27	0,27	0,00	0,23	0,24	-0,01
165 grader	0,70	0,73	-0,03	0,67	0,67	0,00	0,63	0,62	0,01	0,60	0,60	0,00	0,58	0,59	-0,01	0,58	0,58	0,00

INFALLSVINKEL = 180